

โครงการที่ 807/2562 (วศบ.อุตสาหการ)



การหาปัจจัยที่มีผลต่อความแข็งแรงของ
แผ่นมาส์กหน้าที่ทำจากไคลโตซานและไฟเบอร์อิน

นายณัฐชนน์ ภู่ว่องไว รหัสนักศึกษา 580612136
นายภวัต ติยะพัฒนกุล รหัสนักศึกษา 580612158

โครงการนี้เป็นส่วนหนึ่งของการศึกษาตามหลักสูตรปริญญาวิศวกรรมศาสตรบัณฑิต

ภาควิชาชีวกรรมอุตสาหการ
คณะวิศวกรรมศาสตร์ มหาวิทยาลัยเชียงใหม่
ปีการศึกษา 2562

หัวข้อโครงการ การหาปัจจัยที่มีผลต่อความแข็งแรงของแฝ่นมาส์กหน้า
ที่ทำจากไคโตซานและไฟโบรอิน

โดย นายณัฐชนนท์ ก้อนจันทร์ รหัสนักศึกษา 580612136
นายภวัต ติยะพัฒนกุล รหัสนักศึกษา 580612158

ภาควิชา วิศวกรรมอุตสาหการ คณะวิศวกรรมศาสตร์ มหาวิทยาลัยเชียงใหม่
อาจารย์ที่ปรึกษา ผศ.ดร.อนิรุทธิ์ ใจยากรุณีช
ปีการศึกษา 2562

ภาควิชาวิศวกรรมอุตสาหการ คณะวิศวกรรมศาสตร์ มหาวิทยาลัยเชียงใหม่ อนุมัติให้นับ
โครงการนี้ เป็นส่วนหนึ่งของการศึกษาตามหลักสูตรปริญญาวิศวกรรมศาสตรบัณฑิต

กรรมการโครงการ

..... ประธานกรรมการ
(ผศ.ดร.อนิรุทธิ์ ใจยากรุณีช)

..... กรรมการ
(รศ.ดร.รุ่งฉัตร ชมภูอินไหว)

..... กรรมการ
(รศ.ดร.ชนพูนุท เกษมเศรษฐี)

กิตติกรรมประกาศ

โครงการวิจัยเรื่องการหาปัจจัยที่มีผลต่อความแข็งแรงของแผ่นมาส์กหน้าที่ทำจากไคโตซาน และไฟเบอร์อินโดยใช้เทคนิคการออกแบบการทดลองในครั้งนี้สำเร็จลุล่วงไปด้วยดี ผู้เขียนขอขอบพระคุณ พศ.ดร. อันรุษ ไชยจารุวนิช ซึ่งเป็นอาจารย์ที่ปรึกษาโครงการวิจัยนี้ที่ท่านได้เสียสละให้คำปรึกษาแนะนำทางคำแนะนำการแก้ไขปัญหา และยังคงอยเดียวเข็ญผู้จัดทำมาโดยตลอดจนทำให้การดำเนินงานวิจัยจนสำเร็จสมบูรณ์

โครงการวิจัยนี้จะสำเร็จลุล่วงไปด้วยดีไม่ได้เลย หากไม่ได้รับการช่วยเหลือให้การสนับสนุนจาก ที่ให้ความกรุณาอบรมความรู้แก่ผู้วิจัยในครั้งนี้ ขอขอบคุณพี่ พันธุรัชวี ศรีประภา ที่ช่วยแนะนำการวิเคราะห์คุณสมบัติทางกายภาพของชิ้นงาน และขอขอบคุณพี่ ๆ ประจำห้อง SEM ที่ช่วยแนะนำการใช้กล้องจุลทรรศน์ (Scanning Electron Microscopy) ครู อัศวิน ปศุสุทธิรากร ที่ช่วยแนะนำการวิเคราะห์คุณสมบัติทางกลของชิ้นงาน และทุก ๆ คนที่คุยช่วยเหลือและให้ความรู้ข้อมูลต่าง ๆ ที่เป็นประโยชน์ต่อการวิจัยนี้จนประสบความสำเร็จโดยผู้วิจัยหวังว่างานวิจัยนี้จะเป็นประโยชน์ไม่มากก็น้อย

ผู้วิจัยยังคงขอขอบคุณคณาจารย์คณะวิศวกรรมศาสตร์ มหาวิทยาลัยเชียงใหม่ทุกท่านที่ได้ประสิทธิ์ประสานวิชาความรู้ให้แก่ข้าพเจ้า และพี่ ๆ เจ้าหน้าที่ธุรการภาควิชาวิศวกรรมอุตสาหการที่คุยอำนวยความสะดวก และกำลังใจที่คุยเป็นแรงผลักดันในการทำงานวิจัยจากพี่ ๆ ที่คุยช่วยเหลือ และให้ความรู้จากเพื่อน ๆ ที่คุยเป็นกำลังใจซึ้งกันและกัน และจะก้าวผ่านไปด้วยกัน ที่สำคัญที่สุดในชีวิตที่เป็นกำลังใจให้ผู้วิจัยเสมอมา คือ บิดา มารดา งานวิจัยนี้สำเร็จลุล่วงไปด้วยดี

สุดท้ายนี้การกระทำได้ซึ่งเกิดขึ้นระหว่างการทำวิจัยนี้มีข้อผิดพลาดประการใดซึ่งเกิดจากความรู้เท่าไม่ถึงการณ์ของผู้วิจัยก็ตีข้อบกพร่องในรูปเล่มงานวิจัยก็ตี ผู้วิจัยทราบข้อภัยเป็นอย่างสูง มาก ณ ที่นี้ด้วย และหวังว่างานวิจัยนี้จะเป็นประโยชน์ต่อผู้ที่สนใจมากก็น้อย ขอกราบขอบพระคุณ

ณัฐชนนท์ ก้อนจันทร์

ภวัต ติยะพัฒนกุล

หัวข้อโครงการ	การหาปัจจัยที่มีผลต่อความแข็งแรงของแผ่นมาส์กหน้า		
	ที่ทำจากไคโตไซน์และไฟโบรอิน		
โดย	นายณัฐชนนท์ ก้อนจันทร์	รหัสนักศึกษา	580612136
	นายภวัต ติยะพัฒนกุล	รหัสนักศึกษา	580612158
ภาควิชา	วิศวกรรมอุตสาหการ คณะวิศวกรรมศาสตร์ มหาวิทยาลัยเชียงใหม่		
อาจารย์ที่ปรึกษา	ผศ.ดร.อนิรุทธิ์ ไชยจารุวนิช		
ปีการศึกษา	2562		

บทคัดย่อ

โครงการวิจัยมีวัตถุประสงค์เพื่อหาปัจจัยที่มีผลต่อความแข็งแรงของแผ่นมาส์กหน้าที่ทำจากไฟโบรอิน และไคโตไซน์ด้วยการขึ้นรูปแบบเยือกแข็ง เพื่อเปรียบเทียบคุณสมบัติทางกล และสมบัติทางกายภาพของการผลิตแบบเดิม และแบบใหม่ โดยงานวิจัยนี้นำเอatechnicการออกแบบการทดลอง มาประยุกต์ใช้ในการหาปัจจัยที่มีผลต่อความแข็งแรงของแผ่นมาส์กหน้า

โดยปัจจัยที่ใช้ทำการศึกษา คือ ปริมาณไคโตไซน์ ปริมาณกลูตราลเดไฮด์ (Glutaraldehyde) และความเข้มข้นของกรดที่ใช้ละลายไคโตไซน์ โดยจากการดำเนินงานตามหลักการออกแบบการทดลองเชิงแฟคทอเรียล 2^k และทำซ้ำ 2 ครั้ง จากผลการทดลองพบว่าปริมาณไคโตไซน์มีผลต่อความแข็งแรงมากมากที่สุด ปริมาณกลูตราลเดไฮด์มีผลต่อความแข็งแรงรองลงมา และความเข้มข้นของกรดที่ใช้ละลายไคโตไซน์มีผลต่อความแข็งแรงน้อยที่สุด ซึ่งสภาวะที่ทำให้ได้ความแข็งมากที่สุด คือ ปริมาณไคโตไซน์ 70 เปอร์เซ็นต์ (-1) ความเข้มข้นของกรดที่ใช้ละลายไคโตไซน์ 1 เปอร์เซ็นต์ (+1) ปริมาณกลูตราลเดไฮด์ (Glutaraldehyde) 1 เปอร์เซ็นต์ (+1) ในด้านของผลการเปรียบเทียบการผลิตแบบเดิม และแบบใหม่พบว่า ความแข็งแรงกับลักษณะรูปรุนของแผ่นมาส์กหน้าไม่มีความแตกต่างกัน

Project Title	Determining Factors Affecting Strength of Facial Mask Made of Chitosan and Fibroin		
Name	Natchanon	Konchan	Code 580612136
	Pawat	Thiyapatanakul	Code 580612158
Department	Industrial Engineering, Faculty of Engineering, Chiang Mai University		
Project Advisor	Assistant Professor Anirut Chaijarawanich, Ph.D.		
Academic	2018		

ABSTRACT

A research project aims to find factors which affect the strength of the mask made from Fibroin and Chitosan by forming the freezing process in order to compare the mechanical and physical properties of the production of ordinary and new mask sheets. With technical design of the experiment, the project has been determined and brought out possible techniques in order to seek for the most effective factors that affect the strength of the mask sheet.

According to the research, there are factors used in the study, including chitosan ratio, an amount of Glutaraldehyde and the concentration level of acids used to dissolve chitosan. In addition, ongoing processes are based on twice repeated test of the 2^k factorial experimental principle and the conversion of results from these three initial factors. It is resulted that the amount of chitosan affect the strength of sheet masks the most, following by the amount of Glutaraldehyde and the concentration level of acids as the least. Conditions that affect the strength the most are as follows: 70 percent of chitosan (-1), 1 percent of acid concentration level (+1) and 1 percent of Glutaraldehyde (+1). In case of a comparison between the original and the new mask sheets, the result has been shown that the strength and porosity of the mask sheets makes no difference.

สารบัญ

หน้า

กิตติกรรมประกาศ	ค
บทคัดย่อภาษาไทย	ง
บทคัดย่อภาษาอังกฤษ	จ
สารบัญตาราง	ช
สารบัญภาพ	ช
บทที่ 1 บทนำ	
1.1 ความสำคัญและที่มา	1
1.2 วัตถุประสงค์	2
1.3 ขอบเขตการศึกษาของโครงการ	2
1.4 ประโยชน์ที่คาดว่าจะได้รับ	3
บทที่ 2 ทฤษฎีและหลักการที่เกี่ยวข้อง	
2.1 คุณสมบัติของโคโตชาน	4
2.2 คุณสมบัติของไฟโบรอิน	4
2.3 คุณสมบัติของกลูตราร์ลีไฮเดรต	5
2.4 หลักการและทฤษฎีการออกแบบการทดลอง (Design of Experiment)	5
2.5 กระบวนการขึ้นรูปแบบเยือกแข็ง (Freeze Dehydration)	21
2.6 งานวิจัยที่เกี่ยวข้อง	23
บทที่ 3 วิธีดำเนินงานวิจัย	
3.1 การทดลองเบื้องต้น	24
3.2 การทดลองแบบใหม่	26
3.3 ทำการทดลองจริง	31
3.4 วิเคราะห์คุณสมบัติทางกลและการภาพ	31

สารบัญ(ต่อ)

หน้า

3.5 การทดลองแบบเดิม	33
3.6 เปรียบเทียบคุณสมบัติทางกลและกายภาพระหว่างการผลิตแบบเดิมและแบบใหม่	33
3.7 สรุปผลการทดลองและการดำเนินงาน	33
บทที่ 4 ผลการวิจัย	
4.1 ใช้เทคนิคการออกแบบการทดลอง	34
4.2 การเปรียบเทียบคุณสมบัติทางกายภาพการผลิตแบบใหม่	46
4.3 การเปรียบเทียบคุณสมบัติทางกลการผลิตแบบใหม่	48
4.4 การเปรียบเทียบคุณสมบัติทางกล และ ทางกายภาพระหว่างการผลิตแบบใหม่กับแบบเดิม	49
บทที่ 5 สรุปและข้อเสนอแนะ	
5.1 ปัญหาและอุปสรรคในการทำวิจัย	53
5.2 สรุปและข้อเสนอแนะ	53
บรรณานุกรม	54
ภาคผนวก	
ภาค ก กราฟที่แสดงค่าการทดสอบแรงดึง (Maximum Strength)	55
ประวัติผู้เขียน	73

สารบัญตาราง

ตาราง	หน้า
3.1 ปัจจัยที่ใช้ในการทดลอง	26
4.1 ระดับของปัจจัยที่น่าจะมีผลต่อความแข็งแรงของแผ่นมาส์ก	37
4.2 ตารางแสดงข้อมูลการออกแบบการทดลองแบบแฟคทอเรียลเติมจำนวน 2 ³	38
4.3 ประมาณค่าผลกระทบและค่าสัมประสิทธิ์	39
4.4 ตารางการวิเคราะห์ความแปรปรวนของทุกพจน์	42
4.5 ระดับที่เหมาะสมของ การทดลอง	46
4.6 ตารางการเปรียบเทียบคุณสมบัติภายในภาพแบบใหม่	47
4.7 ตารางแสดงผลการทดสอบแรงดึงการผลิตแบบใหม่	48
4.8 ค่าเฉลี่ยการทดสอบคุณสมบัติทางกลการผลิตแบบเดิม	50
4.9 ค่าเฉลี่ยการทดสอบคุณสมบัติทางกลการผลิตแบบเดิม	50

สารบัญภาพ

ภาพ	หน้า
3.1 การละลายไอโคโตซานในสารละลายกรด 0.4 เปอร์เซ็นต์	25
3.2 การละลายไอโคโตซานในสารละลายกรด 0.5 เปอร์เซ็นต์	25
3.3 สารละลายไฟโบรอิน ไอโคโตซาน และกลูตราล็อกซิเอร์	25
3.4 วิธีการผลิตแบบใหม่	26
3.5 การตัดใหม่	27
3.6 กระบวนการ Degum	27
3.7 กระบวนการอบใหม่	27
3.8 กระบวนการ Extract	28
3.9 การต้มใหม่ในอ่างน้ำควบคุมอุณหภูมิ (Water Bath)	28
3.10 เทใหม่ใส่หลอดเซลลูโลส	29
3.11 การปั่นเหวี่ยง	29
3.12 การละลายไอโคโตซาน	29
3.13 การเทสารละลายลงกล่อง	30
3.14 เครื่องขึ้นรูปแบบเยือกแข็ง (Freeze Dryer)	30
3.15 การขึ้นรูปชิ้นงานด้วยวิธีการผลิตแบบใหม่	31
3.16 เครื่องทดสอบแรงดึง	32
3.17 ชิ้นงานขนาด 5 มิลลิเมตร x 5 มิลลิเมตร	32
3.18 กล้องจุลทรรศน์ (Scanning Electron Microscope)	32
3.19 วิธีการผลิตแบบเดิม	33
4.1 การขึ้นรูปที่มีปริมาณไอโคโตซาน 70 เปอร์เซ็นต์	35
4.2 การขึ้นรูปที่มีปริมาณไอโคโตซาน 90 เปอร์เซ็นต์	35
4.3 การเปรียบเทียบระหว่าง 70:1:0.5 แบบใหม่ กับ 70:1:1.5 แบบใหม่ กำลังขยาย 100x	36

สารบัญภาพ(ต่อ)

ภาพ	หน้า
4.4 ชิ้นงานที่ได้จากการขีนรูป	37
4.5 ลักษณะภายนอกของชิ้นงาน 70:1:1 และ ลักษณะภายนอกของชิ้นงาน 80:0.5:0.5	37
4.6 การนำไปทดสอบแรงดึง	38
4.7 แผนภูมิ Normal Plot	41
4.8 แผนภูมิพาร์โลที่แสดงปัจจัยที่มีนัยสำคัญ	41
4.9 ภาพแสดงการวิเคราะห์ส่วนค้างของผลตอบการทดลอง	44
4.10 Main Effect Plot	45
4.11 Interaction Plot	45
4.12 การเปรียบเทียบระหว่าง 70:1:1 กำลังขยาย 100x กับ 80:1:1 กำลังขยาย 100x	47
4.13 การเปรียบเทียบระหว่าง 70:1:1 กำลังขยาย 100x กับ 70:0.5:1 กำลังขยาย 100x	47
4.14 การเปรียบเทียบระหว่าง 70:1:1 กำลังขยาย 100x กับ 70:1:0.5 กำลังขยาย 100x	48
4.15 การเปรียบเทียบระหว่าง 70:1:1 กำลังขยาย 100x แบบใหม่ กับ 70:1:1 กำลังขยาย 100x แบบเดิม	50
4.16 การทดสอบสมมติฐานทางสถิติ	50

บทที่ 1

บทนำ

1.1 ความสำคัญและที่มา

ในปัจจุบันผู้คนหันมาสนใจดูแลตัวเองมากขึ้นในเรื่องของความสวยงามและแผ่นมาส์กหน้าเป็นหนึ่งในตัวเลือกที่ผู้หญิงส่วนมากเลือกใช้และมีแนวโน้มว่าในอนาคตแผ่นมาส์กหน้าจะเข้ามามีบทบาทมากขึ้น เนื่องจากกระแสความนิยมในการใช้เวชสำอางที่มาจากการแพทย์เช่นเดียวกับพิวพรรณในปัจจุบันมีจำนวนเพิ่มมากขึ้นเรื่อยๆ เพื่อช่วยในการดูแลผิวพรรณให้ดียิ่งขึ้นซึ่งในปัจจุบันมีเทคโนโลยีที่สามารถสกัดสารจากวัตถุธรรมชาติเพื่อนำมาใช้ประโยชน์เป็นผลทำให้อุตสาหกรรมการผลิตเวชสำอางมีการเจริญเติบโตอย่างรวดเร็วในยุคปัจจุบัน ซึ่งผลิตภัณฑ์มาส์กหน้าก็เป็นอีกหนึ่งทางเลือกของผู้ที่ต้องการจะดูแลผิวหน้าเนื่องจากพกพาได้ง่าย มีวิธีการใช้งานที่ง่าย และสามารถหาซื้อได้ง่ายตามร้านสะดวกซื้อซึ่งเป็นที่นิยมมากสำหรับผู้บริโภคที่ต้องการความสะดวกสบาย ซึ่งสารอาหารในแผ่นมาส์กหน้าจะซึมเข้าสู่ผิวหน้าโดยตรงเป็นการทำทรีทเม้นท์แบบพิเศษที่จะช่วยคืนความชุ่มชื้นให้ใบหน้าและลดปัญหาผิวพรรณแห้งหด่อนคล้อยหรือลดเลือนริ้วรอย นอกจากนี้แผ่นมาส์กหน้าจะเป็นการเติมสารบำรุงต่างๆ ที่จะช่วยปรับสภาพผิวให้แลดูกระฉับกระชาก นุ่มนวล

ผลิตภัณฑ์แผ่นมาส์กหน้าจากสารสกัดธรรมชาติเป็นอีกหนึ่งทางเลือกหนึ่งในการทำแผ่นมาส์กหน้าซึ่งไฟเบอร์อินและไคโตไซน์ เป็นหนึ่งในสารที่สามารถสกัดมาขึ้นรูปแผ่นมาส์กได้แต่ก็มีข้อเสียในเรื่องระยะเวลาในการผลิต ตั้งนั้นเพื่อลดข้อเสียในเรื่องระยะเวลาการผลิตแผ่นมาส์กหน้า ผู้วิจัยจึงคิดที่จะประยุกต์ลดขั้นตอนการขึ้นรูปแบบเบื้องต้นออกซึ่งใช้ในการสกัดไฟเบอร์อินซึ่งสามารถลดระยะเวลาในการผลิตได้ 2 วัน เพื่อนำไปเปรียบเทียบกับแผ่นมาส์กที่ผ่านกระบวนการขึ้นรูปแบบเบื้องต้นโดยการทดสอบความแข็งแรงของมาส์กและทดสอบความพรุนของแผ่นมาส์กจากสารสกัด

ธรรมชาติ

ผู้ที่ทำวิจัยนี้ได้ค้นพบปัญหา จากปัจจัยที่มีผลต่อความแข็งแรงของแผ่นมาสก์ จึงมีแนวคิดที่จะนำ วิธีการออกแบบการทดลอง (Design of Experiment) มาช่วยวิเคราะห์ปัจจัยต่างๆ ที่มีผลต่อความแข็งแรงของแผ่นมาสก์ โดยปัจจัยที่นำมาวิเคราะห์จะเป็นปัจจัยที่ส่งผลกระทบต่อกระบวนการ เป็นอย่างมากและเป็นปัจจัยที่สามารถควบคุมได้ เช่น ปริมาณไคโตซาน ปริมาณกลูตารัลดีไฮด์ (Glutaraldehyde) และความเข้มข้นของกรดที่ใช้ละลายไคโตซาน

1.2 วัตถุประสงค์

1.2.1 เพื่อหาปัจจัยที่มีผลต่อความแข็งแรงของแผ่นมาสก์หน้า

1.2.2 เพื่อเปรียบเทียบคุณสมบัติทางกลและสมบัติทางกายภาพของการผลิตแผ่นมาสก์
แบบเดิมและแบบใหม่

1.3 ขอบเขตการศึกษาของโครงการ

1.3.1 ไฟโบรอินสังเคราะห์จากรังไข่ และไคโตซานสกัดจากแกนปลาหมึกแผ่นมาสก์ขึ้นรูป
ด้วยกระบวนการขึ้นรูปแบบเยือกแข็ง

1.3.2 ตัวแปรในการออกแบบการทดลอง มี 3 ตัวแปร

1. ปริมาณไคโตซาน และไฟโบรอิน
2. ปริมาณกลูตารัลดีไฮด์ (Glutaraldehyde)
3. ความเข้มข้นของกรดที่ใช้ในละลายไคโตซาน

1.3.3 การทดสอบความแข็งแรง โดยใช้เครื่อง Universal Testing Machine และ การ
ทดสอบขนาดของรูพรุนโดยกล้องจุลทรรศน์ (Scanning Electron Microscopy)

1.3.4 การทดลองแบบเดิมมีการนำสารละลายไฟโบรอินมาขึ้นรูปในกระบวนการขึ้นรูปแบบ
เยือกแข็งให้อยู่ในรูปของของแข็งมาใช้ในการทดลอง

1.3.5 การทดลองแบบใหม่ไม่มีการนำสารละลายไฟโบรอินไปขึ้นรูปแบบเยือกแข็งซึ่งจะนำ
สารละลายไฟโบรอินที่อยู่ในรูปของเหลวมาใช้ในการทดลอง

1.4 ประโยชน์ที่คาดว่าจะได้รับ

1.4.1 ลดเวลาในการบวนการขึ้นรูปแบบเบื้องต้น

1.4.2 ได้แนวทางในการพัฒนาคุณภาพการผลิตแผ่นมาส์กหน้าให้มีประสิทธิภาพมากขึ้น

บทที่ 2

หลักการและทฤษฎีที่เกี่ยวข้อง

จากการหาปัจจัยที่มีผลต่อความแข็งของแผ่นมาส์กหน้าที่ทำจากไคโตซานและไฟโบรอิน โดยใช้เทคนิคการออกแบบการทดลอง ผู้วิจัยได้ศึกษาแนวคิดและทฤษฎีที่เกี่ยวข้องกับการวิจัยโดยจำแนกเป็น 5 หัวข้อ ดังนี้ คุณสมบัติของไคโตซาน คุณสมบัติของไฟโบรอิน คุณสมบัติของกลูตราลีไฮด์ หลักการและทฤษฎีการออกแบบการทดลอง และหลักการและทฤษฎีการขึ้นรูปแบบเยื่อแก้แข็ง

2.1 คุณสมบัติของไคโตซาน

ไคโตซานเป็นอนุพันธ์ของไคตินสารสกัดที่ได้จากการธรรมชาติซึ่งสามารถสกัดได้จากเปลือกหุ้งกระดองปู แגןปลาหมึก ไคโตซาน มีคุณสมบัติอ่อนตัวสามารถขึ้นรูปเป็นเจลเม็ด เส้นใย หรือคลอลอยด์ (สารผสมเพื่อร่วมตัวให้เป็นเนื้อดียวกันสำหรับขึ้นรูป) รวมถึงการใช้ประโยชน์ในการเคลือบสิ่งต่างๆได้ และยังเป็นสารที่มีสรรพคุณสามารถไปอยู่ในอุตสาหกรรมหลายอย่างทั้งการแพทย์ การเกษตร อุตสาหกรรมอาหารเครื่องสำอาง โดยรวมก็คือสารนี้มีสรรพคุณที่ครอบจักรวาล หากนำไปใช้อย่างถูกวิธีไฟโบรอินเป็นโปรตีนเส้นใยที่มีโครงสร้างประกอบด้วย 3 โปรตีนหน่วยย่อย (พลสันนกน่าวม, 2560) ได้แก่

1. สายโซ่โปรตีนน้ำหนักโมเลกุลสูง (Heavy chain)
2. สายโซ่โปรตีนน้ำหนักโมเลกุลต่ำ (Light chain)
3. ไกลโคโปรตีน P25 (Glycoprotein P25)

2.2 คุณสมบัติของไฟโบรอิน

โครงสร้างทุติยภูมิของไฟโบรอินประกอบด้วย 2 ส่วนหลัก คือ ส่วนที่มีการจัดเรียงตัวเป็น

ผลึก และส่วนที่มีการจัดเรียงตัวแบบอสัมธาน (Amorphous) นอกจากนี้ส่วนที่มีโครงสร้างการจัดเรียงตัวเป็นผลึกยังสามารถแบ่งย่อยออกเป็น 3 แบบ ได้แก่ โครงสร้างใหม่ | โครงสร้างใหม่ || และ โครงสร้างใหม่ ||| โดยโครงสร้างใหม่ | มีโครงสร้างก่อนเปลี่ยนแปลงไปเป็นผลึกเส้นใย (Pre-Spun Pseudo Crystalline) หรือที่เรียกว่าโครงสร้างแบบนิว่า (Random Coil) หรือโครงสร้างแบบเกลียว α -helix สามารถละลายในน้ำได้ (Water Soluble) เป็นโครงสร้างที่ไม่เสียรสมารถเปลี่ยนโครงสร้างเป็นโครงสร้างใหม่ || ได้ เมื่อได้รับความร้อน (Heating) การปั่นกวน (Spinning) หรือการให้แรงทางไฟฟ้า (Electric Field) การเติมด้วยสารละลายที่มีขั้นตอน 慢 นาน/mol หรือ อะซิโตน โครงสร้างใหม่ || มีรูปแบบโครงสร้างเป็นเส้นใยไหมสั้นและถือเป็นโครงสร้างหลักของไฟบอร์อิน ซึ่งประกอบด้วยโครงสร้างการจัดเรียงตัวแบบพลีทเบต้า (β -Pleatedsheet) สายโซ่โปรตีนเชื่อมกันแบบไม่ขนาน (Anti-Parallel) ด้วยพันธะไฮโดรเจนระหว่างหมุนคาร์บอนกับหมุนไนโตรเจนระหว่างแผ่นพลีทเบต้า แต่ละแผ่นซ้อนทับกันด้วยแรงแนวเดียวส่วนส่วนใหญ่ให้ไฟบอร์อินมีคุณสมบัติเชิงกลที่มีความแข็งแรงสูงทำให้ไฟบอร์อินไม่สามารถละลายได้โดยตรง (จุฬาภรณ์, 2546)

2.3 คุณสมบัติของกลูตารัลดีไฮด์

สารละลายกลูตารัลดีไฮด์ (Glutaraldehyde) เป็นสารที่ก่อให้เกิดการเชื่อมโยงที่เติมลงในพอลิเมอร์ผสม เพื่อทำให้เกิดโครงสร้างแบบร่างแทรกษายในแผ่นฟิล์ม โดยศึกษาผลของการอัตราส่วนในการผสมของโคโนเซ่านและไฟบอร์อินที่มีต่อสมบัติทางกล สมบัติการบวนตัวในสารละลาย (รัตนารุจิรัตน์, 2546)

2.4 หลักการและทฤษฎีการออกแบบการทดลอง (Design of Experiment)

การออกแบบและวางแผนการทดลอง (Design of Experiment) กลยุทธ์ในการออกแบบการวางแผน และทำการทดลองอย่างมีระบบแบบแผน และมีประสิทธิภาพเพื่อศึกษาผลของปัจจัยโดยมีจุดประสงค์เพื่อให้ได้ผลการทดลองที่มีความเที่ยงตรง แม่นยำ สามารถนำผลการทดลองมาวิเคราะห์ และใช้ประโยชน์ได้อย่างมีประสิทธิภาพนอกจากนี้ยังสามารถประมาณค่าผลกระทบของปัจจัยที่สำคัญจากการทดลองโดยใช้ทรัพยากรในการทดลองที่มีจำกัดได้อย่างคุ้มค่า (สรรติชัย ชีวสุทธิศิลป์, 2546)

ปัจจัย (Factor) เป็นปัจจัยอิสระ (Independence) ที่ผู้วิเคราะห์สงสัยว่าจะส่งผลต่อผลลัพธ์ ซึ่งแบ่งเป็น 2 ประเภทคือ ปัจจัยที่ควบคุมไม่ได้ (Uncontrollable Factor หรือ Noise Factor) แทนด้วย z_1, z_2, \dots, z_n และ ปัจจัยที่ควบคุมได้ (Controllable Factor) แทนด้วย x_1, x_2, \dots, x_n โดย DOE จะมุ่งเน้นที่การศึกษาเพื่อบรรลุผลลัพธ์จากปัจจัยที่ควบคุมไม่ได้ต่อผลลัพธ์ที่สนใจ ในขณะที่ต้องการกระจายผลของปัจจัยที่ควบคุมไม่ได้ไม่ให้ส่งผลต่อผลลัพธ์อย่างมีนัยสำคัญปัจจัยที่ควบคุมได้

จะเรียกว่า ทรีตเม้นท์ (Treatment) จำนวนครั้งในการทำการทดลองช้า (Replication) เป็นการทำ การทดลองช้าด้วยเงื่อนไขที่เหมือนกัน โดยในการทดลองหนึ่ง ๆ จะมีจำนวนเงื่อนไขการทดลอง (Treatment Combination) เท่ากับผลคูณของจำนวนปัจจัยและจำนวนระดับของแต่ละปัจจัย เช่น การทดลองที่มี 2 ปัจจัยๆละ 2 ระดับจะมีทั้งหมด 4 เงื่อนไขการทดลอง

ผลลัพธ์ที่สนใจ (Response) เป็นคุณลักษณะทางคุณภาพที่สนใจ ซึ่งเป็นปัจจัยไม่อิสระ (Dependence) ต้องการศึกษาควบคุมซึ่งอาจเปลี่ยนแปลงอย่างมีนัยสำคัญตามการเปลี่ยนแปลงของ ทรีตเม้นท์ต่าง ๆ

การสุ่ม (Randomization) เป็นส่วนหนึ่งของ DOE ที่พยายามให้ผลของปัจจัยที่ควบคุมไม่ได้ (Uncontrollable Factors) กระจายอย่างสม่ำเสมอ กับค่าของผลตอบ (Response) ที่ได้จากการ ทดลอง

2.4.1 วัตถุประสงค์ของการออกแบบการทดลองสามารถสรุปได้ดังนี้

- บ่งชี้ปัจจัย X's ที่มีอิทธิพลต่อผลตอบ (Response)
 - กำหนดระดับที่เหมาะสมของปัจจัย X's ที่มีอิทธิพลต่อผลตอบ (Response Y)
- เพื่อให้มีค่าเท่ากับหรือเข้าใกล้เคียงกับเป้าหมายมากที่สุด
- กำหนดระดับที่เหมาะสมของปัจจัย X's ที่มีอิทธิพลต่อผลตอบ (Response Y)
- เพื่อให้มีความผันแปรของค่า Y ต่ำ
- กำหนดระดับที่เหมาะสมของปัจจัย X's อิทธิพลต่อผลตอบ (Response Y) เพื่อให้อิทธิพลของปัจจัยที่ไม่ได้ (Uncontrollable Factor) มีน้อยที่สุด

การออกแบบการทดลองเป็นเครื่องมือที่สำคัญอย่างหนึ่งของการควบคุม กระบวนการเชิงสถิติ เช่น หากผลของการติดตามกระบวนการด้วยแผนภูมิควบคุมบ่งชี้ว่ากระบวนการ ที่ควบคุมไม่ได้ (Out-of-Control) ซึ่งอาจมีปัจจัยจำนวนมากที่เป็นไปได้ที่จะเป็นสาเหตุของความ ผิดปกติ การที่จะปรับปรุง แก้ไขเพื่อนำกระบวนการกลับสู่ภาวะภายในได้การควบคุมจะเป็นไปได้ยาก หากไม่ทราบว่าปัจจัยตัวใดที่ส่งผลกระทบต่อผลตอบ (Response) อย่างมีนัยสำคัญการออกแบบการทดลอง จึงเป็นเครื่องมือนิยมใช้เพื่อปัจจัยเหล่านี้

นอกจากนี้การออกแบบการทดลองยังสามารถใช้เป็นเครื่องมือในการปรับปรุง ผลิตภัณฑ์ที่มีอยู่แล้วให้ดียิ่งขึ้น ดังนี้

- 1) ประเมินและเปรียบเทียบลักษณะพื้นฐานของผลิตภัณฑ์ที่ออกแบบไว้แล้ว
- 2) บ่งชี้พารามิเตอร์ที่ส่งผลกระทบต่อสมรรถนะของผลิตภัณฑ์อย่างมีนัยสำคัญซึ่งกล่าวได้ว่า การประยุกต์ใช้ DOE อย่างมีประสิทธิภาพจะส่งผลต่อการปรับปรุงด้านความสามารถในการผลิต (Manufacturability) สมรรถนะ (Performance) และความน่าเชื่อถือ (Reliability) ต้นทุน (Cost) และ ระยะเวลาในการพัฒนา (Development Time) ของผลิตภัณฑ์ดีขึ้น

2.4.2 การออกแบบการทดลองเชิงแฟคทอรีลแบบเต็มจำนวน 2^k

ความสำคัญและประโยชน์ของการออกแบบการทดลองเชิงแฟคทอรีลแบบเต็มจำนวน 2^k จะเน้นในกรณีศึกษาของปัจจัย k ปัจจัย โดยแต่ละปัจจัยมีการปรับเปลี่ยนระดับจำนวนเท่ากันคือ 2 ระดับ ดังนั้นจำนวนเงื่อนไขการทดลองแบบแฟคทอรีลเต็มจำนวนคือ $2_1 \times 2_2 \times 2_3 \times \dots \times 2_k = 2^k$ การทดลองเรียกว่าการทดลองแบบแฟคทอรีลเต็มจำนวน 2 เป็นกรณีการออกแบบการทดลองที่สำคัญ และนิยมใช้กันอย่างกว้างขวางที่สุด สำหรับการประยุกต์ใช้แก้ปัญหาในโรงงานอุตสาหกรรมและในงานศึกษาวิจัย จุดประสงค์ของการออกแบบการทดลองคือเพื่อคัดกรองปัจจัย (Factor Screening Experiment) โดยเลือกเฉพาะปัจจัยที่มีผลต่อกระบวนการอย่างมีนัยสำคัญเท่านั้นและใช้สำหรับสร้างแบบจำลองพฤติกรรมของกระบวนการ

การออกแบบการทดลองแบบแฟคทอรีล (Factorial Design) สามารถศึกษาการเปลี่ยนแปลงระดับของปัจจัยทุกปัจจัยพร้อมกันทำให้สามารถประมาณค่าผลผลกระทบหลัก (Main Effect) และผลกระทบร่วมระหว่าง 2 ถึง k ปัจจัย (Interaction Effect) ครบถ้วนเทอมได้อย่างเป็นอิสระต่อกันจากนั้นคัดกรองเฉพาะเทอมที่มีนัยสำคัญเพื่อใช้สำหรับสร้างแบบจำลองทางคณิตศาสตร์จากผลการทดลอง (Empirical Model) เพื่อใช้สำหรับการทำนายผลการทดลองและกำหนดสภาวะที่เหมาะสมในการปฏิบัติงาน (Optimum Condition) โดยแบบจำลองมีความสัมพันธ์เชิงเส้นสมเหตุผลผลกระทบ (Linear Model With Interaction Terms) เนื่องจากจำนวนระดับของปัจจัยในการทดลองมีเพียงสองระดับจึงสามารถประมาณความสัมพันธ์เชิงเส้นซึ่งประกอบไปด้วยผลกระทบหลัก และผลกระทบร่วม แม้แบบจำลองที่ประกอบด้วยผลกระทบร่วมจะมีความสัมพันธ์ใกล้เคียงกับแบบเส้นโค้งโดยเฉพาะถ้าประกอบด้วยผลกระทบอันดับสูงพื้นผิวตอบจะมีความเป็นเส้นโค้งมากขึ้นแต่โดยปกติในทางปฏิบัติผลกระทบร่วมระหว่างสามปัจจัยขึ้นมักไม่มีผลต่อกระบวนการที่ศึกษาน้อยมาก

2.4.3 การออกแบบการทดลองเชิงแฟคทอรีลแบบเต็มจำนวนกรณีทดลองช้ำ

มีความสำคัญและข้อตอนการวิเคราะห์แบบแฟคทอรีลกรณีทำการทดลองช้ำ และการออกแบบการทดลองเชิงแฟคทอรีลแบบเต็มจำนวนกรณีทดลองช้ำคือทำการทดลองเงื่อนไขเดียวกันมากกว่า 1 ครั้งปกติการทดลองช้ำสำหรับแต่ละเงื่อนไขการทดลองจะมีจำนวนเท่ากัน การทำการทดลองช้ำช่วยให้ผลการทดลองมีความน่าเชื่อถือมากขึ้นโดยเฉพาะในงานวิจัย หรือการศึกษาที่ต้องการระดับความน่าเชื่อถือหรือความถูกต้องสูง การวิเคราะห์ผล เช่นการคำนวณค่าผลกระทบใช้เฉลี่ยในการคำนวณนอกจากนี้การทดลองช้ำทำให้สามารถประมาณค่าความแปรปรวนที่เกิดจากความผิดพลาดในการทดลองได้ (MS_E หรือ S^2_E) หรือเรียกว่า "Replication Errors" หรือ "Pure Error" การทำการทดลองภายใต้เงื่อนไขเดียวกันผู้ทดลองอาจคาดหวังว่าผลตอบจากทำการทดลองจะมีค่าเท่ากัน แต่ในการทดลองจริงเป็นไปได้ยากเมื่อจะทำการทดลองอย่างระมัดระวังและมีการวางแผนอย่างดี แต่ก็ยังเกิดความผิดพลาดในการทดลอง เพราะมีปัจจัยรบกวนอื่นอยู่ เช่นการควบคุมเช่นเครื่องมือ ผู้ทดลอง วัตถุดิบ สภาวะแวดล้อมต่างๆ โดยค่าความแปรปรวนดังกล่าวใช้สำหรับตรวจสอบ

ว่ามีผลกระทบใดบ้างมีผลต่อกระบวนการอย่างมีนัยสำคัญและใช้สำหรับวิธีการวิเคราะห์ความแปรปรวน โดยขั้นตอนการวิเคราะห์เพื่อปรับปรุงกระบวนการโดยใช้การออกแบบทดลองเชิงแฟคทอรีเซลล์ 2 ระดับ 2^k ประกอบด้วยขั้นตอนดังต่อไปนี้

1) คำนวณค่าผลกระทบได้แก่ ผลกระทบหลักและผลกระทบร่วมจากการ 2.1

$$\text{Effect} = \frac{1}{2^{k-1}xn} (\text{Contrast of Effect}) \quad (2.1)$$

และ ผลรวมกำลังสอง (Sum of Square) ของผลกระทบของปัจจัย AB คำนวณ K จากสมการ 2.2

$$SS_{\text{effect}} = \frac{1}{2^k xn} (\text{Contrast of Effect})^2 \quad (2.2)$$

โดย k = จำนวนปัจจัยที่เลือกในการศึกษา

n = จำนวนทดลองช้ำ

2) เขียนแบบจำลอง (Initial Model) เพื่อแสดงความสัมพันธ์ระหว่างผลกระทบหลักและผลกระทบร่วมว่ามีผลตอบต่อกระบวนการอย่างไรบ้างโดยเบื้องต้นเขียนในรูปแบบจำลองแบบเต็มจำนวน (Full Model) ซึ่งประกอบด้วยค่าคงที่ผลกระทบหลัก และผลกระทบร่วม (ปกติอาจไม่จำเป็นเพียงแต่ระบุว่าแบบจำลองแบบเต็มจำนวนมีเทอมใดบ้าง)

3) คัดกรองเฉพาะผลกระทบที่มีผลต่อกระบวนการอย่างมีนัยสำคัญ

- กรณีมีการทดลองช้ำโดยใช้การทดสอบทางสถิติได้จากการทดสอบแบบ T-test หรือตารางวิเคราะห์ความแปรปรวน

- กรณีไม่มีการทดลองช้ำใช้กราฟปกติของผลกระทบ หรือประมาณค่าความแปรปรวนจากผลกระทบร่วมอันดับสูงหรือใช้การทดลองช้ำแบบเทียม หรือการทดลองช้ำเฉพาะที่จุดกึ่งกลาง

4) เขียนแบบจำลอง (Refine Model) การสร้างแบบจำลองทางคณิตศาสตร์เพื่อแสดงความสัมพันธ์ระหว่างปัจจัยที่มีนัยสำคัญกับผลตอบ โดยแบบจำลองจะรวมเฉพาะเทอมที่จำเป็นได้แก่เทอมที่มีผลต่อกระบวนการอย่างมีนัยสำคัญ และตัดเทอมที่ไม่จำเป็นออกเพื่อให้แบบจำลองมีความเหมาะสมและไม่ซับซ้อนเกินไปเพื่อใช้ทำนายผลการทดลองโดยแบบจำลองความสัมพันธ์ต้องมีการตรวจสอบความเหมาะสม (Appropriateness) และความพอเพียงของแบบจำลอง (Model Adequacy Checking)

5) ตรวจสอบความเหมาะสมของแบบจำลอง (Appropriateness) โดยพิจารณาจากค่าสัมประสิทธิ์ของการตัดสินใจ หรือ R-squared (Coefficient of Correlation) หรือ R-squared (adj) หรือค่า LOF (Lack of Fit)

6) ตรวจสอบความพอเพียง (Model Adequacy Checking) ของแบบจำลองโดยวิธีวิเคราะห์ส่วนค้าง (Residual Analysis) เพื่อตรวจสอบข้อกำหนดเบื้องต้นของคุณสมบัติของความแปรปรวนของแบบจำลอง

7) แปลผลและหาเงื่อนไขที่เหมาะสมที่สุดและแสดงผลการวิเคราะห์โดยใช้กราฟตามความจำเป็น เช่น กราฟผลกราบทหลัก กราฟผลกราบร่วม กราฟพื้นผิวตอบ

8) ทำการทดลองยืนยันผลสำหรับเงื่อนไขที่เหมาะสมโดยเปรียบเทียบค่าเฉลี่ยจาก การทดลองยืนยันผลกับช่วงความเชื่อมั่นของค่าทำนาย

โดยปกติการทำการทดลองแบบแฟคทอร์เต็มจำนวนมักมีข้อกำหนดเบื้องต้นในการทดลองดังนี้

1) ปัจจัยในการทดลองเป็นแบบกำหนดระดับ (Fixed Factors) หมายถึงค่าของ ระดับปัจจัยกำหนดโดยผู้ออกแบบการทดลองมีไว้เลือกระดับการทดลองแบบสุ่ม

2) ใช้การออกแบบการทดลองแบบสุ่มโดยอาจใช้การทดลองแบบสุ่มอย่างสมบูรณ์ (CRD) คือลำดับในการทดลองทั้งหมดจะใช้ลำดับสุ่มในคราวเดียวกัน (ลำดับสุ่ม 1 ถึง N) หรือ กรณีมีความจำเป็นอาจเลือกใช้การทดลองสุ่มแบบบล็อกสุ่มอย่างสมบูรณ์ (CRBD) คือสุ่มเฉพาะภายในบล็อกเท่านั้น

3) ข้อกำหนดเบื้องต้นเกี่ยวกับค่าความแปรปรวนของแบบจำลอง มีการแจกแจงแบบปกติและเป็นอิสระต่อกันโดยมีค่าเฉลี่ยเท่ากับศูนย์ และมีความแปรปรวนคงที่ หรือ $\epsilon \rightarrow NID(0, \sigma^2)$

2.4.4 การตรวจสอบนัยสำคัญของผลกระทบ

เมื่อจำนวนปัจจัยในการทดลองมีจำนวนมากขึ้น จำนวนเทอมที่รวมในแบบจำลองจะมีจำนวนเพิ่มขึ้นอย่างรวดเร็วคือ 2^k เทอมดังนั้นเพื่อให้แบบจำลองไม่ซับซ้อนและ กะทัดรัดควรรวมเฉพาะเทอมที่จำเป็นคือเฉพาะที่มีนัยสำคัญเท่านั้นโดยเทอมที่มีผลกระทบต่อกระบวนการอย่างมีนัยสำคัญมักเป็นเทอมของผลกระทบหลักจำนวน k เทอมหรือผลกระทบร่วมอันดับต่ำได้แก่ผลกระทบร่วมระหว่าง 2 ปัจจัย $\frac{kx(k-1)}{2}$ เทอม ส่วนเทอมอื่นๆ ที่เหลืออีกจำนวนมากได้แก่ผลกระทบร่วมระหว่าง 3 ปัจจัยขึ้นไปจากประสบการณ์พบว่าส่วนใหญ่ผลกระทบร่วมอันดับสูงมักมีผลต่อกระบวนการน้อย และการอธิบายปรากฏการณ์เกี่ยวกับผลกระทบร่วมอันดับสูงมักซับซ้อนเกินไปดังนั้นในการสร้างแบบจำลองจะเลือกเฉพาะเทอมที่มีความจำเป็นและมีนัยสำคัญเท่านั้น หรือวิธีวิเคราะห์ความแปรปรวนส่วนผลกระทบเทอมที่ไม่มีนัยสำคัญเท่านั้นการพิจารณาว่าผลกระทบใดมีผลต่อการทดลองอย่างมีนัยสำคัญจะใช้วิธีการทดสอบทางสถิติแบบ T-test

คัดกรองผลกระทบว่ามีนัยสำคัญโดยใช้การทดสอบแบบ t-test เพื่อตัดสินว่า ผลกระทบเทอมใดบ้างมีผลต่อการทดลองอย่างมีนัยสำคัญโดยสมมติฐานหลักในการทดสอบจากสมการ 2.3

$$H_0: \mu_{effect} = 0 \quad (2.3)$$

(สมมติฐานหลักคือค่าผลกระทบเฉลี่ยมีค่าเท่ากับศูนย์ถ้ายอมรับสมมติฐานหลักแสดงว่า ผลกระทบเทอมดังกล่าวไม่มีผลต่อการทดลองอย่างมีนัยสำคัญ) และสมมติฐานรองในการทดสอบจากสมการ 2.4

$$H_1: \mu_{effect} \neq 0 \quad (2.4)$$

(สมมติฐานรองคือค่าผลกระทบเฉลี่ยมีค่าเท่ากับศูนย์ ดังนั้นถ้าปฏิเสธรับสมมติฐานหลักแสดงว่าผลกระทบเทอมดังกล่าวมีผลกระทบต่อการทดลองอย่างมีนัยสำคัญ) ค่าทดสอบทางสถิติจากสมการ 2.5

$$t_0 = \frac{E_i - \mu_{effect}}{S_{effect}} \quad (2.5)$$

องศาอิสระเท่ากับ $m(n-1)$

หรือถ้าแทนค่า $\mu_{effect} = 0$ ในค่าทดสอบสถิติจะได้ดังสมการ 2.6

$$t_0 = \frac{E_i}{S_{effect}} \quad (2.6)$$

องศาอิสระเท่ากับ $m(n-1)$

จากสมการข้างต้นค่าทดสอบทางสถิติแสดงค่าเปรียบเทียบระหว่างขนาดของผลกระทบกับส่วนเบี่ยงเบนมาตรฐานจากความผิดพลาดในการทดลองของผลกระทบ โดยถ้าสัดส่วนดังกล่าว มีขนาดใหญ่สามารถสรุปได้ว่าผลกระทบนั้นมีผลต่อกระบวนการอย่างมีนัยสำคัญข้อแนะนำโดยทั่วไปถ้าค่าดังกล่าว มีขนาดตั้งแต่สามเท่าขึ้นไป โดยประมาณสามารถสรุปได้ว่าผลกระทบเทอมดังกล่าว มีนัยสำคัญแต่ถ้ามีคำน้อยคือน้อยกว่าหนึ่งสามารถสรุปได้ว่าผลกระทบเทอมดังกล่าวมีนัยสำคัญแต่ถ้าค่าอยู่ระหว่างหนึ่งถึงสามควรเปรียบเทียบค่าวิกฤตเปิดจากตาราง โดยกำหนด

E_i คือ ค่าผลกระทบจากการทดลองแบบแฟคทอร์เรียลมีจำนวนเท่ากับ 2^{k-1} เทอม

S_{effect} คือ ค่าส่วนเบี่ยงเบนมาตรฐานของผลกระทบโดยกำหนดค่าส่วนเบี่ยงเบนมาตรฐานของผลกระทบทุกเทอมมีค่าเท่ากัน

M คือ จำนวนเงื่อนไขการทดลองกรณีการทดลองแบบแฟคทอร์เรียลเต็มจำนวน 2^k การทดลอง

k คือ จำนวนทดลองซ้ำสำหรับแต่ละเงื่อนไขการทดลอง (ปกติกำหนดจำนวนทดลองซ้ำเท่ากัน)

ปฏิเสธสมมติฐานหลัก (ที่ว่าค่าเฉลี่ยของผลกระทบมีค่าเท่ากับศูนย์ $H_0: \mu_{effect} = 0$) ที่ระดับนัยสำคัญ (α)

- พิจารณาจากขนาดของค่าทดสอบทางสถิติ $|t_0|$ โดยปฏิเสธสมมติฐานหลักเมื่อค่าทดสอบทางสถิติ $|t_0|$ มีค่ามากกว่าค่าวิกฤตที่เปิดจากตารางดังนี้ $|t_0| > t_{\alpha/2, m(n-1)}$

- หรือปฏิเสธสมมติฐานหลักโดยพิจารณาจากช่วงความเชื่อมั่น (ของค่าผลกระทบเฉลี่ย)ไม่รวมค่า "ศูนย์" แสดงว่าผลกระทบมีผลอย่างนัยสำคัญและช่วงความเชื่อมั่นของผลกระทบเฉลี่ยที่ระดับ (α) คำนวณได้จากสมการ 2.7

$$E \pm t_{\alpha/2, m(n-1)} S_{effect} \quad (2.7)$$

โดยค่าส่วนเบี่ยงเบนมาตรฐานของผลกระทบกรณีมีจำนวนทดลองซ้ำ (จำนวนเท่ากันทุกเงื่อนไข) คำนวณได้จากสมการ 2.8

$$S_{effect} = \sqrt{\frac{4xS_E^2}{N}} \quad (2.8)$$

และส่วนเบี่ยงเบนมาตรฐานของค่าคงที่ใน แบบจำลองคำนวณได้จากสมการ 2.9

$$S_{average} = \sqrt{\frac{S_E^2}{N}} \quad (2.9)$$

โดยกำหนด N แทนจำนวนการทดลองทั้งหมดหรือเท่ากับผลคูณระหว่างจำนวนเงื่อนไขการทดลอง (m) กับจำนวนการทดลองชั้น (n) (หรือ $N=m \times n$ หรือ $2^k \times n$)

S_E^2 แทนค่าความแปรปรวนที่แสดงความผิดพลาดในการทดลองหรือ กรณีมีการทดลองชั้น แทนด้วยสัญลักษณ์ MS_{rep}

โดยคำนวณค่าความแปรปรวน (S_E^2) ที่แสดงความผิดพลาดในการทดลองชั้นจากสมการ 2.10

$$S_E^2 = \frac{\sum_{i=1}^m S_i^2}{m(n-1)} \quad (2.10)$$

$i = 1, 2, \dots, m$ (เงื่อนไขการทดลองที่)

กำหนด S_i^2 แทนค่าความแปรปรวนจากการทดลองชั้นสำหรับแต่ละเงื่อนไขและคำนวณได้จากสมการ 2.11

$$S_i^2 = \frac{\sum_{j=1}^n (y_{ij} - \bar{y}_i)^2}{m(n-1)} \quad (2.11)$$

$i = 1, 2, 3, \dots, m$ (เงื่อนไขการทดลองที่)

$j = 1, 2, 3, \dots, n$ (จำนวนทดลองชั้น)

หรือ ถ้าแทนค่า S_i^2 ในสมการ S_E^2 สามารถคำนวณค่าความแปรปรวนที่แสดงความผิดพลาดในการทดลองกรณีมีการทดลองชั้นได้จากสมการ 2.12

$$S_i^2 = \frac{\sum_{i=1}^m \sum_{j=1}^n (y_{ij} - \bar{y}_i)^2}{m(n-1)} \quad (2.12)$$

$i = 1, 2, 3, \dots, m$ (เงื่อนไขการทดลองที่)

$j = 1, 2, 3, \dots, n$ (จำนวนทดลองชั้น)

ส่วนกรณีที่ว่าไปเมื่อจำนวนทดลองซ้ำสำหรับแต่ละเงื่อนไขไม่เท่ากันสามารถหาค่าความแปรปรวนที่แสดงความผิดพลาดในการทดลอง ได้จากสมการ 2.13

$$S_E^2 = \frac{\sum_{i=1}^m (n_i - 1) S_i^2}{\sum_{i=1}^4 (n_i - 1)} \quad (2.13)$$

$i = 1, 2, 3, \dots, m$ (เงื่อนไขการทดลองที่)

N_i = แกนจำนวนทดลองซ้ำสำหรับเงื่อนไขที่ i

2.4.5 การสร้างแบบจำลองทางคณิตศาสตร์ที่ได้จากการทดลอง (Emperical Model) การประยุกต์ใช้เทคนิคการออกแบบการทดลองเพื่อศึกษาการทำงานของระบบหรือกระบวนการจุดประสงค์ที่สำคัญของการทดลองนั่นใน การทดลองคือสามารถเขียนแบบจำลองทางคณิตศาสตร์ที่แสดงกลไกการทำงานของระบบโดยแสดงความสัมพันธ์ระหว่างตัวแปรอิสระในการศึกษา (Independent Input Variable) กับผลตอบในการทดลอง (Response/Output/Dependent Variable) ที่สอดคล้องกับวัตถุประสงค์ในการทดลอง โดยแบบจำลองทางคณิตศาสตร์ที่ได้จากการทดลองแสดงดังสมการ 2.14

$$Y = f(x_1, x_2, \dots, x_i) + \varepsilon \quad (2.14)$$

โดย y คือผลตอบหรือตัวแปรตาม

x คือตัวแปรอิสระที่ที่มีผลต่อกระบวนการและสามารถปรับค่าได้

ε คือ ความคลาดเคลื่อนในการทดลองโดยมีการแจกแจงแบบปกติและเป็นอิสระต่อกัน และมีค่าเฉลี่ยเท่ากับศูนย์และมีความแปรปรวนคงที่ หรือ

$$\varepsilon \sim NID(0, \sigma^2)$$

ในเบื้องต้นผู้ทดลองมักมีความรู้จำกัดเกี่ยวกับการทำงานของกระบวนการที่ศึกษาดังนั้นการสร้างแบบจำลองกระบวนการจากผลการทดลอง (Emperical Models) จะช่วยให้เข้าใจการทำงานของกระบวนการได้ง่ายขึ้นและสามารถคาดการณ์การทำงานของกระบวนการได้โดยอาศัยข้อมูล และความรู้ที่ได้จากการทดลอง กรณีเลือกใช้การทดลองแบบแฟคทอร์เรียลเต็มจำนวนโดยอาศัยข้อมูลและความรู้ที่ได้จากการทดลองกรณีเลือกใช้ทดลองแบบแฟคทอร์เรียลเต็มจำนวนโดยตัวแปรอิสระที่มีผลต่อการทำงานของระบบมีจำนวน 2 และ 3 ปัจจัยสามารถสร้างแบบจำลองแบบเต็มจำนวน (Full Model) รวมผลกระทบหลักและผลกระทบร่วมทุกเทอมที่เขียนได้ดังสมการ 2.15 และ 2.16

$$\hat{y} = b_0 + b_1 x_1 + b_2 x_2 + b_{12} x_1 x_2 \quad (\text{สำหรับสองปัจจัย}) \quad (2.15)$$

$$\hat{y} = b_0 + b_1x_1 + b_2x_2 + b_3x_3 + b_{12}x_1x_2 + b_{13}x_1x_3 + b_{23}x_2x_3 + b_{123}x_1x_2x_3 \quad (\text{สำหรับสามปัจจัย}) \quad (2.16)$$

โดยสัมประสิทธิ์ของแบบจำลองจะมีค่าครึ่งหนึ่งของค่าผลกราบทบเนื่องจากสัมประสิทธิ์ของแบบจำลองแสดงอัตราการเปลี่ยนแปลงของผลตอบต่อหนึ่งหน่วยของตัวแปรอิสระ แต่ค่าผลกราบทบแสดงอัตราการเปลี่ยนแปลงของผลตอบต่อสองหน่วยของตัวแปรอิสระ (จาก -1 เป็น +1) ซึ่งสัมประสิทธิ์จากแบบจำลองดังกล่าวจะเหมือนกับการคำนวณสัมประสิทธิ์ในสมการลดด้วยใช้วิธี "กำลังสองน้อยที่สุด" (Least Square Method) และเทอมต่าง ๆ ที่รวมอยู่ในแบบจำลองควรเป็นเทอมที่มีผลต่อกระบวนการอย่างมีนัยสำคัญเท่านั้นโดยตัดเทอมที่ไม่มีผลต่อกระบวนการอย่างมีนัยสำคัญเพื่อให้แบบจำลองมีความกะทัดรัดและไม่ซับซ้อนจนเกินไปเรียกว่าแบบจำลองแบบลดจำนวน (Reduced Model) นอกจากนี้จากหลัก Heirarchay Principal" แนะนำว่า "ถ้าแบบจำลองประกอบด้วยเทอมโพลีโนเมียลอันดับสูงของตัวแปรใด ควรจะรวมเทอมโพลีโนเมียลอันดับต่ำของตัวแปรนั้นด้วย" สำหรับการทดลองแบบแฟคทอรีเริล คือ ควรรวมผลกระทบหลักในแบบจำลองแม้ผลกระทบหลักนั้นจะไม่มีนัยสำคัญถ้าผลกระทบร่วมของปัจจัยดังกล่าวมีนัยสำคัญโดยหลักดังกล่าว เป็นข้อแนะนำที่ได้รับการยอมรับและปฏิบัติตามทำให้แบบจำลองมีความสม่ำเสมอ (Consistency)

2.4.6 วิธีการตรวจสอบความพอดีของแบบจำลอง (Model Adequacy Checking)
 สมการแบบจำลองที่สร้างจากข้อมูลในการทดลองมีประโยชน์สำหรับใช้คำนวณผลพุตกรรมของกระบวนการโดยกำหนดให้ \hat{y}_i คือค่าคำนวณที่ได้จากการแทนค่าตัวแปรอิสระทั้งหมดที่จำเป็นและสามารถทดลองโดยแบบจำลองที่เหมาะสมและมีประสิทธิภาพควรประกอบด้วยเทอมที่จำเป็นและสามารถคำนวณผลตอบที่เงื่อนไขต่าง ๆ ได้ใกล้เคียงกับผลการทดลองจริง และกำหนดค่าส่วนค้างหรือ Residual คือค่าที่แสดงความแตกต่างหรือที่ค่าความคลาดเคลื่อนจากการเทียบระหว่างค่าคำนวณผลจากแบบจำลองกับผลการทดลองจริงเพื่อแสดงความผันแปร (Variation) ที่เกิดขึ้นในการทดลองที่ไม่สามารถอธิบายได้โดยแบบจำลองสำหรับคำนวณผล (Fitted Model) คำนวณได้ดังสมการ

2.17

$$e_{ij} = y_{ij} - \hat{y}_i \quad (2.17)$$

สำหรับเงื่อนไขการทดลองที่ i จากการทดลอง ชั้นเริ่มที่ j โดยส่วนค้าง e ควรมีคุณสมบัติดังนี้

1) มีการแจกแจงแบบปกติ

- 2) มีค่าเฉลี่ยเท่ากับศูนย์
- 3) มีค่าความแปรปรวนคงที่
- 4) มีความเป็นอิสระต่อกัน

ค่าส่วนค้าง (Residuals) ใช้สำหรับตรวจสอบความพอดีของแบบจำลองได้โดยใช้เทคนิคการวิเคราะห์ส่วนค้าง (Residual Analysis) ซึ่งเป็นเทคนิคที่ใช้สำหรับตรวจสอบความผิดพลาดในการทดลองแบบจำลองว่ามีคุณสมบัติตรงตามข้อกำหนดเบื้องต้นที่ว่า "ความคลาดเคลื่อนในการทดลองมีการแจกแจงแบบปกติ เป็นอิสระต่อกัน มีค่าคงที่และมีค่าเฉลี่ยเท่ากับศูนย์"

วิเคราะห์ส่วนค้างเป็นวิธีการตรวจสอบเป็นวิธีการตรวจสอบเบื้องต้นที่ไม่ซับซ้อน โดยคำนวณส่วนค้างจากสมการแบบจำลองที่มีความเหมาะสมกับกระบวนการดังกล่าว และตรวจสอบจากการภาพส่วนค้างกับตัวแปรอิสระอื่นที่เกี่ยวข้องในกระบวนการได้แก่ ค่าหมาย ลำดับการทดลองหรือเวลา และตัวแปรอิสระอื่นๆ กราฟปกติของส่วนค้าง โดยกราฟส่วนค้างไม่มีรูปแบบใดๆ (Patterns) และมีการกระจายตัวแบบสุ่ม (Random Patterns) มีขั้นตอนการวิเคราะห์ดังนี้

1) วิเคราะห์กราฟแบบปกติของส่วนค้าง เพื่อตรวจสอบว่าส่วนค้างมีการแจกแจงแบบปกติและมีค่าเฉลี่ยเท่ากับศูนย์หรือไม่ โดยถ้าส่วนค้างแจกแจงแบบปกติหรือใกล้เคียงปกติข้อมูลส่วนค้างส่วนใหญ่จะอยู่บนเส้นที่ลากผ่านแกนกำเนิด (Imaginary Line) ของกราฟปกติและไม่สอดคล้องกับข้อกำหนดดังกล่าวในกรณีที่มีบางจุดไม่อยู่บนเส้นตรงดังกล่าวและมีค่าห่างมากจากค่าบนเส้นตรง ควรตรวจสอบเพื่อหาสาเหตุที่เกิดปรากฏการณ์ดังกล่าว

2) วิเคราะห์กราฟส่วนค้างกับตัวแปรอื่น ๆ ที่เกี่ยวข้องกับการทดลอง โดยส่วนค้างความมีการกระจายตัวแบบสุ่มไม่มีรูปแบบหรือแนวโน้มที่แน่นอน โดยทั่วไปพิจารณาจาก

2.1) กราฟส่วนค้างกับเวลาหรือลำดับในการทดลอง (Run Order) เพื่อตรวจสอบว่าส่วนคงค้างมีการแจกแจงอย่างเป็นอิสระ ไม่มีรูปแบบหรือแนวโน้มใดๆ ที่ขึ้นกับเวลา และลำดับในการทดลอง

2.2) กราฟส่วนค้างกับค่าหมาย (Fitted Value) เพื่อตรวจสอบว่าส่วนค้างมีการกระจายตัวแบบสุ่มเป็นอิสระไม่มีรูปแบบหรือแนวโน้มใดๆ ที่ขึ้นกับขนาดของค่าหมาย

2.3) กราฟส่วนค้างกับตัวแปรอิสระที่เกี่ยวข้องกับการทดลอง เช่น ระดับของปัจจัยในการทดลอง รุ่นของวัตถุติป พนักงานทดลอง เพื่อตรวจสอบว่าส่วนค้างมีการกระจายตัวแบบสุ่มและมีความเป็นอิสระไม่ขึ้นกับตัวแปรอิสระ

2.4.7 การตรวจสอบความเหมาะสมของแบบจำลอง

ตรวจสอบความเหมาะสมของแบบจำลองเนื่องจากแบบจำลองที่คาดการณ์ไว้ในเบื้องต้นอาจไม่สอดคล้องกับข้อมูลจากการทดลอง ส่งผลให้แบบจำลองดังกล่าวไม่สามารถทำนายพฤติกรรมของกระบวนการได้อย่างเหมาะสม และการนำแบบจำลองไปประยุกต์ใช้จะก่อให้เกิดความผิดพลาดและคลาดเคลื่อนได้ไม่สอดคล้องกับพฤติกรรมของกระบวนการที่แท้จริง ในขั้นตอนนี้มีจุดประสงค์เพื่อตรวจสอบและวินิจฉัยแบบจำลองโดยมีคำตามเบื้องต้น 2 ประการ คือ

ประการที่ 1 เทอมต่าง ๆ ที่รวมในแบบจำลองเป็นเทอมที่จำเป็นหรือไม่ โดยในแบบจำลองจะเลือกเฉพาะเทอมที่มีนัยสำคัญเท่านั้น เพื่อให้แบบจำลองมีความกะทัดรัดไม่ซับซ้อนจนเกินไป โดยใช้วิธีแบบ T-test

ประการที่ 2 เทอมต่าง ๆ ที่รวมในแบบจำลองพอดียังหรือไม่ซึ่งสามารถตรวจสอบได้ในบางกรณีโดยใช้การวิเคราะห์ส่วนค้าง และใช้วิธีวิเคราะห์ความแปรปรวนซึ่งจะกล่าวโดยละเอียดต่อไป

สมการแบบจำลองทางคณิตศาสตร์เป็นเครื่องมือที่ใช้สำหรับการศึกษาความสัมพันธ์ระหว่างผลตอบและตัวแปรอิสระในกระบวนการที่ศึกษา แต่ก่อนที่จะนำแบบจำลองไปประยุกต์ใช้ในกระบวนการจริง จะต้องตรวจสอบแบบจำลองก่อนว่าเหมาะสมหรือเพียงพอที่จะใช้นำเสนอ พฤติกรรมของกระบวนการหรือไม่ ถ้าไม่เหมาะสมสมญูวิจัยต้องปรับปรุงแบบจำลองภายใต้ชุดข้อมูลเดิม หรืออาจจะต้องเก็บข้อมูลเพิ่มเติมเพื่อพัฒนาแบบจำลองที่เหมาะสมต่อไป

2.4.8 การวิเคราะห์ความแปรปรวนสำหรับการทดลองแบบแพคทอร์เรียลเต็มจำนวน

วิธีวิเคราะห์ความแปรปรวน (ANOVA) เป็นเทคนิคที่ใช้อย่างแพร่หลายในทางสถิติโดยหลักการคือ ต้องคำนวณขนาดความแปรปรวนที่เกิดขึ้นทั้งหมดในการทดลอง จากนั้นแยกແยะสาเหตุของแหล่งที่ก่อให้เกิดความผันแปรของข้อมูลในการทดลองว่าเกิดจากผลของการปรับเปลี่ยนระดับของปัจจัยที่ศึกษา หรือเกิดจากผลของปัจจัยรบกวนที่ก่อให้เกิดความผิดพลาดในการทดลองหลังจากแบ่งความผันแปรออกเป็นส่วน ๆ ตามแหล่งของความผันแปร ต่อไปพิจารณาว่าแต่ละแหล่งมีผลต่อการทดลองมากน้อยเพียงใด เทคนิควิธีการวิเคราะห์ความแปรปรวนช่วยตัดสินว่า ผลกระทบจากแหล่งใดมีผลต่อการทดลองอย่างมีนัยสำคัญ และผลกระทบใดบ้างควรรวมอยู่ในแบบจำลอง นอกจากนี้ยังใช้สำหรับตรวจสอบแบบจำลองสุดท้ายว่ามีความเหมาะสมหรือไม่ และแบบจำลองสามารถอธิบายความแปรปรวนที่เกิดขึ้นในการทดลองได้มากน้อยเพียงใด

การสร้างแบบจำลองจะเริ่มต้นจากแบบจำลองแบบเต็มจำนวน (Full Model) ที่มีเทอมต่าง ๆ ที่สามารถประมาณค่าทั้งหมดจากการทดลอง จากนั้นจึงปรับแบบจำลองโดยตัดเทอมที่ไม่มีนัยสำคัญ

ออกจากแบบจำลองเรียกว่า แบบจำลองแบบลดจำนวน (Reduce Model) โดยอธิบายรายละเอียดต่อไปนี้

จุดประสงค์ของการใช้หลักการวิเคราะห์ความแปรปรวน (ANOVA) สำหรับแบบจำลองเต็มจำนวนจากการทดลองแบบแฟคทอร์เรียง คือ การแบ่งแหล่งของความแปรปรวนทั้งหมดที่เกิดขึ้นในการทดลองทั้งหมด SS_t แบ่งออกเป็น 3 ส่วนหลักดังนี้

1) ความผันแปรที่เกิดจากค่าเฉลี่ย SS_{average} (แต่ต่อไปจะไม่นำมาวิเคราะห์เพื่อให้การวิเคราะห์ที่ง่ายขึ้น เพราะปกติค่าคงที่มักมีนัยสำคัญและรวมอยู่ในแบบจำลองเสมอ)

2) ความผันแปรที่เกิดขึ้นระหว่างกลุ่มซึ่งสามารถแยกแหล่งของความผันแปรออกเป็น ส่วนย่อยๆ ที่เกิดจากผลกระทบในแบบจำลอง ได้แก่ ความผันแปรจากผลกระทบหลัก (Main Effect) และผลกระทบร่วมระหว่างปัจจัย (Interactions) รวมเรียกว่า SS_{effect}

3) ความผันแปรที่เกิดขึ้นภายในแต่ละกลุ่ม หรือจากการทดลองช้า SS_{rep} ซึ่งแสดงความแปรปรวนที่เกิดขึ้นจากความผิดพลาดในการทดลอง SS_E โดยเขียนสมการทำนายผลการทดลองได้สมการ 2.18

$$\widehat{y_{ij}} = \overline{\overline{y_{\bullet\bullet}}} + (\overline{\overline{y_{i\bullet}}} - \overline{\overline{y_{\bullet\bullet}}}) + (y_{ij} - \overline{\overline{y_{i\bullet}}}) \quad (2.18)$$

โดย $i = 1, 2, \dots, m$ (เงื่อนไขของการทดลองที่)

$j = 1, 2, \dots, n$ (จำนวนการทดลองช้าครั้งที่)

หรือเขียนในรูปของความแปรผันหรือผลรวมกำลังสองได้ดังสมการ 2.19 หรือ 2.20

$$\sum_{i=1}^m \sum_{j=1}^n y_{ij}^2 = (\overline{\overline{y_{\bullet\bullet}}})^2 + n \sum_{i=1}^m (\overline{\overline{y_{i\bullet}}} - \overline{\overline{y_{\bullet\bullet}}})^2 + \sum_{j=1}^n (y_{ij} - \overline{\overline{y_{i\bullet}}})^2 \quad (2.19)$$

หรือ $SS_t = SS_{\text{SSAverage}} + SS_{\text{Effect}} + SS_{\text{Rep}}$ (2.20)

และกำหนดเพิ่มเติมให้ความแปรผันจากแบบจำลองแบบเต็มจำนวนประกอบด้วยความผันแปรที่เกิดจากค่าคงที่ รวมกับผลกระทบทั้งหมดในแบบจำลองดังสมการ 2.21

$$SS(\text{FullModel}) = SS_{\text{average}} + SS_{\text{effect}} = (nm)\overline{\overline{y_{\bullet\bullet}}}^2 + \sum_{i=1}^m (\overline{\overline{y_{i\bullet}}} - \overline{\overline{y_{\bullet\bullet}}})^2 \quad (2.21)$$

และผลรวมกำลังสองสำหรับผลกระทบสามารถคำนวณได้ง่ายโดยใช้ค่าผลกระทบของเทอมนั้นแสดงได้จากสมการ 2.22 และ 2.23

$$SS(\text{Effect}) = \frac{(nm)E^2 \text{effect}}{4} \quad (2.22)$$

$$\text{หรือ} \quad SS(\text{Effect}) = \frac{1}{2^k x n} (\text{Constrast Effect})^2 \quad (2.23)$$

2.4.9 วิธีการวิเคราะห์ความแปรปรวนสำหรับการทดลองแบบแพคทอเรียล 2 ระดับ สำหรับแบบการลองลดจำนวน (ANOVA for Reduced Model)

การสร้างแบบจำลองจะเริ่มต้นจากแบบจำลองแบบเต็มจำนวน (Full Model) ที่ประกอบด้วยทุกเทอมที่สามารถประมาณค่าได้จากการทดลองจากนั้นจึงปรับแบบจำลองโดยตัดเทอมที่ไม่มีนัยสำคัญออกจากแบบจำลองเรียกว่า "แบบจำลองแบบลดจำนวน" (Reduced Model) โดยสัมประสิทธิ์ของผลกระทบเทอมต่างๆ ที่เหลือในแบบจำลองแบบลดจำนวนจะมีค่าเท่าเดิมไม่เปลี่ยนแปลง แต่ค่าความผันแปรที่เกิดจากส่วนตกค้างของแบบจำลองที่ลดจำนวนจะมีความผันแปรเพิ่มมากขึ้น (ขนาด) โดยมีค่าเท่ากับ ความผันแปรที่เกิดจากการทดลองซ้ำ (Pure Error/Replication Error) รวมกับความผันแปรของเทอมที่ไม่มีนัยสำคัญที่แสดงถึงความผันแปรที่แสดงความผิดพลาดที่เกิดจากแบบจำลอง (Error Variation in Regression) หรือโดยทั่วไปเรียกว่า "Lack of Fit Error" ดังนั้นค่าความผันแปรที่ไม่สามารถอธิบายได้ทั้งหมดโดยแบบจำลองเขียนดังสมการ 2.24

$$\text{Residual Error} = \text{Lack of Fit} + \text{Pure Error/Replication Error} \quad (2.24)$$

$$(\text{ส่วนที่ทำซ้ำ}) \quad \left(\begin{array}{l} \text{ส่วนที่ไม่สามารถอธิบายได้โดย} \\ \text{แบบจำลองแบบลดจำนวน} \end{array} \right) (\text{ส่วนค้าง})$$

เพื่อให้เข้าใจเกี่ยวกับการตรวจสอบสมรรถนะของแบบจำลองได้ง่ายและชัดเจนขึ้น จะแบ่งความผันแปรในการทดลองออกเป็นแหล่งดังนี้

1. ความผันแปรที่สามารถอธิบายได้โดยแบบจำลองแทนด้วย SS_{Model}
2. ความผันแปรที่ไม่สามารถอธิบายได้โดยแบบจำลองแทนด้วย ผลรวมกำลังสองของส่วนตกค้าง $SS_{Residual}$ หรือแทนด้วยผลรวมกำลังสองจากความคาดเคลื่อนในการทดลอง SS_E ดังนั้นความผันแปรทั้งหมดแสดงได้ดังสมการ 2.25

$$SS_T = SS_{Model} + SS_E \quad (2.25)$$

หรือความผันแปรที่ไม่สามารถอธิบายได้โดยแบบจำลองคำนวณได้จากสมการ 2.26

$$SS_E = SS_T - SS_{Model} \quad (2.26)$$

โดยความผันแปรที่ไม่สามารถอธิบายได้โดยแบบจำลองประกอบด้วยความผันแปรจาก 2 ส่วนคือ

2.1 SS_{LOF} (Lack of Fit) ผลรวมกำลังสองที่ไม่สามารถอธิบายได้จากแบบจำลองแบบลดจำนวน (Reduced Model) โดยความผันแปรส่วนนี้เกิดจากส่วนตกลงค้างที่เพิ่มขึ้นจากจำนวนเทอมที่ไม่มีนัยสำคัญที่ตัดออกจากการคำนวณในแบบจำลองแบบครบทุกเทอม เขียนสมการ 2.27

$$SS_{LOF} = \sum_{i=1}^m \sum_{j=1}^n (\bar{y}_{i\bullet} - \hat{y}_{ij})^2 \quad (2.27)$$

2.2 SS_{REP} (Replications) หรือ $SS_{pure error}$ ผลรวมกำลังสองที่เกิดจากการทดลองช้ำ หรือความคาดเดล่อนเกิดจากการทำการทดลองดังสมการ 2.28 และ 2.29

$$SS_{REP} = (n-1) \sum_{i=1}^m S_I^2 \quad (2.28)$$

$$\text{หรือ } SS_{REP} = \sum_{i=1}^m \sum_{j=1}^n (\bar{y}_{i\bullet} - \hat{y}_{ij})^2 \quad (2.29)$$

$i = 1, 2, 3, \dots, m$ (เงื่อนไขการทดลองที่ i)

$j = 1, 2, 3, \dots, n$ (การทดลองช้ำครั้งที่ j)

ดังนั้นความแปรปรวนที่แสดงความผิดพลาดในการทดลองทั้งหมดเขียนได้ดังสมการ 2.30 หรือ 2.31

$$SS_E (\text{Errors}) = SS_{rep} (\text{Replications}) + SS_{LOF} (\text{Lack of Fit}) \quad (2.30)$$

$$\text{หรือ } \sum_{i=1}^m \sum_{j=1}^n (\bar{y}_{ij} - \hat{y}_{ij})^2 + \sum_{i=1}^m \sum_{j=1}^n (y_{ij} - \bar{y}_{i\bullet})^2 + \sum_{i=1}^m \sum_{j=1}^n (y_{i\bullet} - \bar{y}_{ij})^2 \quad (2.31)$$

ข้อควรระวัง โปรแกรมคอมพิวเตอร์สำเร็จรูปส่วนใหญ่ไม่แยก SS_E ออกเป็น 2 ส่วนสำหรับคำนวณค่าทดสอบทางสถิติและมักจะใช้ SS_E แทน SS_{rep} (ในโปรแกรมแทนด้วย $(SS_{pure\ error})$) ถ้าเลือกใช้วิธีวิเคราะห์ความแปรปรวน (ANOVA) ในตารางคำนวณค่า ($SS_{pure\ error}$) ถ้าเลือกวิเคราะห์โดยวิธีสมการทดถอยจะคำนวณสัมประสิทธิ์ทุกเทอมในแบบจำลองแยกกัน แต่ไม่คำนวณค่า ($SS_{pure\ error}$) สำหรับทดสอบทางสถิติ

2.4.10 การวัดสมรรถนะของแบบจำลองโดยรวมของแบบจำลอง

แม้ว่าแบบจำลองจะรวมเทอมที่จำเป็นหรือเฉพาะเทอมที่มีนัยสำคัญแล้วก็ตาม และแบบจำลองมีความเหมาะสม (Not Lack of Fit) มิได้หมายความว่า แบบจำลองนั้นจะเป็นแบบจำลองที่ดี ถ้ามีความคลาดเคลื่อนในการทดลองมากเนื่องจากผลของปัจจัยรบกวนในการทดลอง หรือมีปัจจัยที่สำคัญบางตัวที่ไม่ถูกเลือกในกรณีศึกษา ดังนั้นอาจเป็นไปได้ที่ขนาดของความผันแปรของข้อมูลไม่สามารถอธิบายโดยแบบจำลองจะมีมาก หรือมีความผันแปรที่เกิดจากส่วนค้างมาก ดังนั้น เพื่อวัดสมรรถนะโดยรวมของแบบจำลอง โดยใช้ดัชนีชี้วัด ที่เรียกว่า "Coefficient of Determination" หรือ R^2 เพื่อตรวจสอบว่าแบบจำลองสามารถใช้อธิบายความแปรปรวนที่เกิดขึ้นจากผลการทดลองได้มากกว่าร้อยละ 80 ดังสมการ 2.32

กำหนดให้

$$R^2 = \frac{SS_{model}}{SS_{Total}} \quad (2.32)$$

ดังนั้น R^2 แสดงถึงร้อยละความแปรปรวนทั้งหมดจากข้อมูลการทดลองที่สามารถอธิบายได้ด้วยแบบจำลอง โดยปกติค่าร้อยละอย่างน้อย 0.80

โดยปกติถ้าเพิ่มจำนวนเทอมในแบบจำลองค่า R^2 จะมีค่าเพิ่มขึ้นเสมอ อาจส่งผลให้แบบจำลองรวมเทอมที่ไม่จำเป็นเพื่อให้ดัชนีชี้วัดมีค่าสูงขึ้น ดังนั้นจึงตัดแปลงดัชนีชี้วัดสมรรถนะของแบบจำลองขึ้นมาใหม่คือ R_{adj}^2 โดยค่าดัชนีนี้อาจมีค่าลดลงถ้าเพิ่มเทอมที่ไม่จำเป็นลงในสมการแบบจำลอง โดยคำนวณได้จากสมการ 2.33 และ 2.34

$$R_{adj}^2 = 1 - \frac{SS_{error/(n-p)}}{SS_{Total}/(n-1)} \quad (2.33)$$

หรือคำนวณได้จากสมการ

$$R_{adj}^2 = 1 - \left(\frac{n-p}{n-1}\right)(1-R^2) \quad (2.34)$$

โดย ร แทนจำนวนเทอม (ที่รวมค่าคงที่) ในแบบจำลอง
ก แทนจำนวนทดลองซ้ำ

ข้อสังเกตถ้าดัชนีชี้วัด R^2 และ R^2_{adj} มีค่าต่างกันมาก แสดงว่าอาจมีเหตุบางเหตุที่ไม่จำเป็นรวมอยู่ในสมการแบบจำลอง ดังนั้นอาจเป็นข้อมูลสำคัญสำหรับตรวจสอบแบบจำลองว่าควรตัดเหตุที่ไม่จำเป็นออกจากแบบจำลองเพื่อให้แบบจำลองมีความกะทัดรัดมากขึ้น

ในกรณีที่แบบจำลองไม่เหมาะสมสามารถเกิดจากความแปรปรวนที่เกิดจากปัจจัยรบกวนในการทดลอง (Noise Factors) มีมากเกินไป หรืออาจเกิดจากความผิดพลาดที่เกิดขึ้นในระหว่างการทดลอง เพราะไม่นำหลักพื้นฐานในการออกแบบการทดลองมาประยุกต์ใช้อย่างเหมาะสม ได้แก่ หลักการบล็อก และหลักการสุ่ม หรืออาจเกิดจากไม่รวมปัจจัยบางตัวที่มีผลต่อกระบวนการที่ศึกษา

2.4.11 ทำการทดลองยืนยันผล

หลังจากวิเคราะห์ผลการทดลอง สร้างแบบจำลองที่เหมาะสม และหาเงื่อนไขที่เหมาะสมจากแบบจำลองที่สร้างขึ้น ก่อนนำเงื่อนไขดังกล่าวไปประยุกต์ใช้จริงการทำการทดลองยืนยันผลก่อนเพื่อตรวจสอบความถูกต้องก่อนนำไปใช้จริงว่าค่าที่ได้มีความใกล้เคียงกับแบบจำลองหรือไม่ เพราะบางครั้งในสภาวะในกระบวนการจริงอาจแตกต่างกับสภาวะตอนทดลองผู้วิจัยไม่คาดคิดหวังว่าผลการทดลองจริงจะมีค่าเท่ากับค่าที่ได้จากการทดลองทำนายผล โดยค่าทำนายขึ้นอยู่กับสมรรถนะของแบบจำลอง (Fitted Model) ว่ามีประสิทธิภาพในการจำลองการทำงานของกระบวนการที่ได้ศึกษาได้ใกล้เคียงมากน้อยเพียงใด แบบจำลองดังกล่าวควรจะรวมเหตุที่นัยสำคัญเท่านั้น และแบบจำลองดังกล่าวสร้างมาจากข้อมูลผลการทดลอง ดังนั้นขั้นตอนการออกแบบ วางแผน และการทำการทดลองจึงมีส่วนสำคัญที่จะช่วยให้ข้อมูลสำหรับสร้างแบบจำลองที่มีความถูกต้องและน่าเชื่อถือในการทำการทดลองยืนยันผลคราวท่า 3-5 ครั้ง และทดสอบสมมติฐานว่ามีค่าเฉลี่ยเท่ากับค่าทำนายไว้หรือไม่

2.5 กระบวนการขึ้นรูปแบบเยือกแข็ง (Freeze Dehydration)

หมายถึงการทำแห้ง (Dehydration) ด้วยการแข็งเยือกแข็ง (Freezing) ทำให้น้ำเปลี่ยนสถานะเป็นผลึกน้ำแข็งก่อน แล้วจึงลดความดันเพื่อให้ผลึกน้ำแข็งระเหิด (Sublimation) เป็นไอ ด้วยการลดความดันให้ต่ำกว่าบรรยายกาศปกติ ขณะควบคุมให้อุณหภูมิต่ำ (ที่อุณหภูมิเท่ากับหรือต่ำกว่า 0 องศาเซลเซียส น้ำแข็งระเหิดที่ความดันเท่ากับ 4.7 มิลลิเมตรprotohหรือต่ำกว่า) (สุกิจ ลิติกรรณ์, 2560)

2.5.1 ขั้นตอนการทำแห้งแบบแข็งเยือกแข็ง

ขั้นตอนเบื้องต้นสำหรับการผลิตอาหารด้วยวิธีการทำแห้งแบบแข็งเยือกแข็ง ก็เหมือนกับการผลิตอาหารแห้งโดยทั่วไปคือเริ่มจากการเตรียมวัตถุดิบให้อยู่ในสภาพที่เหมาะสม เช่น การล้าง การปอกเปลือก การลดขนาดจากนั้นจึงเข้าสู่กระบวนการหลักซึ่งประกอบด้วย 3 ขั้นตอน คือ

1) การแข็งเยือกแข็ง (Freezing) เป็นการลดอุณหภูมิของอาหารให้ต่ำกว่าจุดเยือกแข็ง (Freezing Point) เพื่อให้เกิดผลึกน้ำแข็ง(Ice Crystal Formation) อัตราเร็วของการแข็งเยือกแข็ง (Freezing Rate) ควรเป็นการแข็งเยือกแข็งแบบเร็ว เพื่อให้เกิดผลึกและผลึกที่เกิดขึ้นจะมีขนาดเล็ก การแข็งเยือกแข็งแบบเร็ว ที่นิยมใช้กันมีหลายวิธี เช่น การแข็งเยือกแข็งแบบใช้ลมเย็นเป่า (Air Blast Freezing) การแข็งเยือกแข็งแบบไครโโลเจน (Cryogenic Freezing) และการแข็งเยือกแข็งแบบจุ่มในของเหลวเย็นจัด (Immersion Freezing)

2) การทำแห้งชั้นต้น (Primary Drying) เป็นการลดปริมาณน้ำ (Dehydration) โดยการระเหิด น้ำแข็งให้เป็นไอโดยการลดความดันบรรยากาศ เพื่อให้ผลึกน้ำแข็งที่อยู่ภายในเกิดการระเหิดเป็นไอ ออกไปจากผิวน้ำของผลิตภัณฑ์ ระดับของสูญญากาศ (Vacuum) ควรอยู่ต่ำกว่า 132 ปาส卡ล (Pa) และ 132 เมกะปาส卡ล (MPa) ตามลำดับ การระเหิดของผลึกน้ำแข็งจึงเกิดขึ้นได้อย่างสมบูรณ์การระเหิดของชั้นน้ำแข็ง (Ice Layer) จะเริ่มจากชั้นน้ำแข็งบริเวณผิวน้ำของผลิตภัณฑ์ ระเหิดไปเป็นไอ ทำให้บริเวณนี้กลายเป็นชั้นแห้ง (Dry Layer) จากนั้นเป็นการระเหิดของชั้นน้ำแข็งที่อยู่ภายใต้ผิวน้ำของผลิตภัณฑ์ ระเหิดผ่านชั้นแห้ง ออกไปสู่ผิวน้ำของผลิตภัณฑ์ระยะเวลาการระเหิด ขึ้นอยู่กับขนาด รูปร่าง และโครงสร้างของผลิตภัณฑ์แต่ละชนิด

3) การทำแห้งชั้นที่สอง (Secondary Drying) เมื่อการทำแห้งชั้นต้นเสร็จสมบูรณ์ น้ำแข็งจะละลายไปหมด จะมีความชื้นที่หลงเหลืออยู่ จึงต้องมีการทำแห้งด้วยการเพื่ออุณหภูมิให้สูงขึ้น เพื่อดึงเอาความชื้นที่เหลืออยู่ออกถึงระดับความชื้นที่ปลอดภัยสำหรับการเก็บรักษา

4) ข้อดีของการทำแห้งแบบแข็งเยือกแข็ง การทำแห้งแบบแข็งเยือกแข็ง เป็นการทำแห้งขั้นที่อาหารมีอุณหภูมิต่ำจึงลดการสูญเสียของอาหารเนื่องจากความร้อน ลดการทำลายเนื้อเยื่อและโครงสร้างอาหาร ทำให้ได้อาหารแห้งที่ได้คุณภาพสูง มีการคืนตัว (Rehydration) ที่ดี รักษาคุณภาพอาหาร เช่น สี กลิ่น รสชาติ และลักษณะเนื้อสัมผัสของอาหารได้ดีเมื่อเปรียบเทียบกับวิธีการทำแห้งแบบอื่น เช่น การทำแห้งแบบพ่นละออง (Spray Drier) การทำแห้งด้วยลมร้อน เช่น ตู้อบลมร้อน (Tray Drier, Carbinet Drier) แต่มีค่าใช้จ่ายสูงเมื่อเปรียบเทียบกับการทำแห้งด้วยเครื่องทำแห้งที่ใช้ลมร้อนทั่วไป

2.6 งานวิจัยที่เกี่ยวข้อง

2.6.1 ในอดีตมีโครงการงานวิจัยของ กัญญาฯ ทุนประเสริฐ และชุติกา ยอดแก้ว (2560) เรื่อง การหาอัตราส่วนที่เหมาะสมของแผ่นมาส์กหน้าจากไฟโบรอิน ไคโตซาน และเซลลูโลส โดยมีวัตถุประสงค์เพื่อหาอัตราส่วนที่เหมาะสมของแผ่นมาส์กหน้าจากไฟโบรอิน ไคโตซาน และเซลลูโลส โดยใช้หลักการออกแบบการทดลองแบบบซิมเพล็กแอคเชียล และเปรียบเทียบความแข็งแรงระหว่าง มาส์กหน้าที่มีข่ายตามท้องตลาด และมาส์กจากไฟโบรอิน ไคโตซาน และเซลลูโลส

จากการศึกษาและหาอัตราส่วนที่เหมาะสมของไฟโบรอิน ไคโตซาน และเซลลูโลส จาก การขึ้นรูปโดยการทำให้แห้งแบบเยือกแข็งโดยทำการทดลองผสมสารละลายไฟโบรอิน ไคโตซาน และเซลลูโลส ตามอัตราส่วนในการทดลอง แล้วนำสารละลายเหลลงในแม่พิมพ์ โดยในการออกแบบ การทดลองนั้น ใช้หลักการออกแบบการทดลองแบบ Simplex Axial โดยมีจำนวน 10 ชิ้นงาน ทำซ้ำ 2 ชิ้น จึงมีชิ้นงานที่ทำการขึ้นรูปเองอยู่ทั้งหมด 20 ชิ้นงาน อีกทั้งยังมีชิ้นงานที่เป็นตัวอย่างแผ่นมาส์ก หน้าท้องตลาดมาช่วยเป็นหลักการประเมินค่าของชิ้นงานที่สังเคราะห์ขึ้นว่ามีคุณภาพใกล้เคียงกับแผ่น มาส์กหน้าท้องตลาดหรือไม่ โดยแผ่นมาส์กหน้าจากท้องตลาดที่นำมาทดลองมี 2 ชนิด และทำการ ทดลองซ้ำ 2 ครั้ง จึงมีชิ้นงานในการทดลองรวมเป็น 58 ชิ้น โดย 24 ชิ้นงานสำหรับทดสอบแรงดึง และอีก 24 ชิ้นงานสำหรับทดสอบความพรุนของแผ่นมาส์ก เมื่อทำการผสมชิ้นงานตามอัตราส่วน และได้ปริมาณตามที่จะใช้ในการทดลองแล้ว จึงนำไปขึ้นรูปโดยใช้เครื่องการขึ้นรูปแบบเยือกแข็ง (Freeze Dryer) เพื่อทำการระเหิดน้ำออกจากชิ้นงานที่อุณหภูมิ -50 องศาเซลเซียส เป็นเวลา 2 วัน แล้วจึงนำชิ้นงานไปอบไว้ความชื้น เป็นเวลา 2 วันก่อนที่จะนำไปทดสอบแรงดึง และทดสอบความ พรุน

2.6.2 ในอดีตมีการแสดงลักษณะทางกายภาพ และความแข็งแรงของวัสดุสมรรถว่างไคโต ซาน และไฟโบรอินจากการขึ้นรูปด้วยทฤษฎีการขึ้นรูปแบบเยือกแข็ง ของ พันธุ์ระวี ศรีประภา (2562) โดยทำการทดลองที่อัตราส่วนไคโตซาน 75 เปอร์เซ็นต์ ต่อ ไฟโบรอิน 25 เปอร์เซ็นต์ ไคโต ซาน 50 เปอร์เซ็นต์ ต่อ ไฟโบรอิน 50 เปอร์เซ็นต์ และ ไคโตซาน 25 เปอร์เซ็นต์ ต่อ ไฟโบรอิน 75 เปอร์เซ็นต์

จากการศึกษาพบว่าที่ปริมาณไคโตซานมากที่สุดจะมีคุณสมบัติทางกายภาพ และความ แข็งแรงดีที่สุด เนื่องจากการนำไปส่องกล้องจุลทรรศน์พบว่าที่ปริมาณไคโตซานมากทำให้ชิ้นงานมีรู พรุนที่เล็กที่สุด และการนำไปทดสอบแรงดึงพบว่าที่ปริมาณไคโตซานมากที่สุดทำให้ชิ้นงานมีค่า ทดสอบแรงดึงมากที่สุด ซึ่งแสดงถึงความแข็งแรงของชิ้นงาน

บทที่ 3

วิธีดำเนินงานวิจัย

งานวิจัยนี้เป็นการศึกษาปัจจัยที่มีผลต่อความแข็งแรงของแผ่นมาส์กหน้าที่ทำจากไคโตซาน และไฟโบรอิน ซึ่งเป็นการศึกษาอัตราส่วนปริมาณไคโตซาน ปริมาณกลูตารัลดีไฮด์ และความเข้มข้นของกรด และทำการประยุกต์ใช้เทคนิคการออกแบบทดลองแบบแฟคทอเรียลเต็มจำนวน (Full Factorial Design) 2^k เพื่อให้ทราบปัจจัยที่ส่งผลต่อความแข็งแรงของแผ่นมาส์กหน้า และระดับปัจจัยที่เหมาะสมกับการผลิตแผ่นมาส์ก ซึ่งทางผู้วิจัยมีการนำอัตราส่วนจากการวิจัยที่เกี่ยวข้องมาประยุกต์ใช้ในการทดลอง และ สรุปขั้นตอนแนวทางการดำเนินงานวิจัยดังนี้

3.1 การทดลองเบื้องต้น

การทดลองเบื้องต้นเป็นการทดลองเพื่อหาระดับปัจจัยที่เหมาะสมที่จะนำมาใช้กับการทดลองจริง ได้แก่ ปริมาณไคโตซาน ความเข้มข้นของกรดที่ใช้ละลายไคโตซาน และ ปริมาณกลูตารัลดีไฮด์ ตารางระดับปัจจัยที่ใช้ในการทดลอง แสดงดังตาราง 3.1

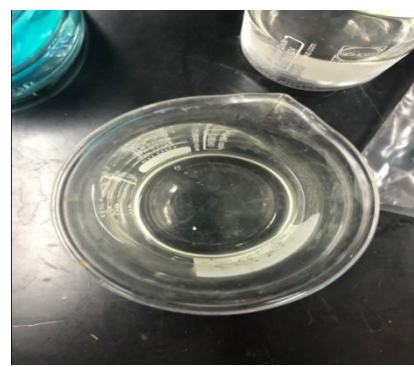
3.1.1 ทดสอบปริมาณกรด Acetic ที่จะนำมาละลายไคโตซานโดยใช้ค่าระหว่าง 0.4 เปอร์เซ็นต์ และ 0.5 เปอร์เซ็นต์ เพื่อหาค่าที่น้อยที่สุดที่ทำให้ไคโตซานละลายเนื่องจากปริมาณกรดมีผลต่อคลื่น

1) การละลายไคโตซานในสารละลายกรด Acetic 0.4 เปอร์เซ็นต์ ในพื้นที่วงกลมแสดงถึงส่วนไคโตซานที่ไม่ละลาย ดังภาพ 3.1



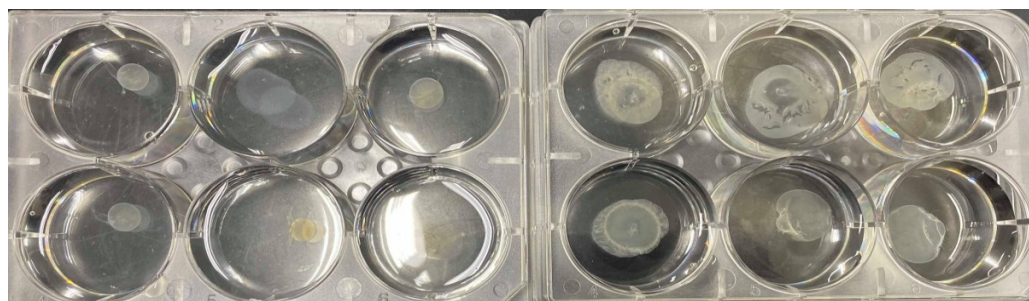
ภาพ 3.1 การละลายไคโตซานในสารละลายกรด 0.4 เปอร์เซ็นต์

2) การละลายไคโตซานในสารละลายกรด Acetic 0.5 เปอร์เซ็นต์ ดังภาพ 3.2



ภาพ 3.2 การละลายไคโตซานในสารละลายกรด 0.5 เปอร์เซ็นต์

3) การผสมสารละลายไฟโบรินและสารละลายไคโตซานในอันตราร่วม 70:30 และ 90:10 และมีการผสมกลูตราลเดไฮด์ (Glutaraldehyde) ในปริมาณ 0.5 เปอร์เซ็นต์ 1 เปอร์เซ็นต์ และ 1.5 เปอร์เซ็นต์ ที่ต่างกันเพื่อดูลักษณะทางกายภาพของชั้นงาน ดังภาพ 3.3



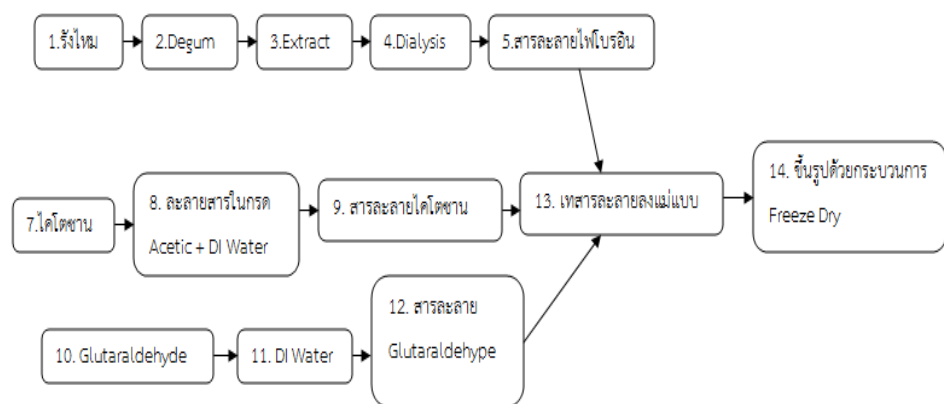
ภาพ 3.3 สารละลายไฟโบริน ไคโตซาน และกลูตราลเดไฮด์

ตาราง 3.1 ปัจจัยที่ใช้ในการทดลอง

ปัจจัย	หน่วย	ต่ำ(-1)			สูง(+1)		
อัตราส่วนโคโตชาโนโดยปริมาตร	เปอร์เซ็นต์	70			90		
ปริมาณ Glutaraldehyde	เปอร์เซ็นต์	0.5	1	1.5	0.5	1	1.5
ความเข้มข้นของกรดที่ใช้ละลายโคโตชาโน	เปอร์เซ็นต์	1			1		

3.2 การทดลองแบบใหม่

วิธีการผลิตแบบใหม่ ดังภาพ 3.4



ภาพ 3.4 วิธีการผลิตแบบใหม่

การทดลองแบบใหม่มีการซึ่งสารโดยปริมาตร ซึ่งมีการเทียบบรรยัดไดรรยางค์มาจากการซึ่งสารจากการทดลองแบบเดิมซึ่งเป็นการซึ่งโดยน้ำหนัก

3.2.1 ศึกษาและเก็บรวบรวมข้อมูลขั้นตอนการทำเบื้องต้น และเก็บข้อมูลคุณสมบัติของไฟเบอร์อิน โดยการศึกษาวิธีการเตรียมไฟเบอร์อินจากการตัดรังใหม่

1) นำไหหมาตัดเป็นชิ้นเล็กๆ ขนาด 3×3 มิลลิเมตร ดังภาพ 3.5

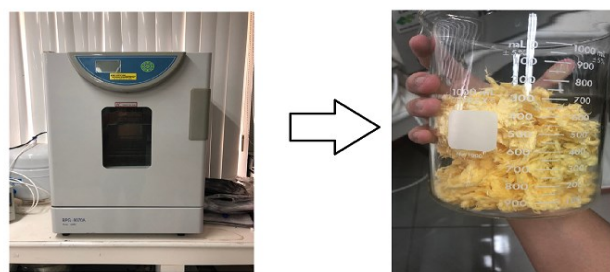


ภาพ 3.5 การตัดไหม

2) เข้าสู่กระบวนการ Degum โดยการนำไหมมาซึ่ง 10 กรัม และเตรียมสารโซเดียมคาร์บอเนต 2.122 กรัม ทำการต้มไหมในสารละลายโซเดียม 500 มิลลิลิตรเป็นเวลา 30 นาที ที่ อุณหภูมิ 90 องศาเซลเซียส จากนั้นต้มในน้ำดีไอ (DI Water) 1000 มิลลิลิตร เป็นเวลา 10 นาทีทำซ้ำ 3 รอบแล้วนำไหมที่ต้มในน้ำดีไอ (DI Water) เพื่อกำจัดสารที่ไม่ต้องการทึ่งไป เช่น กำจัดกาวจากตัวไหม ดังภาพ 3.6 เสร็จแล้วมาอบที่อุณหภูมิ 37 องศาเซลเซียสเป็นเวลา 12 ชั่วโมง ดังภาพ 3.7

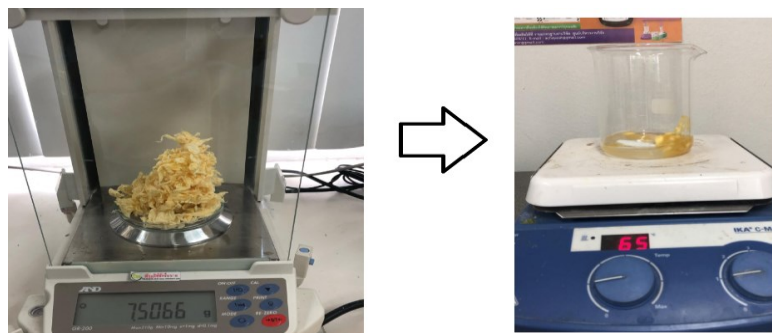


ภาพ 3.6 กระบวนการ Degum

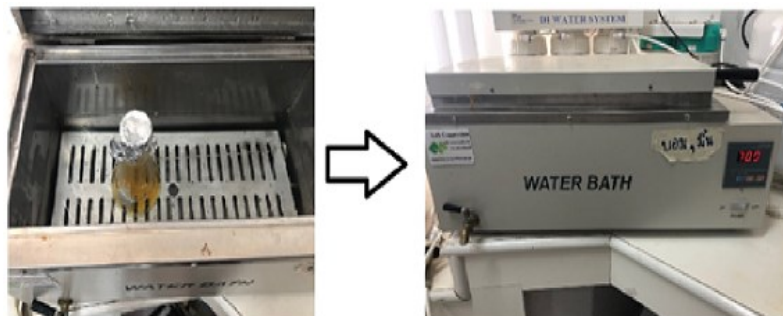


ภาพ 3.7 กระบวนการอบไหม

3) เข้าสู่กระบวนการ Extract ซึ่งใหม่ที่อบแล้ว 7.5 กรัม เตรียมสารละลายน้ำตราชาก (Ternary Solution) ที่ประกอบด้วยน้ำดีไอ (DI Water) 36.0356 กรัม แคลเซียมคลอไรด์ (Calcium Chloride) 27.75 กรัม และ เอทานอล (Ethanol) 23.035 กรัม ละลายใหม่ในสารละลายน้ำตราชาก (Ternary Solution) จนกว่าใหม่จะละลายหมดที่อุณหภูมิ 70 องศาเซลเซียสเพื่อลดลายไฟฟ์เบรินในรูปสารละลายน้ำตราชาก 3.8 จากนั้นต้มใหม่ต่อในเครื่องอ่างน้ำควบคุมอุณหภูมิ (Water Bath) ที่อุณหภูมิ 70 องศาเซลเซียส เป็นเวลา 7 ชั่วโมง ดังภาพ 3.9

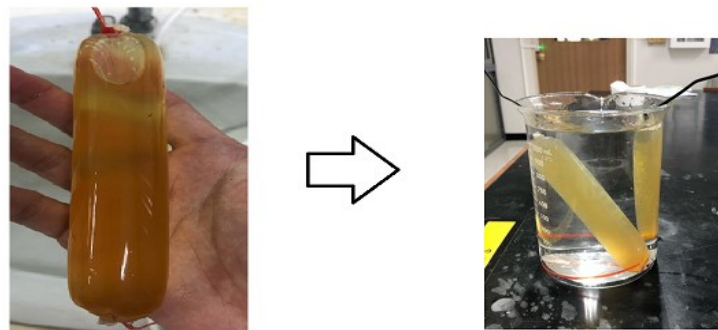


ภาพ 3.8 กระบวนการ Extract



ภาพ 3.9 การต้มใหม่ในอ่างน้ำควบคุมอุณหภูมิ (Water Bath)

4) เข้าสู่กระบวนการ Dialysis โดยการเทใหม่ใส่หลอดเซลลูโลส (Cellulose tube) และแช่ในน้ำดีไอ (DI Water) เก็บในตู้เย็นที่อุณหภูมิ 4 องศาเซลเซียส แข็งไว้ 3 วันโดยเปลี่ยนน้ำทุกวัน ดังภาพ 3.10 หลังจากการแข็งนำไปปั่นให้ละเอียดที่ 2000 รอบต่อนาทีเป็นเวลา 10 นาที จากนั้นเทส่วนที่ปั่นให้ละเอียดใส่บีกเกอร์ เพื่อแยกไฟฟ์เบรินออกจากสารละลายน้ำตราชาก (Ternary Solution) ดังภาพ 3.11



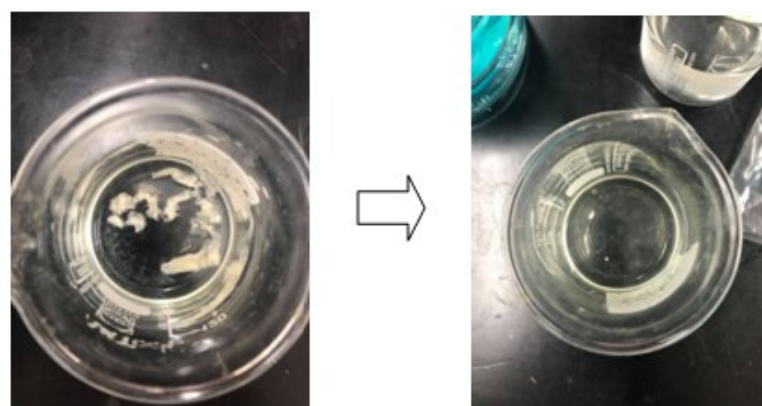
ภาพ 3.10 เทไหมใส่หลอดเชลลูโลส



ภาพ 3.11 การปั่นเหวี่ยง

3.2.2 ศึกษาและเก็บรวบรวมข้อมูลขั้นตอนการทำเบื้องต้น และเก็บข้อมูลคุณสมบัติของไคโตชาน

- 1) ไคโตชานปริมาณ 1 กรัมแข็งลงในสารละลายกรดและผสมลงในน้ำดีไอ (DI Water) ดังภาพ 3.12



ภาพ 3.12 การละลายไคโตชาน

3.2.3 การผสมสารละลายน้ำในรูปแบบใหม่

โดยการนำไฟฟ้าอินฟิลด์จากการปั่นเหวี่ยงไปขึ้นรูปแบบเยือกแข็ง (Freeze Dry) มาละลาย และนำมาผสมกับสารละลายน้ำโดยใช้ช้อนแล้วนำไปขึ้นรูปแบบเยือกแข็ง (Freeze Dry) ขึ้นรูป โดยมี ปริมาณ 25 มิลลิลิตร ต่อ กล่อง ดังภาพ 3.13



ภาพ 3.13 การเทสารละลายน้ำลงกล่อง

3.2.4 ขึ้นรูปด้วยกระบวนการขึ้นรูปแบบเยือกแข็ง (Freeze Dry)

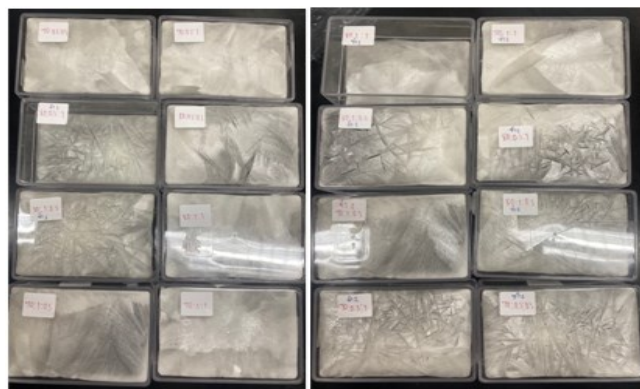
ขึ้นรูปด้วยกระบวนการขึ้นรูปแบบเยือกแข็ง (Freeze Dry) ที่อุณหภูมิ -80 องศาเซลเซียส เป็นเวลา 2 วัน ดังภาพ 3.14



ภาพ 3.14 เครื่องขึ้นรูปแบบเยือกแข็ง (Freeze Dryer)

3.3 ทำการทดลองจริง

ทำการขึ้นรูปชิ้นงานด้วยวิธีการผลิตแบบใหม่ซึ่งทำการทดลองทั้งหมด 16 การทดลอง ดังภาพ 3.15 โดยมีปัจจัยทั้งหมด 3 ปัจจัย ได้แก่ ปริมาณไโคโตซาบ ความเข้มข้นของกรดที่ใช้ละลายน้ำไโคโตซาบ และปริมาณกลูตราล็อกดีไฮด์ ปัจจัยละ 2 ระดับ มีค่าผลตอบ คือ ค่าความแข็งแรง (Tensile Test) และมีการวิเคราะห์ผลทางสถิติด้วยวิธีการทดสอบความแตกต่างของค่ากลางของสองประชากร อิสระ (2-Sample t -Test)

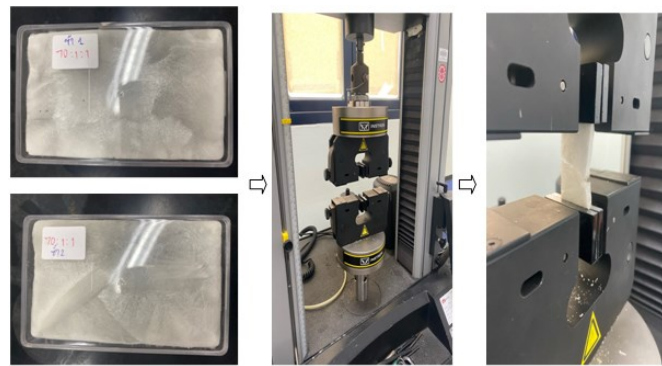


ภาพ 3.15 การขึ้นรูปชิ้นงานด้วยวิธีการผลิตแบบใหม่

3.4 วิเคราะห์คุณสมบัติทางกลและกายภาพ

3.4.1 การทดสอบคุณสมบัติทางกล

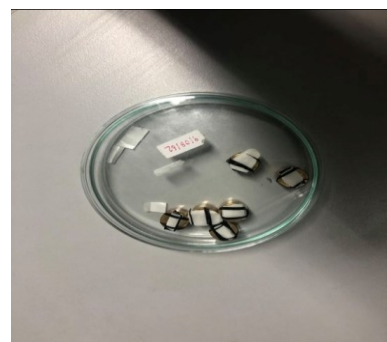
โดยการทดสอบแรงดึงนำชิ้นงานที่ขึ้นรูปแล้วไปทดสอบความแข็งแรงโดยการทดสอบแรงดึง โดยใช้หัวจับแบบลม (Numetic) แรง 0 – 500 นิวตัน ความเร็วในการดึงที่ 0.1 มิลลิเมตรต่อวินาที และมีแรงจับ 10 ปอนด์ โดยมีการตัดชิ้นงานออกเป็น 2 ชิ้น โดยขนาด 3 เซนติเมตร x 9 เซนติเมตร ซึ่งหากตัดชิ้นงานให้มีขนาดเล็กกว่านี้จะทำให้เครื่องไม่สามารถทดสอบความแข็งแรงได้ และ ทำให้ค่าการทดสอบแรงดึงแปรปรวนได้ ดังภาพ 3.16



ภาพ 3.16 เครื่องทดสอบแรงดึง

3.4.2 การทดสอบคุณสมบัติทางกายภาพ

โดยการส่องกล้องจุลทรรศน์นำเข้างานไปตัดเป็นชิ้นขนาด 5 มิลลิเมตร x 5 มิลลิเมตร ดังภาพ 3.17 และนำไปส่องกล้องจุลทรรศน์ (Scanning Electron Microscopy) เป็นกล้องจุลทรรศน์กำลังขยายสูงสุดประมาณ 10 นาโนเมตร ซึ่งภาพที่ได้จากเครื่อง SEM จะเป็นภาพลักษณะของสารมิตร ดังนั้นเครื่อง SEM จึงถูกนำมาใช้ในการศึกษารายละเอียดของลักษณะพื้นผิว ดังภาพ 3.18



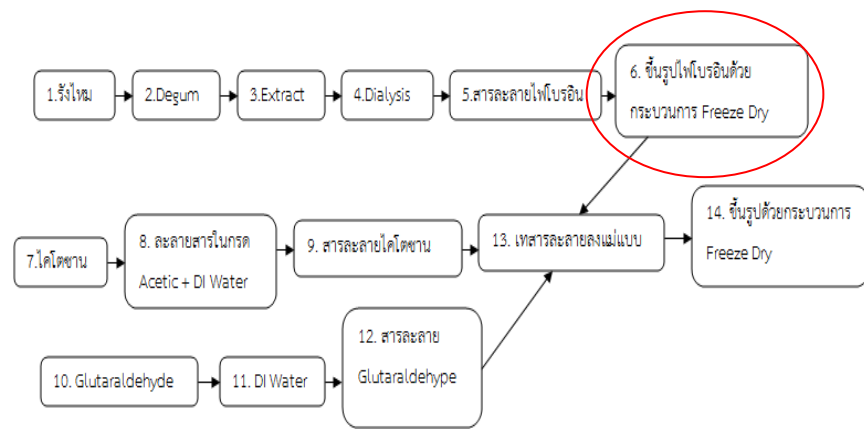
ภาพ 3.17 ชิ้นงานขนาด 5 มิลลิเมตร x 5 มิลลิเมตร



ภาพ 3.18 กล้องจุลทรรศน์ (Scanning Electron Microscope)

3.5 การทดลองแบบเดิม

โดยการนำไฟเบอร์อินที่ได้จากการปั่นห่วงมาขึ้นรูปแบบเยือกแข็ง (Freeze Dry) แล้วนำไปผสมกับสารละลายน้ำตาลและน้ำมันพืชแล้วนำไปขึ้นรูปแบบเยือกแข็ง (Freeze Dry) อีกครั้ง แสดงวิธีการผลิตแบบเดิม ดังภาพ 3.19 ซึ่งการผลิตแบบเดิมจะมีความแตกต่างจากแบบใหม่ที่การทดลองแบบใหม่จะไม่มีการนำไฟเบอร์อินไปเข้ากระบวนการขึ้นรูปแบบเยือกแข็งโดยหลังจากการเตรียมสารละลายน้ำตาลและน้ำมันพืชแล้วนำไปขึ้นรูปแบบเยือกแข็งโดยกระบวนการ Freeze Dry แต่ในแบบเดิมน้ำตาลและน้ำมันพืชจะถูกนำไปใช้ในการทดลอง



ภาพ 3.19 วิธีการผลิตแบบเดิม

3.6 เปรียบเทียบคุณสมบัติทางกลและการภาพระหว่างการผลิตแบบเดิมและแบบใหม่

โดยการดูโครงสร้างจากกล้องจุลทรรศน์ (Scanning Electron Microscopy) และทดสอบความแข็งแรงจากเครื่องทดสอบแรงดึง (Universal Testing Machine) โดยอัตราส่วนการขึ้นรูปแบบใหม่สามารถเปรียบเทียบกับแบบเดิมได้ เนื่องจากการขึ้นรูปแบบใหม่มีการซึ้งน้ำหนักสารโดยปริมาตรซึ่งมีการเทียบบรรยัดได้ร้อยค์ม่าจากการทดลองแบบเดิมซึ่งมีการซึ้งน้ำหนักโดยน้ำหนัก

3.7 สรุปผลการทดลองและการดำเนินงาน

บทที่ 4

ผลการวิจัย

งานวิจัยนี้เป็นการศึกษาปัจจัยที่มีผลต่อความแข็งแรงของแผ่นมาส์กที่ทำจากไคโตซานและไฟเบอร์อินโดยทำการศึกษาการผลิตตั้งแต่กระบวนการแปรรูปจนถึงกระบวนการสุดท้าย โดยวิธีการออกแบบการทดลองแบบแฟคทอเรียลเต็มจำนวน (Full Factorial Design) 2^k เพื่อช่วยในการหาระดับปัจจัยที่เหมาะสมโดยมีขั้นตอนการดำเนินงานวิจัยดังนี้

4.1 ใช้เทคนิคการออกแบบการทดลอง

ผู้วิจัยใช้เทคนิคการออกแบบการทดลองเชิงแฟคทอเรียลแบบเต็มจำนวน 2^k มาช่วยในการคัดกรองปัจจัยที่ส่งผลกระทบต่อความแข็งแรงของแผ่นมาส์ก และหาระดับปัจจัยที่เหมาะสมที่ทำให้แผ่นมาส์กมีความแข็งแรงมากที่สุด โดยการออกแบบการทดลองจะมีขั้นตอนพื้นฐานดังนี้

4.1.1 ทำการเลือกปัจจัยหลังจากการวิเคราะห์ปัจจัยที่น่าจะมีผลต่อความแข็งแรงของแผ่นมาส์กโดยทำการคัดเลือกปัจจัยมา 3 ปัจจัย ที่น่าจะส่งผลต่อความแข็งแรงของแผ่นมาส์ก ก็คือ

- 1) ปริมาณไคโตซาน
- 2) ความเข้มข้นของกรดที่ละลายไคโตซาน
- 3) ปริมาณกลูตราล็อกไซด์

4.1.2 ทำการกำหนดช่วงของปัจจัย

1) ปัจจัยในการทดลองที่ 1 ปริมาณไคโตซาน คือสารโพลีเซคคาไรด์ (Polysaccharide) เป็นสารสกัดที่ได้จากปลาหมึกสามารถดูดซับน้ำได้ดี จึงนิยมนำมาเป็นส่วนประกอบในการผลิตแผ่นมาส์ก ในการขึ้นรูปแผ่นมาส์กจึงกำหนดปริมาณไคโตซานในช่วง 70 และ 90 เปอร์เซ็นต์ ดังภาพ 4.1 และ 4.2 และจากการทดลองเบื้องต้นพบว่าที่ปริมาณไคโตซาน 90

ເປົອຮັ້ນຕໍ່ມືກູພຽນຈຳນວນນຳ ຈຶ່ງໄດ້ກຳທັນດັບປະຈຸຍທີ່ຮະດັບຕໍ່ໄວ້ທີ່ 70 ເປົອຮັ້ນຕໍ່ແລະກຳທັນດັບປະຈຸຍ
ຮະດັບສູງໄວ້ທີ່ 80 ເປົອຮັ້ນຕໍ່



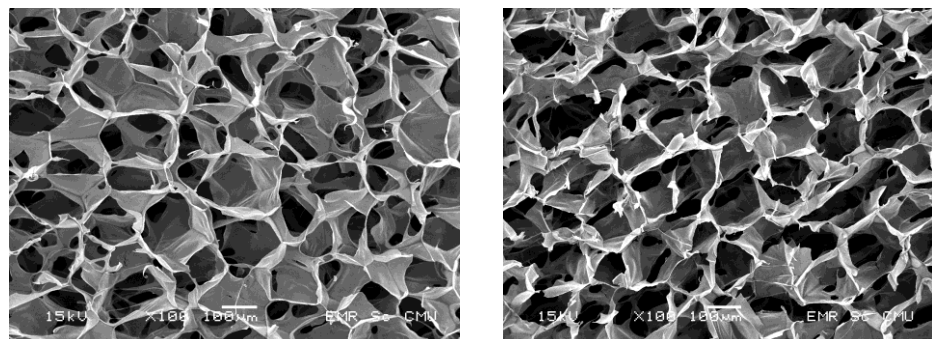
ກາພ 4.1 ກາຣີ້ນຮູບທີ່ມີປະມານໄຄໂຕໜານ 70 ເປົອຮັ້ນຕໍ່



ກາພ 4.2 ກາຣີ້ນຮູບທີ່ມີປະມານໄຄໂຕໜານ 90 ເປົອຮັ້ນຕໍ່

2) ปัจจัยในการทดลองที่สอง ความเข้มข้นของกรดที่ใช้ละลายไคโตไซน์ คือ กรดที่ใช้ละลายไคโตไซน์ที่อยู่ในรูปของแข็งให้อยู่ในรูปสารละลาย โดยปกติควรจะกำหนดความเข้มข้นของกรดไว้ที่ 1 เปอร์เซ็นต์ แต่เนื่องจากความเข้มข้นของกรดมีผลต่อกลิ่นของแผ่นมาส์กและอาจจะมีผลต่อความแข็งแรงของแผ่นมาส์กผู้วิจัยจึงได้กำหนดค่าปัจจัยระดับต่ำไว้ที่ 0.5 เปอร์เซ็นต์ และกำหนดค่าปัจจัยระดับสูงไว้ที่ 1 เปอร์เซ็นต์

3) ปัจจัยในการทดลองที่สาม ปริมาณกลูตารัลดีไฮด์ เป็นสารที่ก่อให้เกิดการเชื่อมโยงที่ก่อให้เกิดการเชื่อมโยงที่เติมลงไปในพอลิเมอร์ผสมเพื่อทำให้เกิดโครงสร้างแบบร่างแห่งภายในแผ่นมาส์กซึ่งมีผลต่อความแข็งแรง จากการทดลองเบื้องต้นมีการผสมกลูตารัลดีไฮด์ (Glutaraldehyde) ในปริมาณ 0.5 เปอร์เซ็นต์ 1 เปอร์เซ็นต์ และ 1.5 เปอร์เซ็นต์ ที่ต่างกันเพื่อดูลักษณะทางกายภาพของชิ้นงาน พบร่วมกันของกลูตารัลดีไฮด์ (Glutaraldehyde) ในปริมาณ 0.5 เปอร์เซ็นต์ มีรูพรุนที่เล็กกว่า 1.5 เปอร์เซ็นต์ ดังภาพ 4.3 ผู้วิจัยจึงกำหนดค่าปัจจัยระดับต่ำไว้ที่ 0.5 เปอร์เซ็นต์ และ กำหนดค่าปัจจัยระดับสูงไว้ที่ 1 เปอร์เซ็นต์



ภาพ 4.3 การเปรียบเทียบระหว่าง 70:1:0.5 กำลังขยาย 100x แบบใหม่ กับ 70:1:1.5 กำลัง 100x แบบใหม่

4.1.3 การกำหนดสัญลักษณ์เงื่อนไขการทดลอง

โดยปกติการกำหนดระดับปัจจัยในการทดลองจะกำหนดโดยใช้ค่าจริง (Actual Values) และค่าแปลง (Code Value) แต่การกำหนดแต่ละแบบมีประโยชน์ และจุดประสงค์ต่างกันแต่รายงานวิจัยนี้จะใช้ค่าแปลง เพราะว่าหมายในการใช้ขั้นตอนการออกแบบการทดลอง เนื่องจากสะดวกในการตรวจสอบความถูกต้อง และคุณสมบัติที่จำเป็นของตารางการออกแบบการทดลองที่ใช้ คือ (-1) และ

(+1) โดยค่าແປລັງ (-1) ໃຫ້ແທນຄ່າຈົງທີ່ຮະດັບຕໍ່ຂອງປັຈຸຍ ແລະ (+1) ໃຫ້ແທນຄ່າຈົງທີ່ຮະດັບສູງຂອງປັຈຸຍ ດັ່ງຕາரຸາງ 4.1

ຕາරຸາງ 4.1 ແສດງຮະດັບຂອງປັຈຸຍທີ່ນໍາຈະມີຜລຕ່ອຄວາມເຂັ້ມແຂງຮອງແຜ່ນມາສັກ

ປັຈຸຍ	ສ້າງລັກຜົນ	ໜ່ວຍ	ຕໍ່ (-1)	ສູງ (+1)
ບຣິມານໂຄໂຕໜານ	A	ເປ່ອຮື້ນຕໍ່	70	80
ຄວາມເຂັ້ມແຂງຂອງກຣດ	B	ເປ່ອຮື້ນຕໍ່	0.5	1
ບຣິມານກຸ່ງຕາຮລິໄຢໍດ	C	ເປ່ອຮື້ນຕໍ່	0.5	1

4.1.4 ຂຶ້ນງານທີ່ໄດ້ຈາກການຂຶ້ນຮູບ ແລະ ການທົດສອບແຮງດຶງ (Tensile Test)

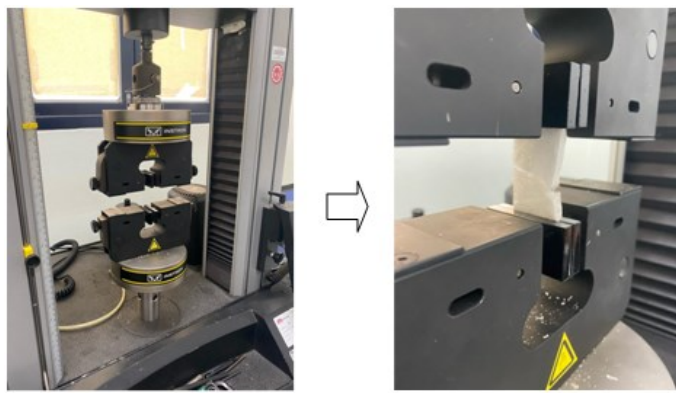
ຂຶ້ນງານທີ່ໄດ້ຈາກການຂຶ້ນຮູບ ດັ່ງກາພ 4.4 ສິ່ງການແສດງລັກຜົນະກາຍນອກຂອງຂຶ້ນງານທີ່ໄດ້ໃນເງື່ອນໄຂ 70:1:1 ມີລັກຜົນະກາຍນອກທີ່ເຮືອຍບ່ອນຍືນ ແລະ ການແສດງລັກຜົນະກາຍນອກຂຶ້ນງານທີ່ໄມ່ໄດ້ໃນເງື່ອນໄຂ 80:0.5:0.5 ສິ່ງມີລັກຜົນະກາຍນອກທີ່ມີຮອຍຂຽວຮ່າມາກຈຶ່ງໝາຍຖື່ນຂຶ້ນງານມີຮູ່ພຽນນາກ ດັ່ງກາພ 4.5 ແລະ ການນຳໄປທົດສອບແຮງດຶງ ດັ່ງກາພ 4.6



ກາພ 4.4 ຂຶ້ນງານທີ່ໄດ້ຈາກການຂຶ້ນຮູບ



ກາພ 4.5 ລັກຜົນະກາຍນອກຂອງຂຶ້ນງານ 70:1:1 ແລະ ລັກຜົນະກາຍນອກຂອງຂຶ້ນງານ 80:0.5:0.5



ภาพ 4.6 การนำไปทดสอบแรงดึง

4.1.5 การเลือกผลตอบ

การเลือกผลตอบของการทดลองทำการเลือกจากเป้าหมายที่ต้องการโดยระดับปัจจัยที่เหมาะสมในการที่จะได้ผลตอบคือ ความแข็งแรงของแผ่นมาส์ก โดยผลตอบของการทดลองนี้ คือ ความแข็งแรงของแผ่นมาส์ก (Maximum Strength)

4.1.6 การเขียนตารางการออกแบบการทดลองพร้อมผลการทดลอง

ตารางการทดลองแสดงดังตาราง 4.2 ที่เขียนขึ้นสำหรับงานวิจัยนี้จะเรียงลำดับตามครรภ์โดยเริ่มจากเงื่อนไขที่ทุกปัจจัยอยู่ในระดับต่ำทั้งหมด (-1) และเงื่อนไขสุดท้ายอยู่ระดับปัจจัยที่ระดับสูงทั้งหมด (+1) แต่เมื่อทำการทดลองจริงจะทำการสุ่มลำดับการทดลองเพื่อลดปัจจัยที่ไม่สามารถควบคุมได้ เช่น เวลาในการทดลอง

ตาราง 4.2 ตารางแสดงข้อมูลการออกแบบการทดลองแบบแฟคทอร์เรียลเติมจำนวน 2³

Std Order	Run Order	ปริมาณไโคโตชาน	ความเข้มข้นของกรด	กลูตารัลดีไฮด์	ค่าเฉลี่ยการทดสอบแรงดึง 2 ชิ้น (กิโลปascals)
16	1	+1	+1	+1	28.514
8	2	+1	+1	+1	28.107
10	3	+1	-1	-1	11.489
6	4	+1	-1	+1	25.170
12	5	+1	+1	-1	19.987
2	6	+1	-1	-1	8.483
7	7	-1	+1	+1	70.030
13	8	-1	-1	+1	34.406

ตาราง 4.2 ตารางแสดงข้อมูลการออกแบบการทดลองแบบแฟคทอเรียลเต็มจำนวน 2³ (ต่อ)

Std Order	Run Order	ปริมาณไโคโตชาณ	ความเข้มข้นของกรด	กลูตารัลตีไฮด์	ค่าเฉลี่ยการทดสอบแรงดึง 2 ชิ้น (กิโลปานาล)
5	9	-1	-1	+1	34.920
11	10	-1	+1	-1	31.655
1	11	-1	-1	-1	51.427
15	12	-1	+1	+1	94.549
3	13	-1	+1	-1	29.081
9	14	-1	-1	-1	60.662
4	15	+1	+1	-1	21.059
14	16	+1	-1	+1	23.293

เมื่อได้ผลการทดลองแล้วต่อไปจะเป็นขั้นตอนการวิเคราะห์ผลการทดลองโดยใช้โปรแกรมมินิแทบ (Minitab V.16) เป็นเครื่องมือช่วยในการวิเคราะห์ขั้นตอนการวิเคราะห์แบบแฟคทอเรียลเต็มจำนวนกรณีทำการทดลองช้ำโดยแบ่งการวิเคราะห์ออกเป็น 8 ขั้นตอน ดังนี้

- 1) ทำการทดสอบผลกระทบว่ามีผลจากการทดลองที่มีปัจจัยหรือมีปัจจัยร่วมใดบ้างที่มีผลต่อการทดลองอย่างมีนัยสำคัญโดยวิเคราะห์จากตารางวิเคราะห์ผลดังตาราง 4.3

ตาราง 4.3 ประมาณค่าผลกระทบและค่าสัมประสิทธิ์

Term	Effect	Coef	SE Coef	T	P
Constant		35.79	1.672	21.40	0.000
A	-30.06	-15.03	1.672	-8.99	0.000
B	9.12	4.56	1.672	2.73	0.026
C	13.12	6.56	1.672	3.92	0.004
A*B	-1.81	-0.91	1.672	-0.54	0.603
A*C	-2.10	-1.05	1.672	-0.63	0.547
B*C	16.69	8.34	1.672	4.99	0.001
A*B*C	-19.92	-9.96	1.672	-5.96	0.000

$$S = 6.68927 \text{ PRESS} = 1431.46$$

$$R - Sq = 95.37\% \quad R - Sq (\text{pred}) = 81.46\% \quad R-Sq (\text{adj}) = 91.31\% \text{ จาก}$$

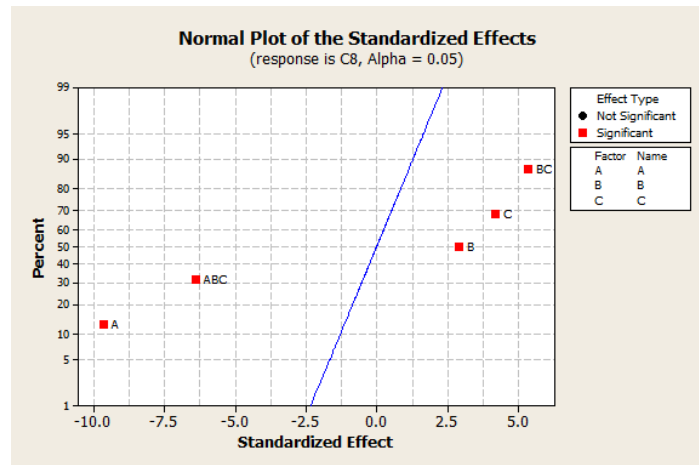
$$H_0 : U_{\text{effect}} = 0 \quad H_1 : U_{\text{effect}} \neq 0$$

R-Sq คือความผันแปรทั้งหมดมีค่าเท่ากับ 95.37 % ซึ่งค่า R - Sq จะมีค่าเพิ่มขึ้น หรือลดลง เมื่อทำการเพิ่มเทอมหรือลดเทอมที่ไม่จำเป็น แต่การที่ค่า R - Sq เพิ่มขึ้นนั้นไม่สามารถพิสูจน์ได้ว่า ดีกว่า ซึ่งวิธีการพิสูจน์นั้นจะใช้วิธีการเปรียบเทียบค่า R-Sq (adj) และ R-Sq (pred) เป็นตัวหาคำตอบ หาก R-Sq (adj) และ R-Sq (pred) มีค่าเพิ่มขึ้นจาก R - Sq (pred) = 81.46% R-Sq (adj) = 91.31% แสดงว่าตัวแปรที่ทำการเพิ่มเข้ามา หรือตัวแปรที่ทำการตัดออกทำให้แบบจำลองมีความหมายสม

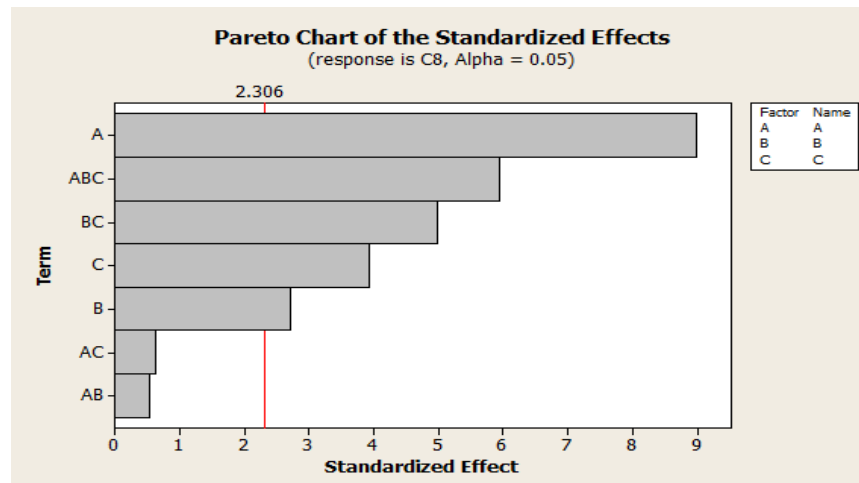
สมมติฐานหลัก คือ ค่าผลกระทบเฉลี่ย (U_{effect}) มีค่าเท่ากับศูนย์ถ้ายอมรับสมมติฐานหลัก แสดงว่าผลกระทบของดังกล่าวไม่มีผลต่อการทดลองอย่างมีนัยสำคัญ และถ้าหากปฏิเสธสมมติฐานหลักแสดงว่ายอมรับสมมติฐานรองปัจจัยนั้นมีผลต่อการทดลองอย่างมีนัยสำคัญ

โดยกำหนดให้มีระดับนัยสำคัญอยู่ที่ 0.05 จากตาราง 4.3 จะสังเกตได้ว่าปัจจัย A B C และ ปัจจัยร่วม B^*C A^*B^*C มีค่า P น้อยกว่า 0.05 หมายความว่าปัจจัย A B C และ ปัจจัยร่วม B^*C และ A^*B^*C มีผลต่อการทดลองอย่างมีนัยสำคัญหรืออาจพิจารณาจากการทดสอบทางสถิติ T_0 ว่ามีค่ามากกว่าค่าที่เปิดจากตารางค่าวิกฤตของการแจกแจงแบบ T หรือไม่ T_0 มากกว่า $t_{\frac{\alpha}{2}, m(n-1)}$

โดย n = จำนวนการทดลองช้ำ m = จำนวนเงื่อนไขการทดลอง α = ระดับนัยสำคัญ (0.05) เมื่อเปิดตารางค่าวิกฤตของการแจกแจงแบบ T หรือ $t_{0.05/2, 16(2-1)}$ พบร่วมค่า T มีค่าเท่ากับ 2.12 ซึ่งมีขนาดน้อยกว่า T หรือ T_0 ที่ได้จากตาราง 4.3 ของปัจจัย A B C และ ปัจจัยร่วม B^*C A^*B^*C ซึ่งสามารถสรุปผลได้ว่าผลกระทบ A B C และ ผลกระทบร่วม B^*C A^*B^*C มีผลต่อการทดลองอย่างมีนัยสำคัญหรืออาจพิจารณาว่าเทอมใดมีนัยสำคัญจากการที่ได้จากการทดสอบทางสถิติ (Minitab) ดังภาพ 4.7 และจะเห็นได้ว่าเทอม A B C B^*C และ A^*B^*C อยู่ห่างจากเส้นตรง และมีสัญลักษณ์สีเหลืองหมายความว่า 5 เทอมนี้มีนัยสำคัญ ดังภาพ 4.8



ภาพ 4.7 Normal Plot



ภาพ 4.8 แผนภูมิพาร์โตที่แสดงปัจจัยที่มีนัยสำคัญ

จากภาพ 4.8 จะเห็นได้ว่าเทอม A B C B*C และ A*B*C มีกราฟแท่งที่มีค่ามากกว่าเส้นนัยสำคัญสามารถสรุปได้ว่าเทอม A B C B*C และ A*B*C มีนัยสำคัญ

2) เขียนแบบจำลอง (Initial Model)

เพื่อแสดงความสัมพันธ์ระหว่างผลกระแทบทลัก และผลกระแทบรวมว่ามีผลตอบของกระบวนการอย่างไรบ้าง โดยแบบจำลองแบบเต็มจำนวนที่ได้จากการทดลองมีดังสมการ 4.1

แบบจำลองแบบเต็มจำนวน (Full Model)

$$\hat{y} = 35.79 - 15.03X_A + 4.56X_B + 6.56X_C - 0.91X_{AB} - 1.05X_{AC} + 8.34X_{BC} - 9.96X_{ABC} \quad (4.1)$$

โดย \hat{y} = ผลตอบที่ทำการแปลงค่าทดสอบแรงดึง (Tensile Test)

X = ตัวแปรอิสระที่สามารถปรับค่าได้ (-1,+1)

3) วิเคราะห์ความแปรปรวนสำหรับการทดลองแบบแฟคทอเรียลเต็มจำนวน ดัง

ตาราง 4.4

ตาราง 4.4 ตารางการวิเคราะห์ความแปรปรวนของทุกพจน์

Source	DF	Seq SS	Adj SS	Adj MS	F	P
Main Effects	3	4634.85	4634.85	1544.95	34.53	0.000
A	1	3613.54	3613.54	3613.54	80.76	0.000
B	1	332.65	332.65	332.65	7.43	0.026
C	1	688.66	688.66	688.66	15.39	0.004
2-Way Interactions	3	1144.95	1144.95	381.65	8.53	0.007
A*B	1	13.12	13.12	13.12	0.29	0.603
A*C	1	17.72	17.72	17.72	0.40	0.547
B*C	1	1114.11	1114.11	1114.11	24.90	0.001
3-Way Interactions	1	1586.93	1586.93	1586.93	35.46	0.000
A*B*C	1	1586.93	1586.93	1586.93	35.46	0.000
Residual Error	8	357.97	357.97	44.75		
Pure Error	8	357.97	357.97	44.75		
Total	15	7724.70				

โดยการวิเคราะห์ความแปรปรวนนี้จะช่วยตัดสินว่าผลกระทบจากปัจจัยหรือปัจจัยร่วมใดมีผลต่อการทดลองอย่างมีนัยสำคัญและผลกระทบใดบ้างที่ควรอยู่ในแบบจำลอง จากตาราง 4.4 พบว่าค่า Seq SS หรือ ความแปรปรวนทั้งหมดของปัจจัย A B C B*C และ ปัจจัยร่วม A*B*C มีค่ามากเมื่อเทียบกับปัจจัยร่วม A*B และ A*C และมีเพียง 2 เทอมนี้เท่านั้นที่มีค่า P มากกว่า 0.05 แต่

จากปัจจัยหลัก A B C มีผลกับการทดลองจึงไม่สามารถตัดเทอม A*B และ A*C ออกได้ตามทฤษฎี ลำดับขั้น

4) เรียนแบบจำลองที่แก้ไข (Refine Model)

โดยแบบจำลองนี้จะรวมเฉพาะเทอมที่มีนัยสำคัญ และตัดเทอมที่ไม่จำเป็นออก เพื่อให้แบบจำลองมีความกะทัดรัด และไม่ซ้ำซ้อนเกินไป แต่จากปัจจัยหลัก A B C มีผลกับการทดลองจึงไม่สามารถตัดเทอม A*B และ A*C ออกได้ตามทฤษฎี ลำดับขั้นจึงทำให้สมการเหมือนกับสมการแบบจำลองเดิมจำนวน ซึ่งใช้คำนวณผลการทดลองโดยแสดงแบบจำลองดังสมการ 4.2

$$\hat{y} = 35.79 - 15.03X_A + 4.56X_B + 6.56X_C - 0.91X_{AB} - 1.05X_{AC} + 8.34X_{BC} - 9.96X_{ABC} \quad (4.2)$$

โดย \hat{y} = ผลตอบที่ทำการแปลงค่าทดสอบแรงดึง (Tensile Test)

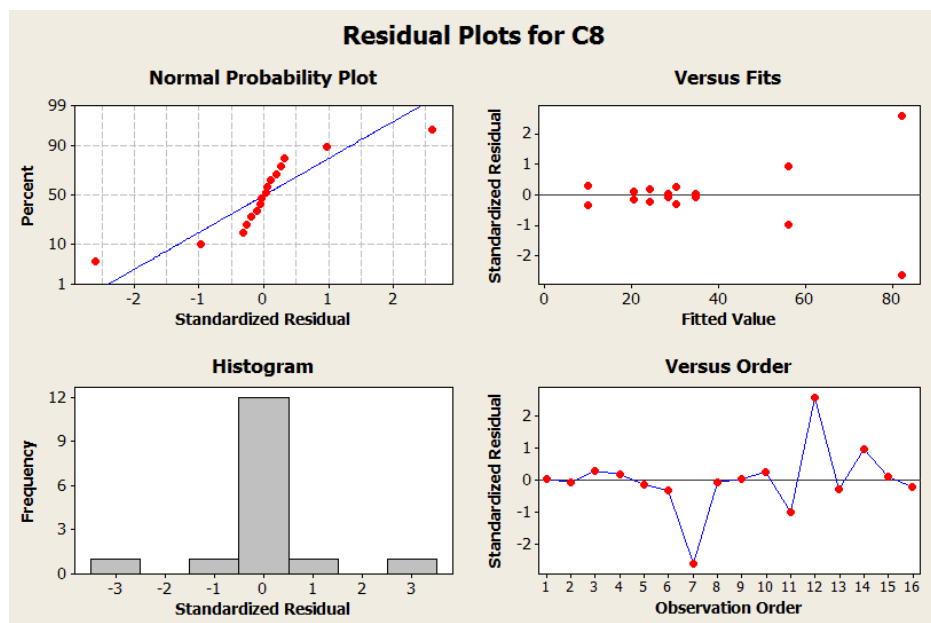
X = ตัวแปรอิสระที่สามารถปรับค่าได้ (-1,+1)

5) ทำการตรวจสอบความเหมาะสมของแบบจำลอง (Appropriateness)

ตรวจสอบความเหมาะสมของแบบจำลองเนื่องจากแบบจำลองที่ได้ทำการคาดการณ์ไว้อาจไม่สอดคล้องกับข้อมูลผลการทดลองส่งผลให้แบบจำลองไม่สามารถนำไปใช้ได้ เพราะอาจก่อให้เกิดความผิดพลาด และไม่สอดคล้องกับพฤติกรรมที่แท้จริงโดยพิจารณาจากค่าสัมประสิทธิ์ของการตัดสินใจ หรือ R – squared (Coefficient of Correlation) หรือ R-squared (adj)

6) ทำการตรวจสอบความพอเพียง (Model Adequacy Checking)

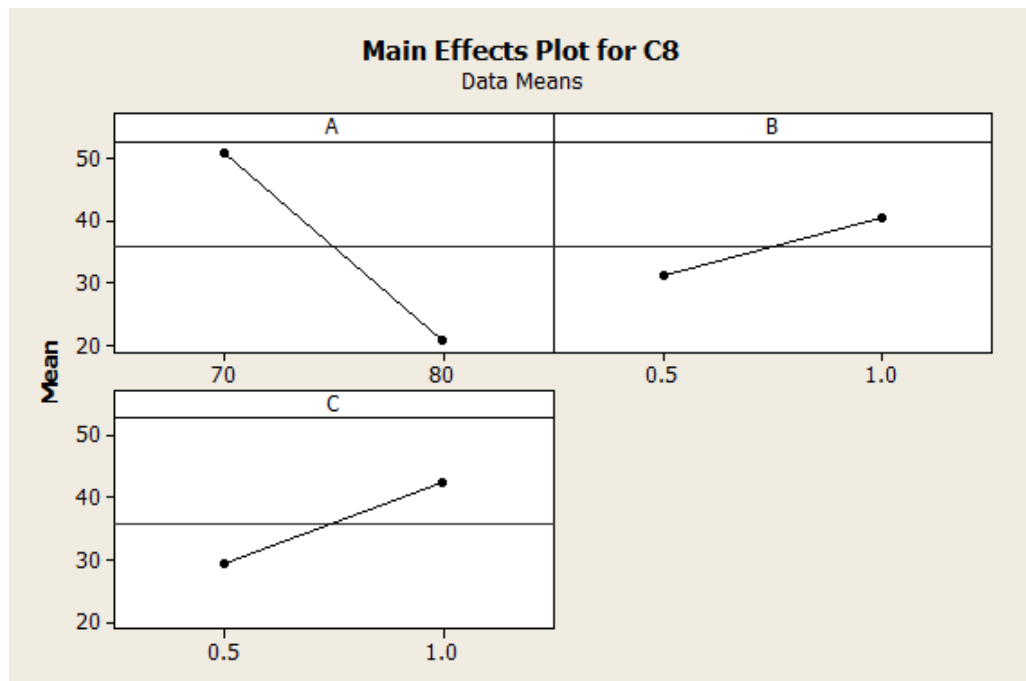
โดยทำการตรวจสอบความพอเพียงแบบจำลองโดยวิธีวิเคราะห์ส่วนค้าง (Residual Analysis) เพื่อตรวจสอบข้อกำหนดเบื้องต้นของคุณสมบัติของความแปรปรวนแบบจำลอง ดังภาพ 4.8 เมื่อเราได้สมการแบบจำลองที่มีความเหมาะสมแล้วจะทำการตรวจสอบคุณสมบัติว่าสมการแบบจำลองมีความพอเพียงหรือไม่โดยพิจารณาค่าส่วนค้าง จากราฟ 4.9 สามารถวิเคราะห์คุณสมบัติได้ดังนี้



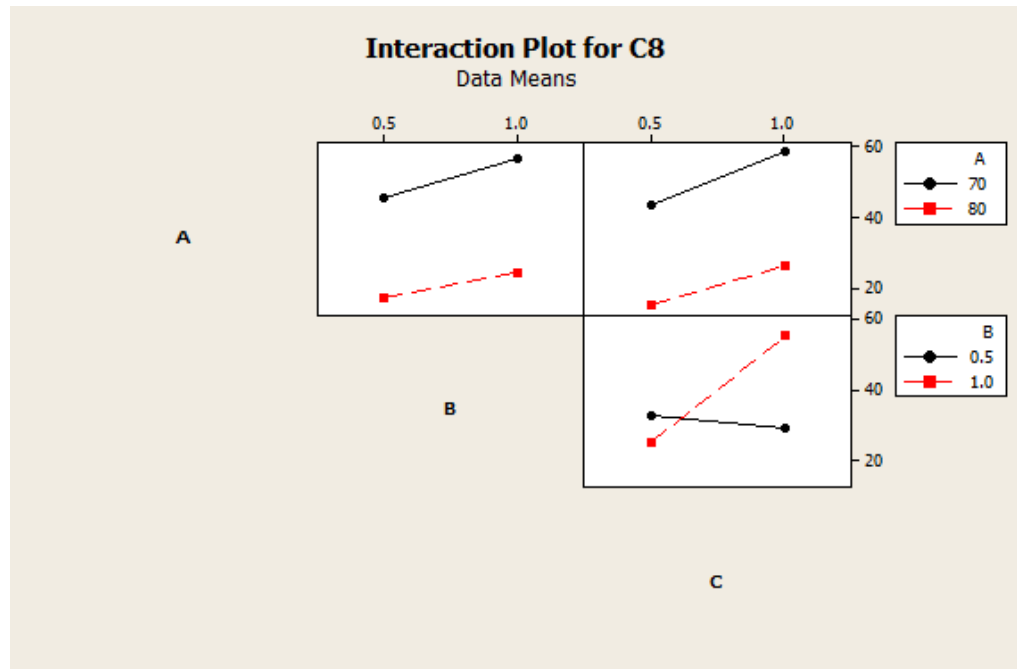
ภาพ 4.9 ภาพแสดงการวิเคราะห์ส่วนค้างของผลตอบการทดลอง

- 1) วิเคราะห์กราฟแบบปกติของส่วนค้างจากการ (Normal Probability) ข้อมูลส่วนค้างส่วนใหญ่มีการกระจายตัวอยู่ใกล้เส้นแกนกำหนด (Imaginary Line) ของกราฟปกติ และมีข้อมูลส่วนค้างที่เห็นได้ชัดเจนว่าออกนอกเส้นเพียง 1 จุด จึงสามารถสรุปได้ว่าข้อมูลส่วนค้างมีการแจกแจงแบบปกติ
- 2) วิเคราะห์กราฟส่วนค้างค่าทำนาย (Fitted Values) จากกราฟ (Versus Fits) จะเห็นได้ว่าข้อมูลส่วนค้างมีการกระจายตัวแบบสุ่มเป็นอิสระไม่มีรูปแบบหรือแนวโน้มใดๆ ที่ขึ้นค่าทำนายที่เกี่ยวข้องกับการทดลองสามารถสรุปได้ว่า ข้อมูลส่วนค้างมีความสม่ำเสมอของความผันแปรตลอดช่วงของปัจจัย
- 3) วิเคราะห์กราฟส่วนค้างกับเวลาหรือลำดับการทดลอง (Run Orders) จากกราฟ (Versus Order) ข้อมูลส่วนค้างมีการแกว่งขึ้นลงไม่มีรูปแบบหรือแนวโน้มใดๆ จึงสามารถสรุปได้ว่า ข้อมูลส่วนค้างมีความเป็นอิสระต่อกัน ไม่ขึ้นอยู่กับลำดับการทดลอง เมื่อข้อมูลส่วนค้างมีคุณสมบัติครบถ้วนแล้ว จึงสามารถสรุปได้ว่าแบบจำลองมีความพอดีกับข้อมูลที่ได้ใช้

4) แปลผล และหาเงื่อนไขที่เหมาะสมที่สุด ดังภาพ 4.10 และ 4.11



ภาพ 4.10 Main Effect Plot



ภาพ 4.11 Interaction Plot

จากการ 4.10 จะเห็นได้ว่า ปัจจัย A B C นั้นมีนัยสำคัญอย่างที่ได้กล่าวไว้ในก่อนหน้านี้แล้ว ดังนั้นสามารถเลือกระดับปัจจัย A ที่ระดับต่ำ (-1) ส่วนปัจจัย B และ C สามารถเลือกระดับปัจจัยที่ระดับสูง (+1) เพื่อจะทำให้ผลตอบค่าสูง และนำไปสู่การตั้งเงื่อนไขที่เหมาะสม

จากการ 4.11 จะเห็นได้ว่าปัจจัยร่วม B^*C และ A^*B^*C นั้นมีนัยสำคัญจึงทำการพิจารณาหา เงื่อนไขการตั้งค่าที่เหมาะสมที่สุดโดยเลือกจุด ที่ให้ผลตอบสูงที่สุดซึ่งการตั้งค่าที่ให้ผลตอบที่สูงที่สุด ควรตั้ง ปัจจัย B และ C ไว้ที่ระดับสูง (+1) หรืออาจทำการหาเงื่อนไขที่ดีที่สุดจากสมการที่แก้ไขแล้ว ดังสมการ

ถ้าหากตั้งปัจจัย B และ C ไว้ที่ระดับสูง (+1) จะให้ค่าผลตอบที่มากที่สุดที่แบบจำลองนี้ สามารถทำได้ ดังนั้นระดับที่เหมาะสมของ การทดลอง แสดงดังตาราง 4.5

ตาราง 4.5 ระดับที่เหมาะสมของ การทดลอง

สัญลักษณ์	ปัจจัย	ระดับที่เหมาะสม
ปัจจัย A	ปริมาณไโคโตชาน	70 เปอร์เซ็นต์
ปัจจัย B	ความเข้มข้นของกรด	1 เปอร์เซ็นต์
ปัจจัย C	ปริมาณกลูตราลีไฮด์	1 เปอร์เซ็นต์

5) ขั้นตอนการทดลองยืนยันผลของระดับปัจจัยที่เหมาะสมจากการทดลอง

4.2 การเปรียบเทียบคุณสมบัติทางกายภาพการผลิตแบบใหม่

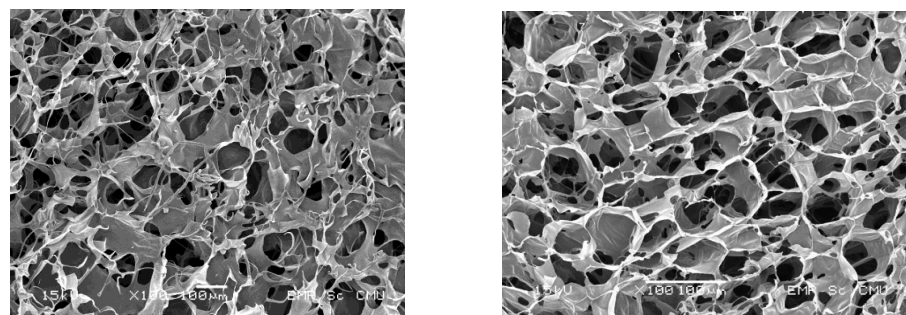
หลังจากทำการทดลองขั้น 2 ขั้น และนำภาพที่ได้มาในแต่ละเงื่อนไข (Condition) เพื่อยืนยัน ผลการทดลองเพื่อเป็นการยืนยันว่า ระดับปัจจัยนั้นมีความน่าเชื่อถือ จึงนำระดับปัจจัยที่ดีที่สุดไปทำการทดลองแบบเดิม

การเปรียบเทียบคุณสมบัติทางกายภาพที่อัตราส่วนไโคโตชานที่ต่างกัน ปริมาณกรดที่ต่างกัน และปริมาณกลูตราลีไฮด์ที่ต่างกัน ดังตาราง 4.6

ตาราง 4.6 ตารางการเปรียบเทียบคุณสมบัติทางกายภาพแบบใหม่

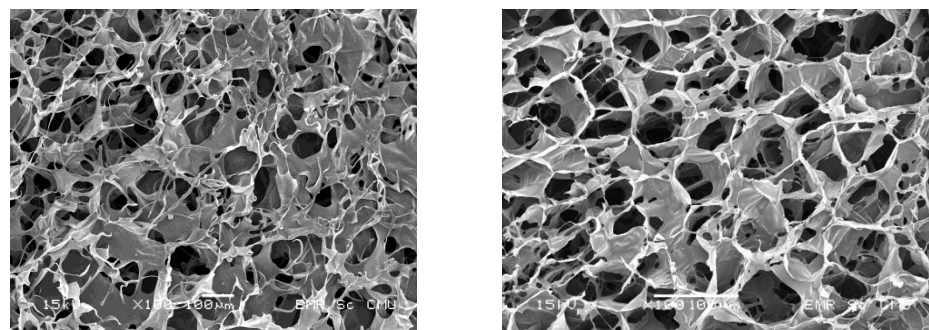
การเปรียบเทียบคุณสมบัติทางกายภาพการทดลองแบบใหม่ในอัตราส่วนที่ต่างกัน		
ที่ปริมาณโคโตชาณต่างกัน	70:1:1	80:1:1
ที่ปริมาณกรดต่างกัน	70:1:1	70:0.5:1
ที่ปริมาณกลูตารัลไดไฮเดรตต่างกัน	70:1:1	70:1:0.5

4.2.1 การเปรียบเทียบคุณสมบัติทางกายภาพที่อัตราส่วนโคโตชาณต่างกันระหว่างการผลิตแบบใหม่ในอัตราส่วน 70:1:1 กับ อัตราส่วน 80:1:1 จากการวิเคราะห์พบว่าที่ปริมาณโคโตชาณ 70 เปอร์เซ็นต์ ชิ้นงานมีรูพรุนที่เล็กกว่าที่ปริมาณโคโตชาณ 80 เปอร์เซ็นต์ ซึ่งหมายถึงชิ้นงานที่อัตราส่วน 70:1:1 มีความแข็งแรงมากกว่า ดังภาพ 4.12



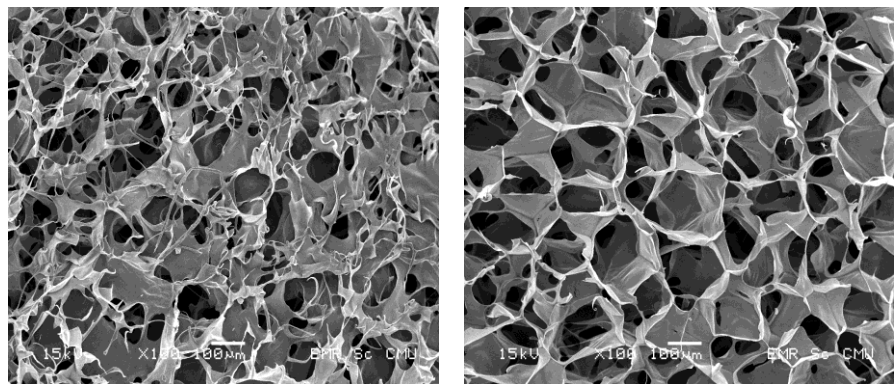
ภาพ 4.12 การเปรียบเทียบระหว่าง 70:1:1 กำลังขยาย 100x กับ 80:1:1 กำลังขยาย 100x

4.2.2 การเปรียบเทียบคุณสมบัติทางกายภาพการผลิตแบบใหม่ที่อัตราส่วนกรดต่างกันในอัตราส่วน 70:1:1 กับ 70:0.5:1 พบร่วมกับที่ปริมาณกรด 1 เปอร์เซ็นต์ชิ้นงานมีรูพรุนที่เล็กกว่าที่ปริมาณกรด 0.5 เปอร์เซ็นต์ ซึ่งหมายถึงชิ้นงานที่อัตราส่วน 70:1:1 มีความแข็งแรงมากกว่า ดังภาพ 4.13



ภาพ 4.13 การเปรียบเทียบระหว่าง 70:1:1 กำลังขยาย 100x กับ 70:0.5:1 กำลังขยาย 100x

4.2.3 การเปรียบเทียบคุณสมบัติทางกายภาพการผลิตแบบใหม่ที่อัตราส่วนกลูตราลดีไฮด์ต่างกันในอัตราส่วน 70:1:1 กับ 70:1:0.5 พบว่าที่ปริมาณกลูตราลดีไฮด์ 1 เปอร์เซ็นต์ซึ่งงานมีรูพรุนที่เล็กกว่าที่ปริมาณกลูตราลดีไฮด์ 0.5 เปอร์เซ็นต์ซึ่งหมายถึงซึ่งงานที่อัตราส่วน 70:1:1 มีความแข็งแรงมากกว่า ดังภาพ 4.14



ภาพ 4.14 การเปรียบเทียบระหว่าง 70:1:1 กำลังขยาย 100x กับ 70:1:0.5 กำลังขยาย 100x

จากการวิเคราะห์คุณสมบัติทางกายภาพที่ปริมาณโคโตชานต่างกัน ความเข้มข้นกรดต่างกัน และปริมาณกลูตราลดีไฮด์ที่ต่างกันเพื่อเป็นการยืนยันผลการทดลองพบว่าเงื่อนไข (Condition) 70:1:1 มีรูพรุนที่มีขนาดเล็กที่สุดซึ่งสามารถสรุปได้ว่าแผ่นมาส์กในเงื่อนไขนี้มีความแข็งแรงมากที่สุด

4.3 การเปรียบเทียบคุณสมบัติทางกลการผลิตแบบใหม่

การแสดงค่าเฉลี่ยการทดสอบแรงดึงการผลิตแบบใหม่ ซึ่งเงื่อนไขที่มีความแข็งแรงมากที่สุดคือ ปริมาณโคโตชาน 70 เปอร์เซ็นต์ ความเข้มข้นของกรด 1 เปอร์เซ็นต์ และ ปริมาณกลูตราลดีไฮด์ (Glutaraldehyde) 1 เปอร์เซ็นต์ ดังตาราง 4.7

ตาราง 4.7 ตารางแสดงการทดสอบแรงดึงการผลิตแบบใหม่

ลำดับที่	อัตราส่วน	ค่าเฉลี่ยการทดสอบแรงดึง 2 ชั้น (กิโลปอนด์)
1	80:1:1	28.514
2	80:1:1	28.107

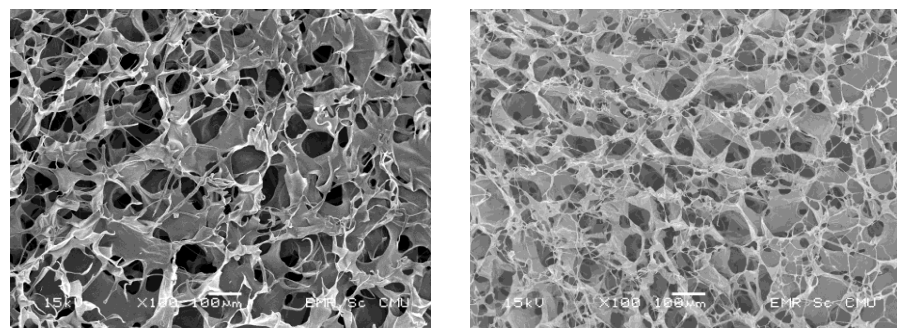
ตาราง 4.7 ตารางแสดงการทดสอบแรงดึงผลิตแบบใหม่(ต่อ)

ลำดับที่	อัตราส่วน	ค่าเฉลี่ยการทดสอบแรงดึง 2 ชิ้น (กิโลปอนด์)
3	80:0.5:0.5	11.489
4	80:0.5:1	25.170
5	80:1:0.5	19.987
6	80:0.5:0.5	8.483
7	70:1:1	70.030
8	70:0.5:1	34.406
9	70:0.5:1	34.920
10	70:1:0.5	31.655
11	70:0.5:0.5	51.427
12	70:1:1	94.549
13	70:1:0.5	29.081
14	70:0.5:0.5	60.662
15	80:1:0.5	21.059
16	80:0.5:1	23.293

จากการเปรียบเทียบการทดสอบแรงดึงจากทุกเงื่อนไข (Condition) พบว่าค่าทดสอบแรงดึง (Maximum Strength) ของเงื่อนไข (Condition) 70:1:1 มีความแข็งแรงมากที่สุดซึ่งสอดคล้องกับ ความแข็งแรงทางกายภาพซึ่งได้นำเงื่อนไข (Condition) 70:1:1 มาทำการผลิตแบบเดิมว่าคุณสมบัติ ทางกล และคุณสมบัติทางกายภาพแตกต่างกับการผลิตแบบใหม่หรือไม่

4.4 การเปรียบเทียบคุณสมบัติทางกล และ ทางกายภาพระหว่างการผลิตแบบใหม่กับแบบเดิม

4.4.1 การเปรียบเทียบคุณสมบัติทางกายภาพระหว่างการผลิตแบบใหม่กับแบบเดิมที่ อัตราส่วนเดียวกันในอัตราส่วน 70:1:1 กับ 70:1:1 ดังภาพ 4.15 และการเปรียบเทียบค่าเฉลี่ย คุณสมบัติทางกลระหว่างการผลิตแบบเดิม และแบบใหม่ ดังตาราง 4.9 และ ตาราง 4.10 ซึ่งเป็นการ เปรียบเทียบว่าทั้งการผลิตแบบเดิมกับแบบใหม่มีว่าข้อแตกต่างกันหรือไม่



ภาพ 4.15 การเปรียบเทียบระหว่าง 70:1:1 กำลังขยาย 100x แบบใหม่ กับ 70:1:1 กำลังขยาย 100x แบบเดิม

ตาราง 4.8 ค่าเฉลี่ยการทดสอบคุณสมบัติทางกลการผลิตแบบเดิม

การผลิต	อัตราส่วน	ค่าการทดสอบแรงดึง ชั้นที่ 1 (กิโลปascala)	ค่าการทดสอบแรงดึง ชั้นที่ 2 (กิโลปascala)	ค่าเฉลี่ยการ ทดสอบแรงดึง
การผลิตแบบเดิม	70:1:1	96.328	88.404	92.366

ตาราง 4.9 ค่าเฉลี่ยการทดสอบคุณสมบัติทางกลการผลิตแบบใหม่

การผลิต	อัตราส่วน	ค่าการทดสอบแรงดึง ชั้นที่ 1 (กิโลปascala)	ค่าการทดสอบแรงดึง ชั้นที่ 2 (กิโลปascala)	ค่าเฉลี่ยการ ทดสอบแรงดึง
การผลิตแบบใหม่	70:1:1	70.030	94.549	82.289

4.4.2 การทดสอบสมมติฐานเพื่อเปรียบเทียบคุณสมบัติทางกลระหว่างการผลิตแบบเดิม และแบบใหม่ ดังภาพ 4.16

Two-Sample T-Test and CI

Sample	N	Mean	StDev	SE Mean
1	4	82.3	15.5	7.8
2	2	92.37	5.60	4.0

```

Difference = mu (1) - mu (2)
Estimate for difference: -10.08
95% CI for difference: (-37.79, 17.63)
T-Test of difference = 0 (vs not =): T-Value = -1.16 P-Value = 0.331 DF = 3

```

ภาพ 4.16 การทดสอบสมมติฐานทางสถิติ

จากการวิเคราะห์คุณสมบัติทางกายภาพพบว่าเงื่อนไข (Condition) 70:1:1 การผลิตแบบใหม่มีรูปนที่ไม่ใกล้เคียงกับการผลิตแบบเดิมซึ่งบ่งบอกถึงความแข็งแรงของชิ้นงานที่ใกล้เคียงกัน และการวิเคราะห์คุณสมบัติทางกลพบร่วมกัน (Condition) 70:1:1 การผลิตแบบใหม่มีค่าแรงดึงสูงสุด (Maximum Strength) ข้อที่ 1 เท่ากับ 70.030 กิโลปascal และ ข้อที่ 2 เท่ากับ 94.549 กิโลปascal ซึ่งมีค่าเฉลี่ยเท่ากับ 82.289 กิโลปascal และค่าส่วนเบี่ยงเบนมาตรฐานเท่ากับ 15.5 เปรียบเทียบกับการผลิตแบบเดิมมีค่าแรงดึงสูงสุด (Maximum Strength) ชิ้นแรกเท่ากับ 96.328 กิโลปascal และชิ้นที่สองเท่ากับ 88.404 กิโลปascal ซึ่งมีค่าเฉลี่ยเท่ากับ 92.366 กิโลปascal และค่าส่วนเบี่ยงเบนมาตรฐานเท่ากับ 5.6 ซึ่งการผลิตแบบเดิม และการผลิตแบบใหม่มีค่าแรงดึงสูงสุด (Maximum Strength) ใกล้เคียงกัน และจากการวิเคราะห์ผลการทดสอบสมมติฐานทางสถิติ เพื่อทดสอบค่าความแตกต่างพบว่า ค่า P-Value มีค่าเท่ากับ 0.331 ซึ่งมีค่ามากกว่า 0.05 แสดงถึงว่า ค่าแรงดึงสูงสุด (Maximum Strength) ของการผลิตทั้งสองแบบไม่มีความแตกต่างกัน

บทที่ 5

สรุปผลและข้อเสนอแนะ

การจัดทำโครงการวิจัยนี้เกี่ยวข้องกับปัจจัยที่มีผลต่อความแข็งแรงของแผ่นมาส์กหน้าที่ทำจากไคโตซานและไฟเบอร์อินเริ่มต้นจากการศึกษาขั้นตอนการทำเบื้องต้น และเก็บข้อมูลคุณสมบัติของไฟเบอร์อิน และศึกษาขั้นตอนการทำเบื้องต้น และเก็บข้อมูลคุณสมบัติของไคโตซานจากนั้นทำการเขียนสรุปผลกระบวนการออกแบบเป็นผังกระบวนการ (Process Chart) ให้ง่ายต่อความเข้าใจจากนั้นนำข้อมูลในอดีตมาทำการศึกษา และทำการเลือกปัจจัยที่อาจจะมีผลต่อความแข็งแรงของแผ่นมาส์ก

เมื่อทำการเลือกปัจจัยที่อาจจะมีผลต่อความแข็งแรงแล้วจึงทำการใช้เทคนิคการออกแบบการทดลอง (Design of Experiment) เชิงแฟคทอร์เรียลเติมจำนวน 2³ มาช่วยในการประเมินปัจจัยที่ส่งผลต่อความแข็งแรง และการหาระดับปัจจัยที่เหมาะสมนั้นเริ่มต้นจากการคัดเลือกปัจจัยที่น่าจะส่งผลในกระบวนการ โดยเลือกปัจจัยมาทั้งหมด 3 ปัจจัย คือ A = ปริมาณไคโตซาน B = ความเข้มข้นของกรด C = ปริมาณกลูตราแรลดีไฮด์

จากการวิเคราะห์ปัจจัยหลักที่มีผลต่อความแข็งแรงพบว่าปัจจัย A B C B*C A*B*C มีผลต่อความแข็งแรงอย่างมีนัยสำคัญ และปัจจัย A*B และ A*C มีผลต่อความแข็งแรงอย่างไม่มีนัยสำคัญ และ ปัจจัย A B C นั้นมีนัยสำคัญอย่างที่ได้กล่าวไว้ในก่อนหน้านี้แล้วดังนั้นสามารถเลือกระดับปัจจัย A ที่ระดับต่ำ (-1) ส่วนปัจจัย B และ C สามารถเลือกระดับปัจจัยที่ระดับสูง (+1) เพื่อจะทำให้ผลตอบค่าสูง และปัจจัยร่วม B*C และ A*B*C นั้นมีนัยสำคัญจึงทำการพิจารณาหาเงื่อนไขการตั้งค่าที่เหมาะสมที่สุดโดยเลือกจุด ที่ให้ผลตอบสูงที่สุดซึ่งการตั้งค่าที่ให้ผลตอบที่สูงที่สุดควรตั้ง ปัจจัย B และ C ไว้ที่ระดับสูง (+1) ซึ่งเป็นระดับปัจจัยที่ดีที่สุดที่มีผลต่อความแข็งแรง ดังนั้นจึงกำหนดปริมาณไคโตซานอยู่ที่ 70 เปอร์เซ็นต์ ความเข้มข้นของกรดอยู่ที่ 1 เปอร์เซ็นต์ และ ปริมาณกลูตราแรลดีไฮด์ อยู่ที่ 1

เปอร์เซ็นต์ หลังจากนั้นทำการทดลองเพื่อเปรียบเทียบคุณสมบัติทางกล ระหว่างการผลิตแผ่นมาส์กแบบเดิมและแบบใหม่ จากการวิเคราะห์คุณสมบัติทางกลพบว่าเงื่อนไข (Condition) 70:1:1 การผลิตแบบใหม่มีค่าแรงดึงสูงสุด (Maximum Strength) ช้าที่ 1 เท่ากับ 70.030 กิโลปascal และ ช้าที่ 2 เท่ากับ 94.549 กิโลปascal ซึ่งมีค่าเฉลี่ยเท่ากับ 82.289 กิโลปascal เปรียบเทียบกับการผลิตแบบเดิมมีค่าแรงดึงสูงสุด (Maximum Strength) ขึ้นแรกเท่ากับ 96.328 กิโลปascal และขึ้นที่สองเท่ากับ 88.404 กิโลปascal ซึ่งมีค่าเฉลี่ยเท่ากับ 92.366 กิโลปascal พบว่าค่าแรงดึงสูงสุด (Maximum Strength) การผลิตแบบเดิม และการผลิตแบบใหม่มีค่าค่าแรงดึงสูงสุด (Maximum Strength) ใกล้เคียงกัน และจากการเปรียบเทียบคุณสมบัติทางกายภาพระหว่างการผลิตแบบใหม่และแบบเดิมมีขานดรูรุนท์ใกล้เคียงกัน แต่การผลิตแบบใหม่สามารถลดเวลาการขึ้นรูปแบบเบื้องต้นได้ 2 วัน ซึ่งสามารถลดเวลาในกระบวนการขึ้นรูปไฟเบอร์อินแผ่นมาส์ก สมบูรณ์

5.1 ปัญหาและอุปสรรคในการทำวิจัย

- 1) ระยะเวลาในการเตรียมไฟเบอร์อินใช้เวลานาน
- 2) ขนาดของడิโটชานมีผลกระทบอย่างมาก
- 3) การเทส่วนผสมที่มีปริมาณมากเกินไปลงแม่แบบส่งผลต่อการขึ้นรูปทำให้ชิ้นงานไม่สมบูรณ์
- 4) มีการทดลองเทส่วนผสมในปริมาณที่มากเกินไปส่งผลให้ชิ้นงานไม่สมบูรณ์ และทำให้การวิเคราะห์ทางกล และกายภาพล่าช้ากว่าเวลาที่กำหนดไว้

5.2 ข้อเสนอแนะ

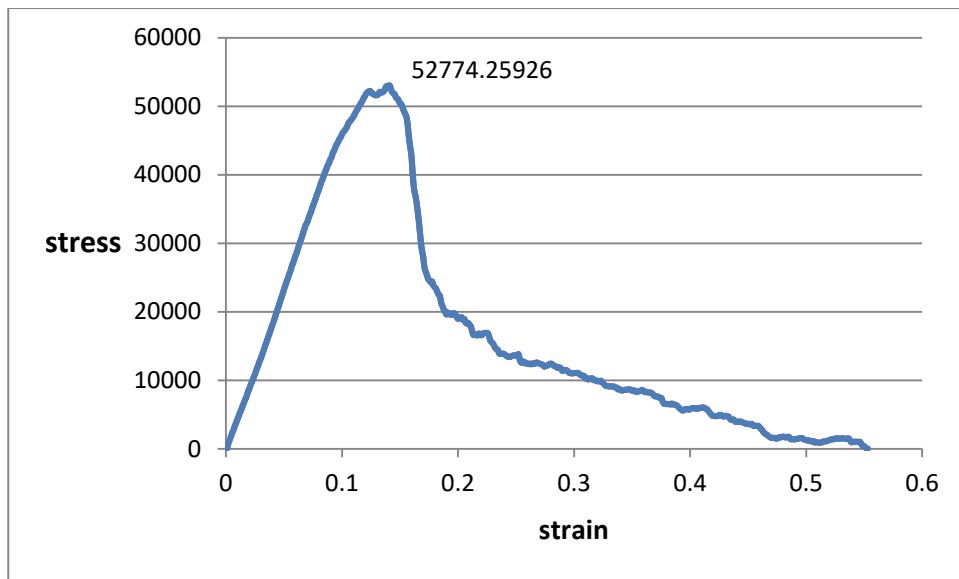
- 1) ควรเตรียมไฟเบอร์อินไว้ในปริมาณที่เหมาะสมให้เพียงพอต่อการใช้งานเนื่องจากการสกัดไฟเบอร์อินใช้เวลานาน ซึ่งทำให้การทดลองเกิดการล่าช้า
- 2) ในขั้นตอนการผสมสารละลายทั้งหมดควรใช้แท่งแม่เหล็กวนสาร (Magnetic Bar) เพื่อให้สารละลายกระจายตัวคงที่
- 3) ระดับปัจจัยที่ได้จากการทดลองนี้ในกรณีศึกษาการทดลองอาจไม่เหมาะสม เพราะความแตกต่างในด้านต่างๆ เช่น ปัจจัยในการผลิต สภาพแวดล้อม เป็นต้น

บรรณานุกรม

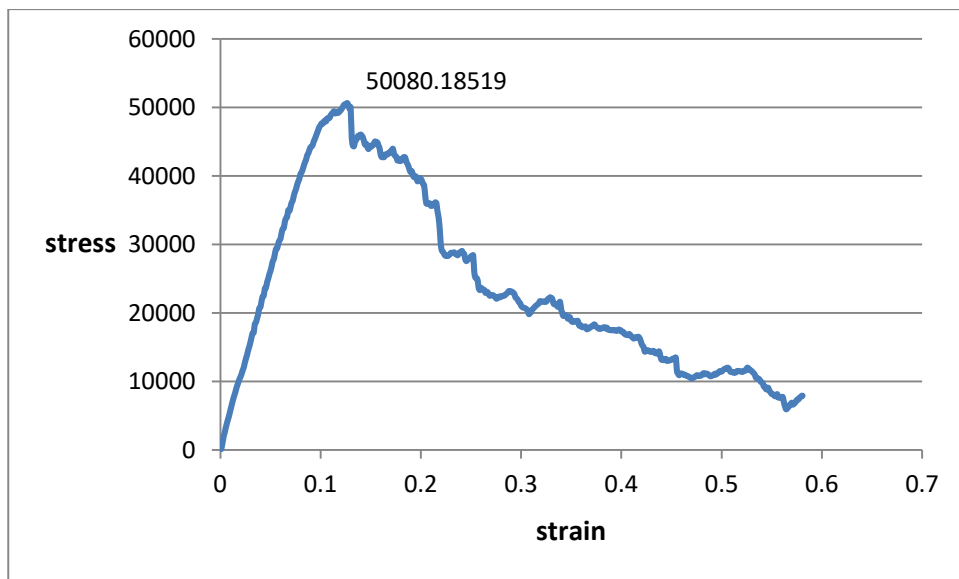
- กัญญาภร ทุนประเสริฐ และชุติภา ยอดแก้ว. (2560). การหาอัตราส่วนที่เหมาะสมของแผ่นมาสก์หน้าจากไฟโบรอิน ไคโตซาน และเซลลูโลส , หน้า 45 (1 กันยายน 2562) จุฬาวิทยานุกรม. “ไฟโบรอิน” [ระบบออนไลน์]. แหล่งที่มา <http://www.chulapedia.chula.ac.th/> (1 กันยายน 2562)
- ผลสัน นกน่วม. “ไคโตซานคืออะไร” [ระบบออนไลน์]. แหล่งที่มา <https://www.mangozero.com> (3 กันยายน 2562)
- รัตนารุจิวนิชย์. “การเตรียมและการศึกษาคุณสมบัติของไฮโดรเจลที่เตรียมจากอนุพันธ์ของไคตินและโปรตีนจากเส้นใยไหม” [ระบบออนไลน์]. แหล่งที่มา <http://cuir.car.chula.ac.th> (15 ตุลาคม 2562)
- สุกิจ ลิติกรณ์. “การทำแห้งแบบแข็งเยือกแข็ง” [ระบบออนไลน์]. แหล่งที่มา <https://www.harn.co.th> (3 กันยายน 2562)
- สรรติชัย ชีวสุทธิศิลป์. (2546). การพัฒนาคุณภาพเชิงปริมาณสำหรับงานด้านวิศวกรรมโดยใช้หลักการออกแบบการทดลอง, หน้า 2 (15 ตุลาคม 2562)
- สรรติชัย ชีวสุทธิศิลป์. (2557). กลยุทธ์การออกแบบการทดลองสำหรับวิศวกรรม, หน้า 207 (15 ตุลาคม 2562)

ภาคผนวก ก.

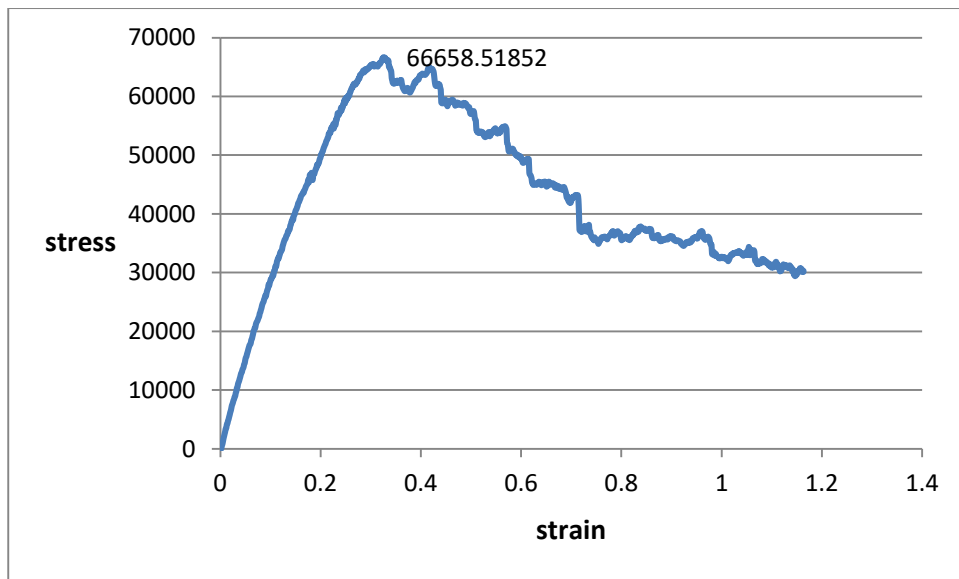
แสดงกราฟที่มีค่าการทดสอบแรงดึง (Maximum Strength) โดยแกน X เป็นความเครียด (Stress) และ แกน Y เป็นความเด็น (Strain) ของแต่ละเงื่อนไข (Condition) ที่ได้จากการทดสอบแรงดึง และนำมาคำนวณอุอกมา แสดงดังกราฟต่อไปนี้



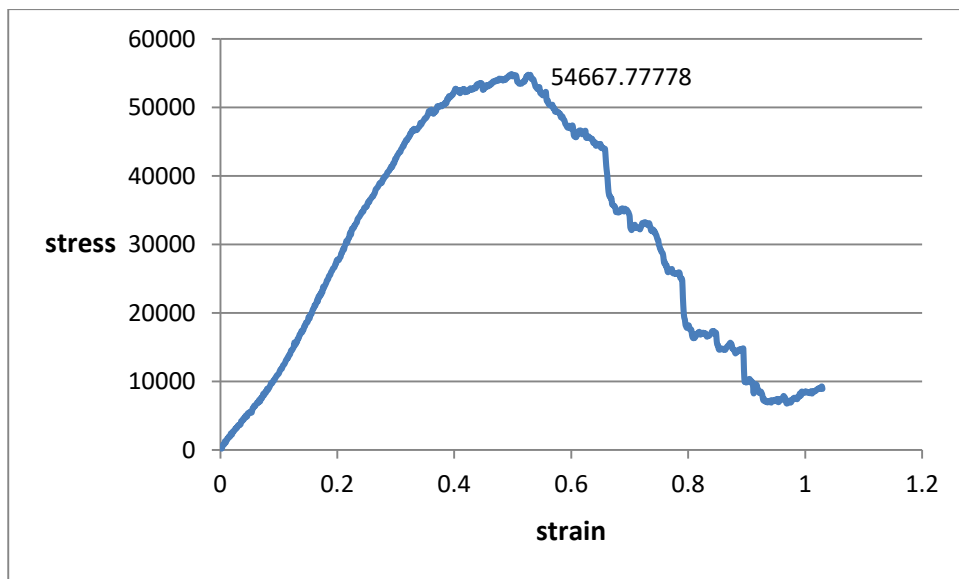
ภาพ ก – 1 กราฟแสดงค่าการทดสอบแรงดึง (Maximum Strength) ของเจื่อนไข^ก
(Condition) 70:0.5:0.5 ช้ำ 1 ขึ้นที่ 1 แบบใหม่



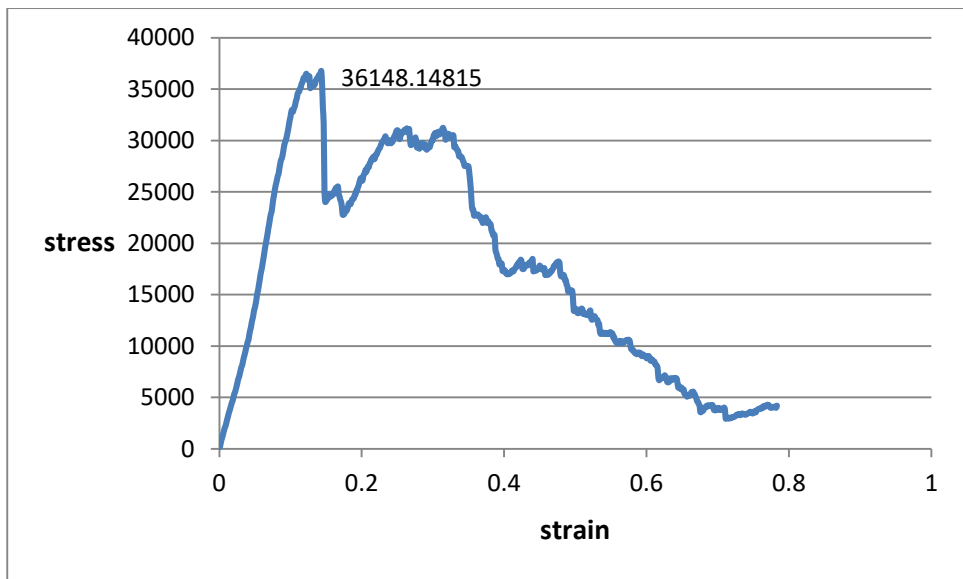
ภาพ ก – 2 กราฟแสดงค่าการทดสอบแรงดึง (Maximum Strength) ของเจื่อนไข^ก
(Condition) 70:0.5:0.5 ช้ำ 1 ขึ้นที่ 2 แบบใหม่



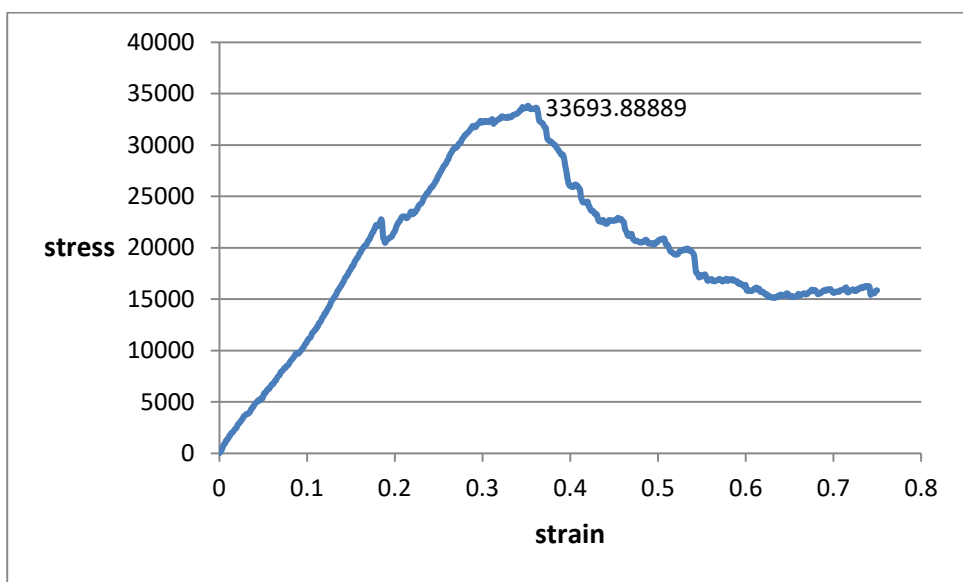
ภาพ ก – 3 กราฟแสดงค่าการทดสอบแรงดึง (Maximum Strength) ของเจื่อนไข^๑
(Condition) 70:0.5:0.5 ช้ำ 2 ชิ้นที่ 1 แบบใหม่



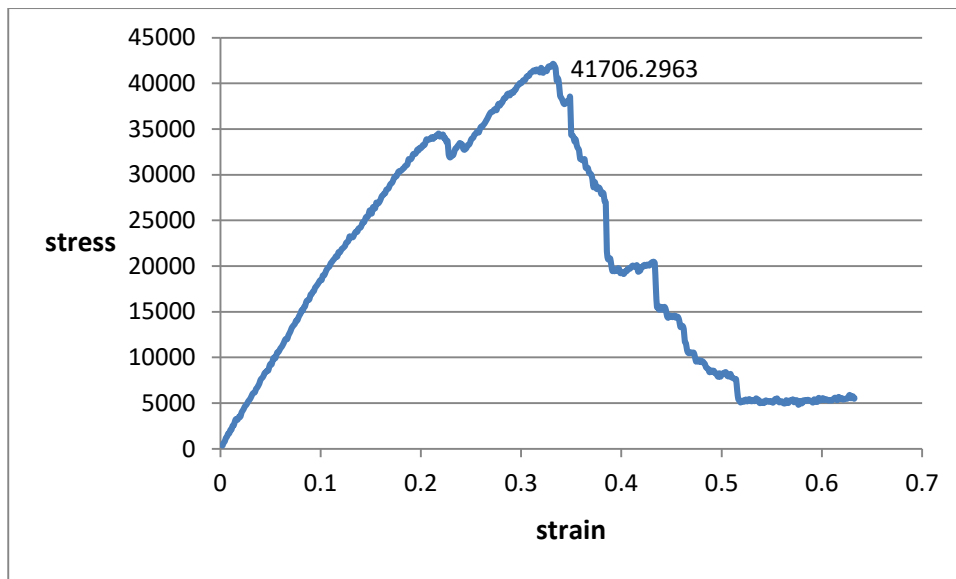
ภาพ ก – 4 กราฟแสดงค่าการทดสอบแรงดึง (Maximum Strength) ของเจื่อนไข^๑
(Condition) 70:0.5:0.5 ช้ำ 2 ชิ้นที่ 2 แบบใหม่



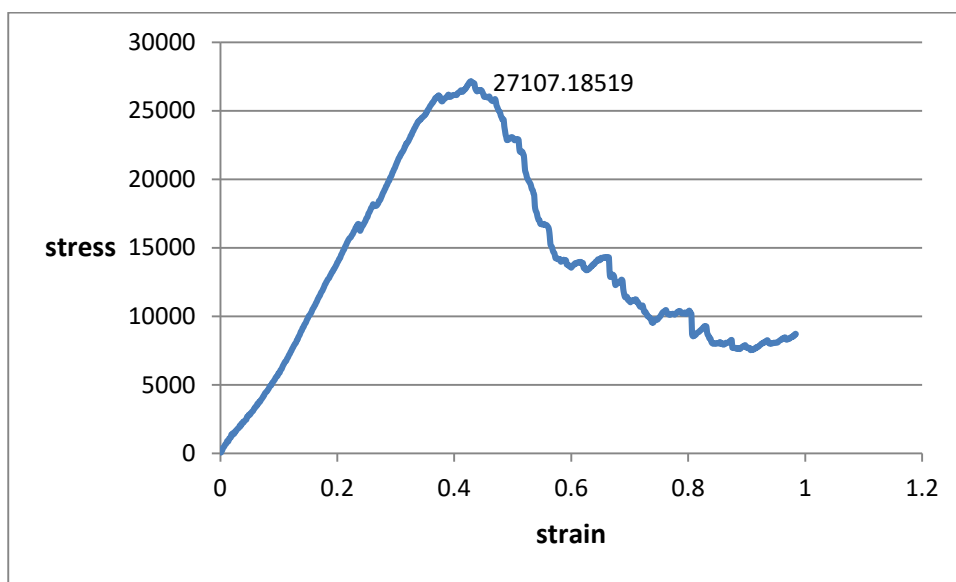
ภาพ ก – 5 กราฟแสดงค่าทดสอบแรงดึง (Maximum Strength) ของเจ้อนไช
(Condition) 70:0.5:1 ช้ำ 1 ชิ้นที่ 1 แบบใหม่



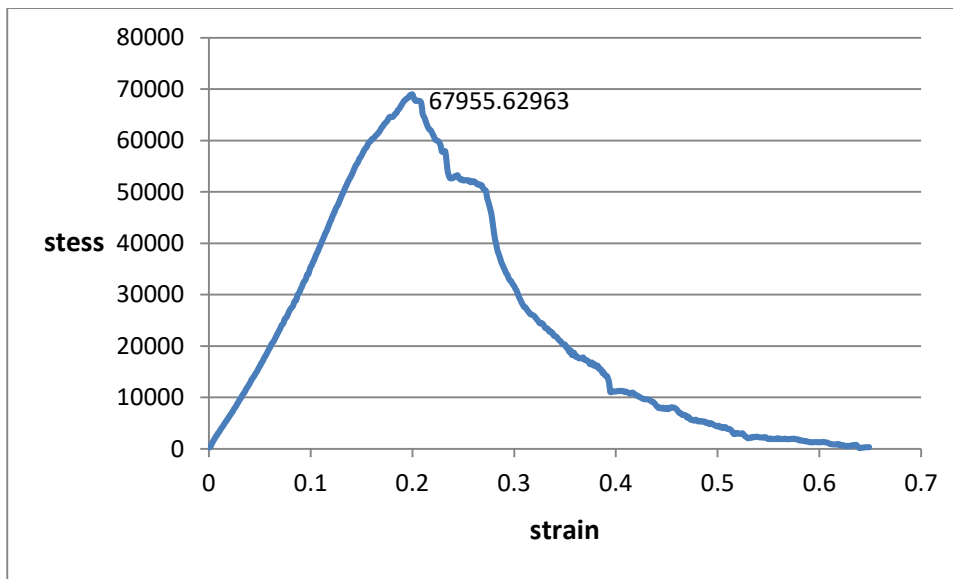
ภาพ ก – 6 กราฟแสดงค่าทดสอบแรงดึง (Maximum Strength) ของเจ้อนไช
(Condition) 70:0.5:1 ช้ำ 1 ชิ้นที่ 2 แบบใหม่



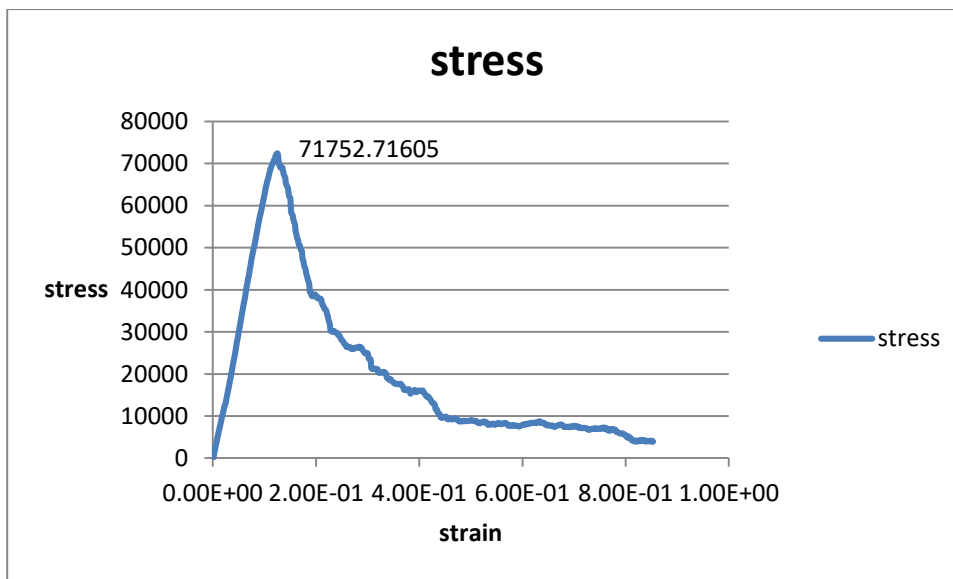
ภาพ ก – 7 กราฟแสดงค่าทดสอบแรงดึง (Maximum Strength) ของเจ้อนไช
(Condition) 70:0.5:1 ช้ำ 2 ชิ้นที่ 1 แบบใหม่



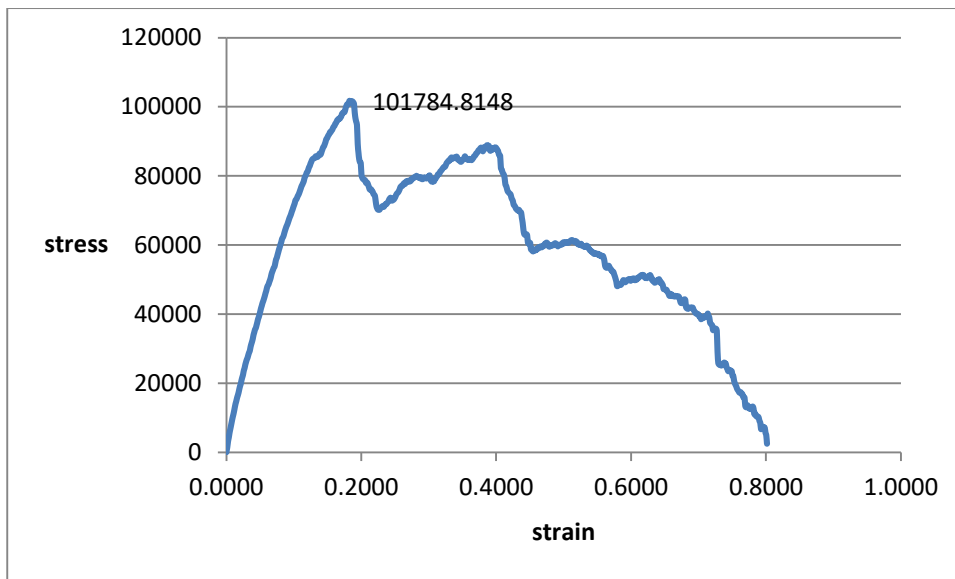
ภาพ ก – 8 กราฟแสดงค่าทดสอบแรงดึง (Maximum Strength) ของเจ้อนไช
(Condition) 70:0.5:1 ช้ำ 2 ชิ้นที่ 2 แบบใหม่



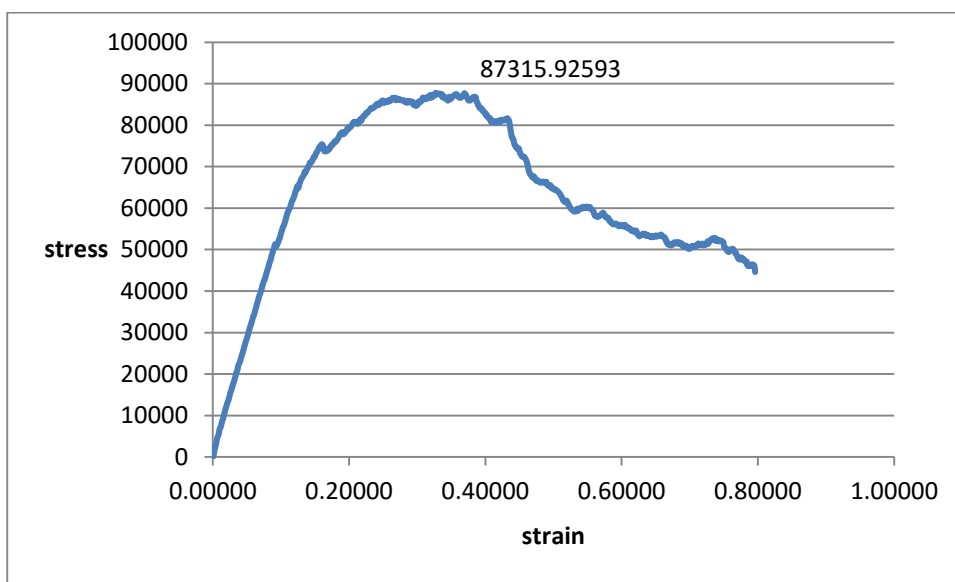
ภาพ ก – 9 กราฟแสดงค่าทดสอบแรงดึง (Maximum Strength) ของเงื่อนไข[่]
(Condition) 70:1:1 ช้ำ 1 ชิ้นที่ 1 แบบใหม่



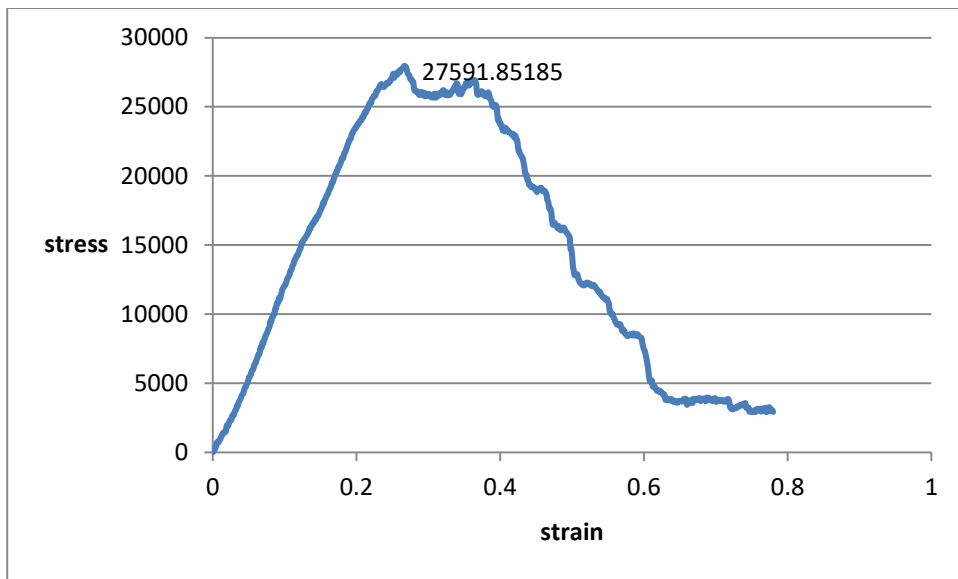
ภาพ ก – 10 กราฟแสดงค่าทดสอบแรงดึง (Maximum Strength) ของเงื่อนไข[่]
(Condition) 70:1:1 ช้ำ 1 ชิ้นที่ 2 แบบใหม่



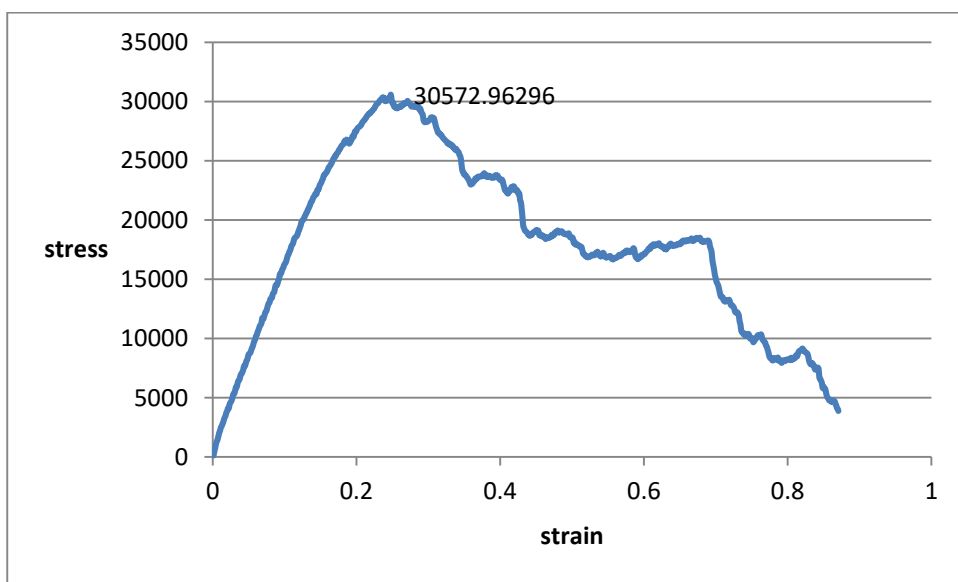
ภาพ ก – 11 กราฟแสดงค่าทดสอบแรงดึง (Maximum Strength) ของเงื่อนไข[†]
(Condition) 70:1:1 ช้ำ 2 ขั้นที่ 1 แบบใหม่



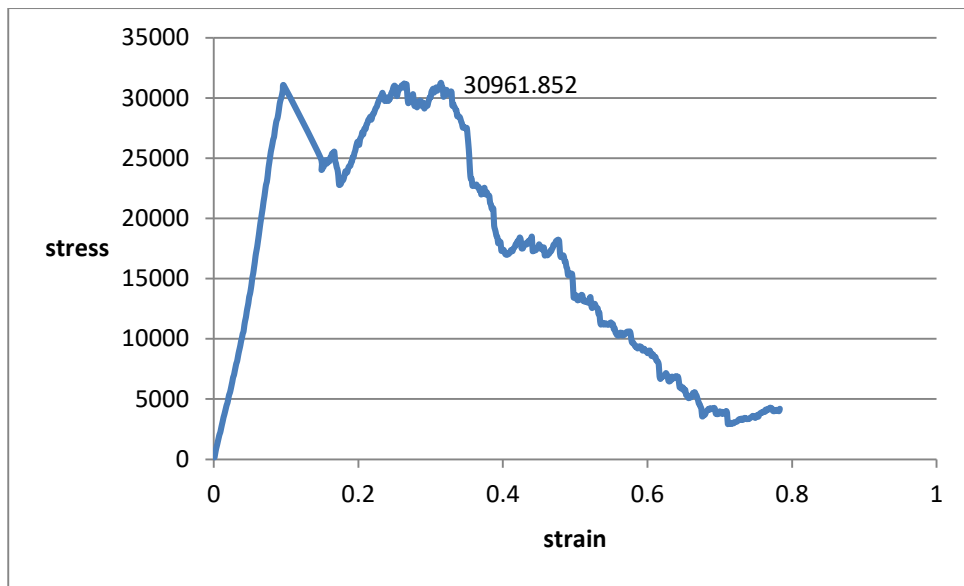
ภาพ ก – 12 กราฟแสดงค่าทดสอบแรงดึง (Maximum Strength) ของเงื่อนไข[†]
(Condition) 70:1:1 ช้ำ 2 ขั้นที่ 2 แบบใหม่



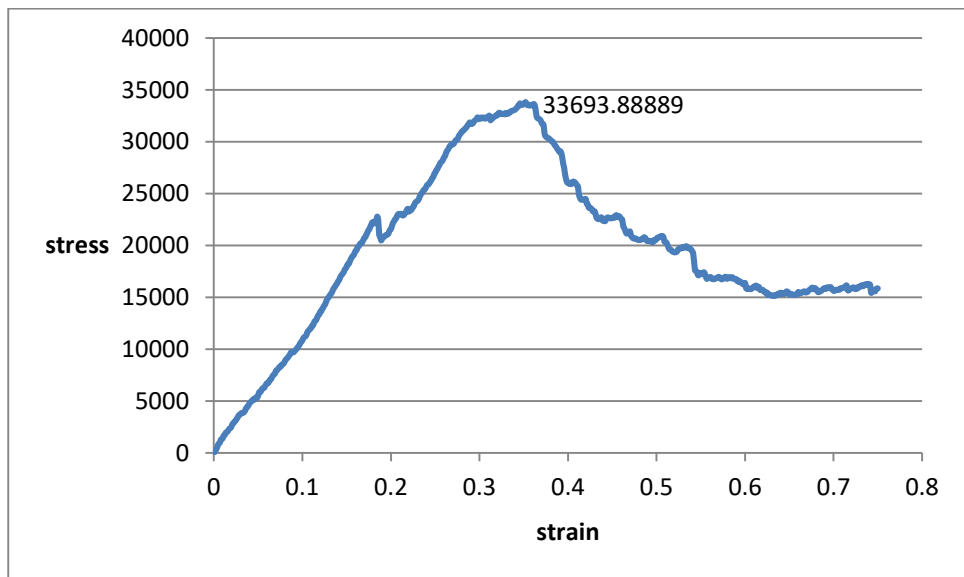
ภาพ ก – 13 กราฟแสดงค่าทดสอบแรงดึง (Maximum Strength) ของเงื่อนไข^๑
(Condition) 70:1:0.5 ช้ำ 1 ขี้นที่ 1 แบบใหม่



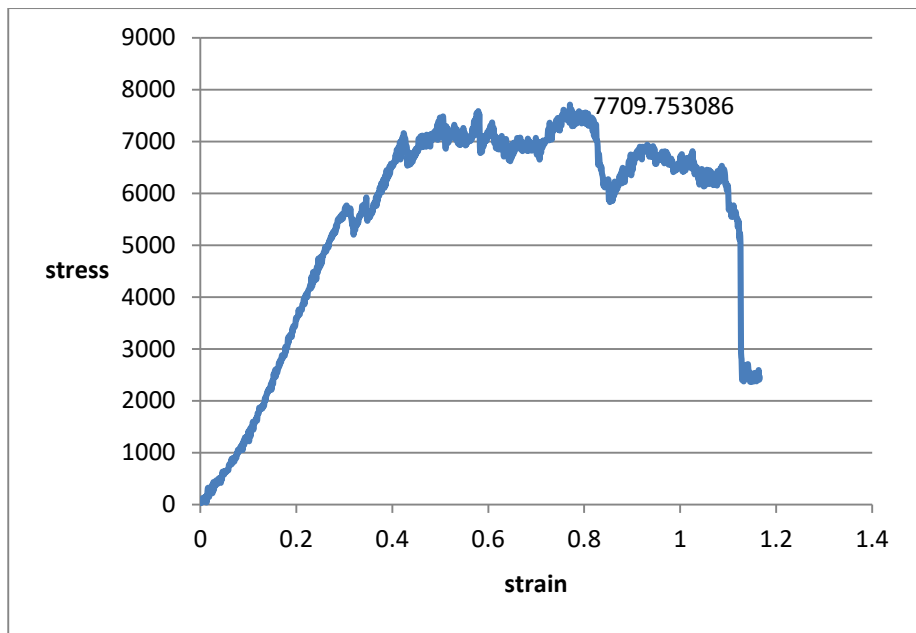
ภาพ ก – 14 กราฟแสดงค่าทดสอบแรงดึง (Maximum Strength) ของเงื่อนไข^๑
(Condition) 70:1:0.5 ช้ำ 1 ขี้นที่ 2 แบบใหม่



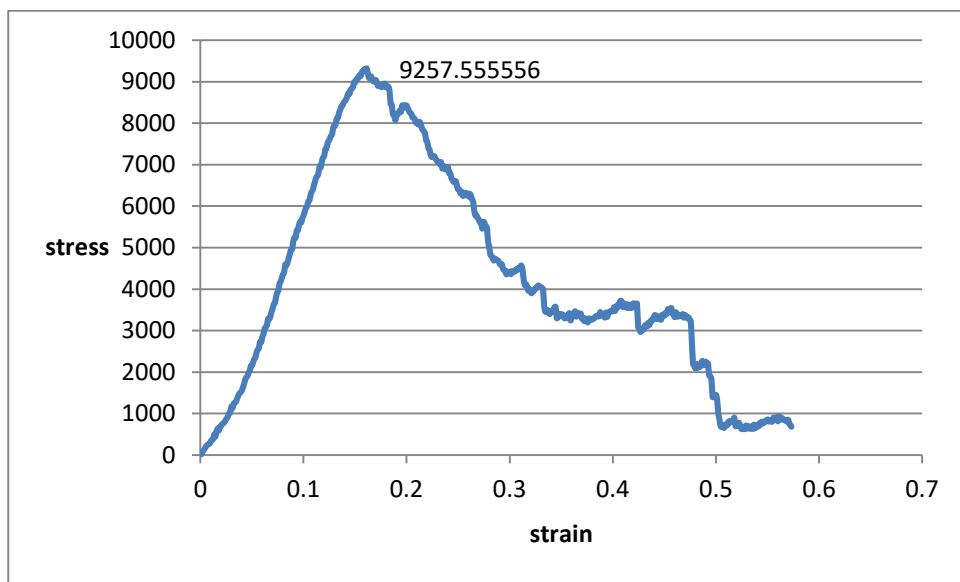
ภาพ ก – 15 กราฟแสดงค่าทดสอบแรงตึง (Maximum Strength) ของเจ้อนไช
(Condition) 70:1:0.5 ช้ำ 2 ชิ้นที่ 1 แบบใหม่



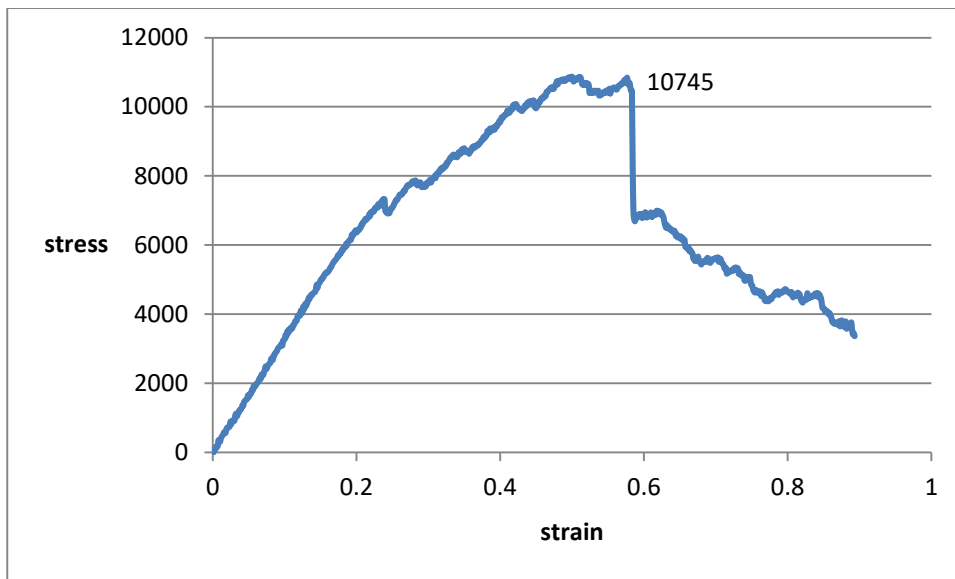
ภาพ ก – 16 กราฟแสดงค่าทดสอบแรงตึง (Maximum Strength) ของเจ้อนไช
(Condition) 70:1:0.5 ช้ำ 2 ชิ้นที่ 2 แบบใหม่



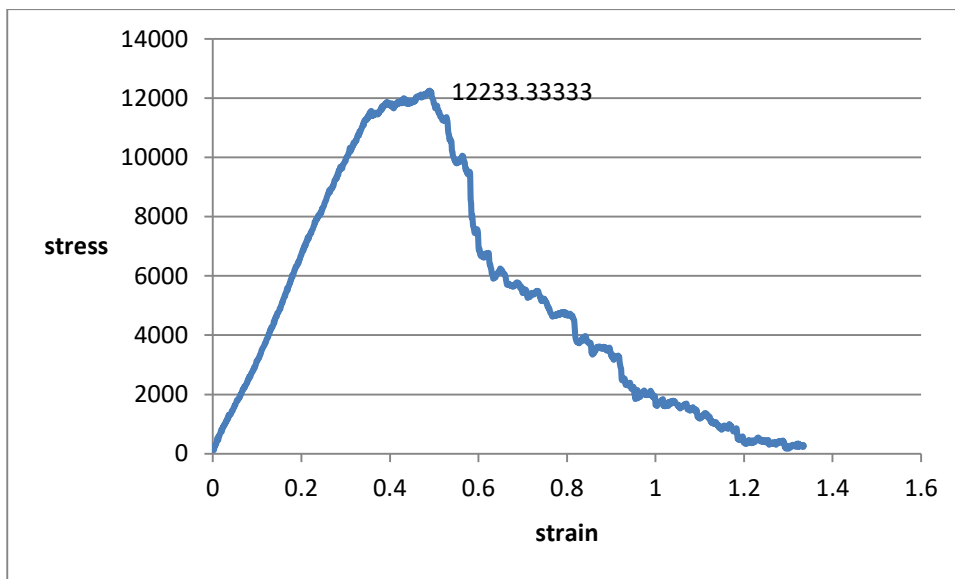
ภาพ ก – 17 กราฟแสดงค่าทดสอบแรงดึง (Maximum Strength) ของเงื่อนไข[†]
(Condition) 80:0.5:0.5 ช้ำ 1 ชิ้นที่ 1 แบบใหม่



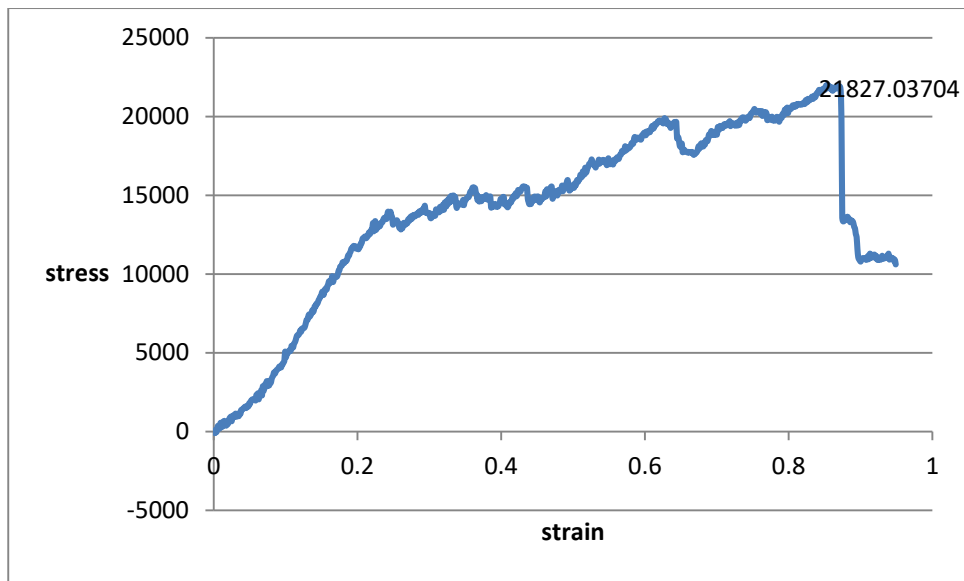
ภาพ ก – 18 กราฟแสดงค่าทดสอบแรงดึง (Maximum Strength) ของเงื่อนไข[†]
(Condition) 80:0.5:0.5 ช้ำ 1 ชิ้นที่ 2 แบบใหม่



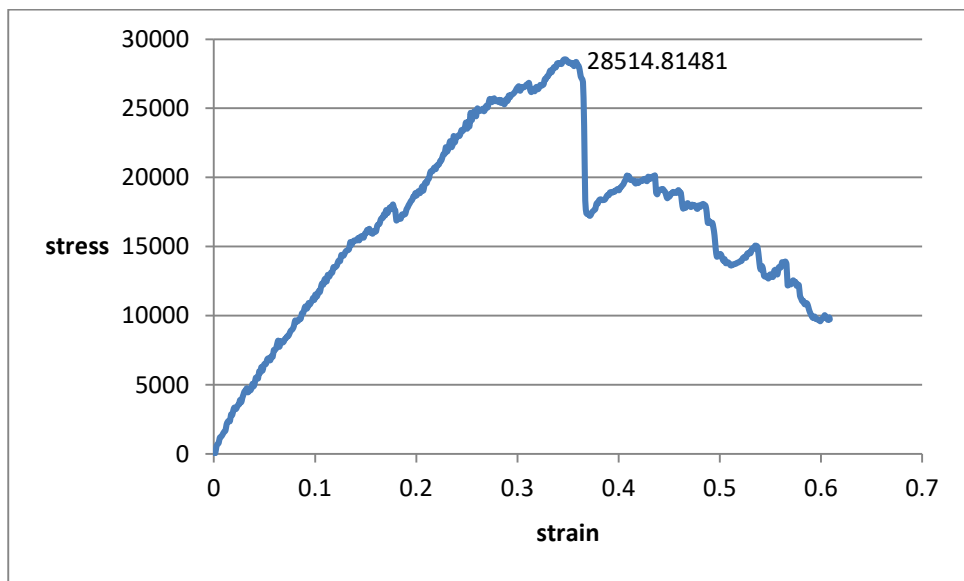
ภาพ ก – 19 กราฟแสดงค่าทดสอบแรงดึง (Maximum Strength) ของเงื่อนไข^{ชี้}
 (Condition) 80:0.5:0.5 ช้ำ 2 ชี้นที่ 1 แบบใหม่



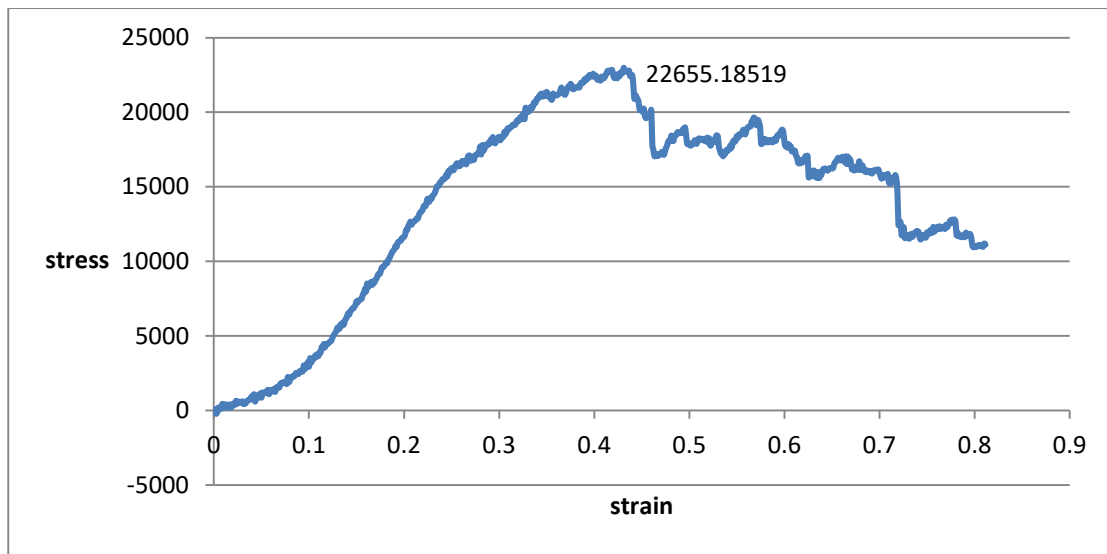
ภาพ ก – 20 กราฟแสดงค่าทดสอบแรงดึง Maximum Strength ของเงื่อนไข^{ชี้}
 (Condition) 80:0.5:0.5 ช้ำ 2 ชี้นที่ 2 แบบใหม่



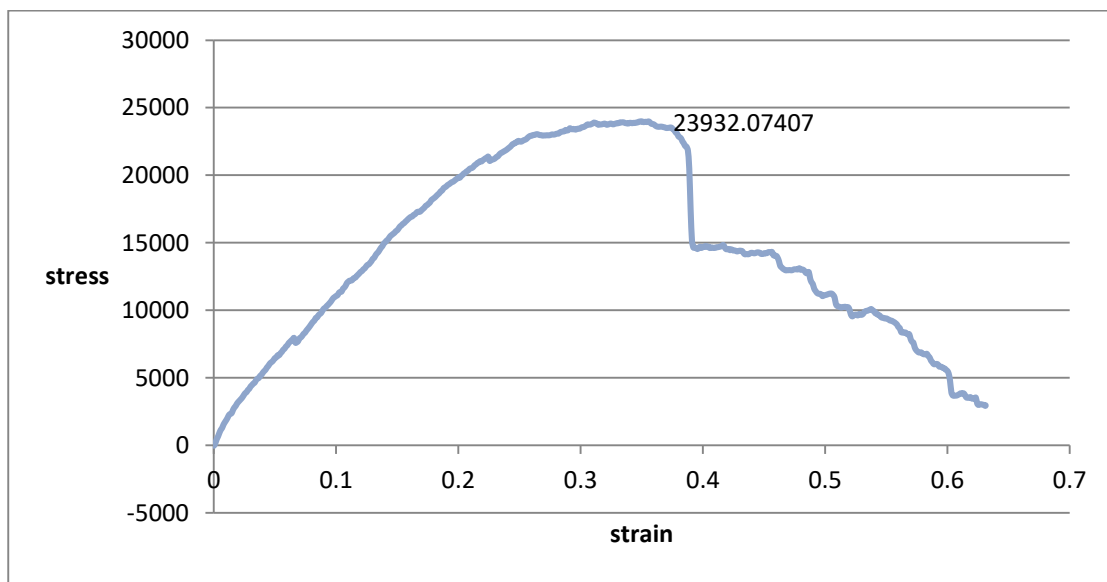
ภาพ ก – 21 กราฟแสดงค่าทดสอบแรงดึง (Maximum Strength) ของเจื่อนไข[่]
 (Condition) 80:0.5:1 ชี้ 1 ชิ้นที่ 1 แบบใหม่



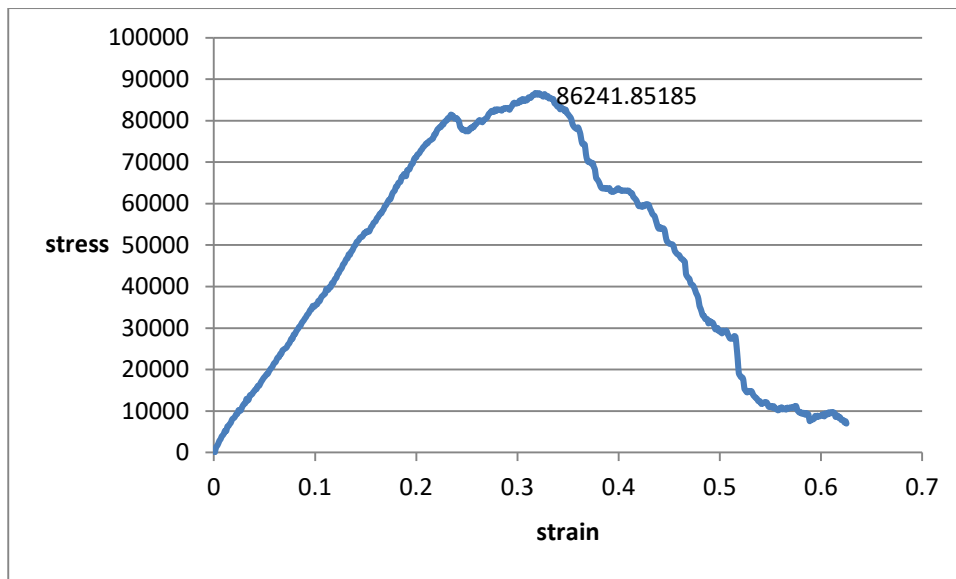
ภาพ ก – 22 กราฟแสดงค่าทดสอบแรงดึง (Maximum Strength) ของเจื่อนไข[่]
 (Condition) 80:0.5:1 ชี้ 1 ชิ้นที่ 2 แบบใหม่



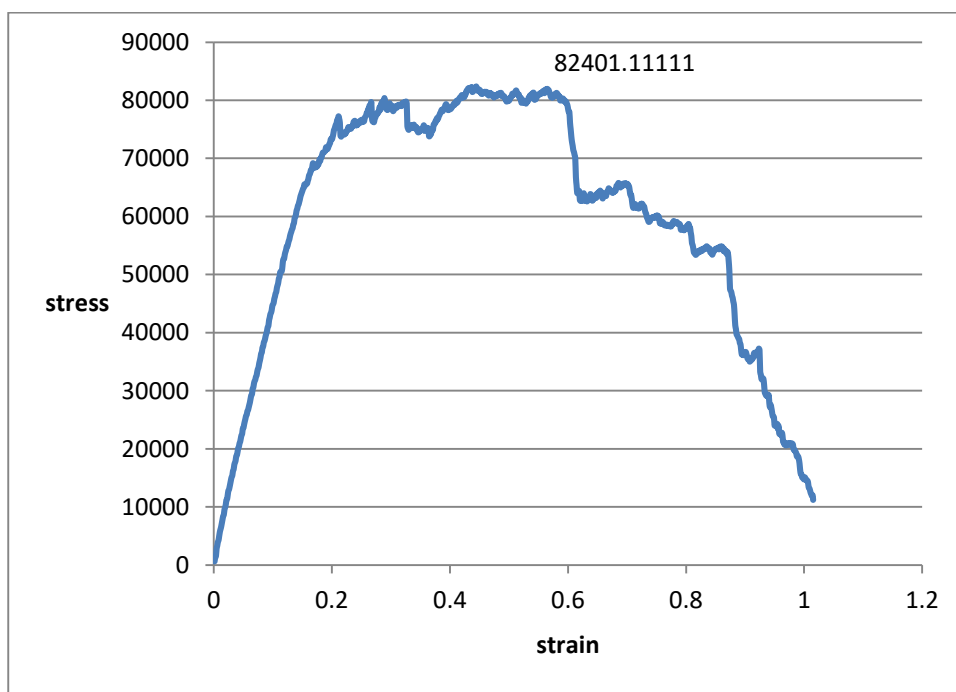
ภาพ ก – 23 กราฟแสดงค่าทดสอบแรงดึง (Maximum Strength) ของเจื่อนไข[่]
(Condition) 80:0.5:1 ช้ำ 2 ชิ้นที่ 1 แบบใหม่



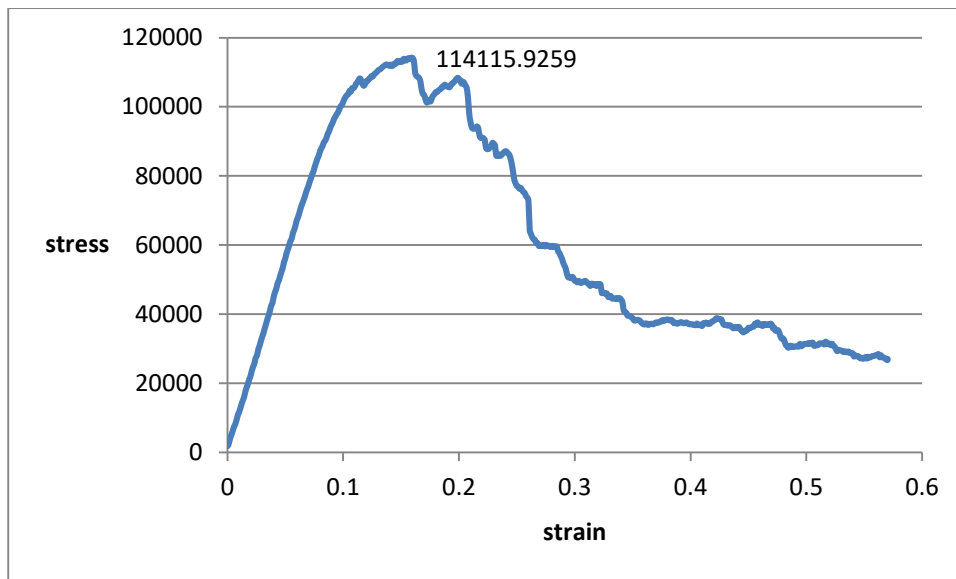
ภาพ ก – 24 กราฟแสดงค่าทดสอบแรงดึง (Maximum Strength) ของเจื่อนไข[่]
(Condition) 80:0.5:1 ช้ำ 2 ชิ้นที่ 2 แบบใหม่



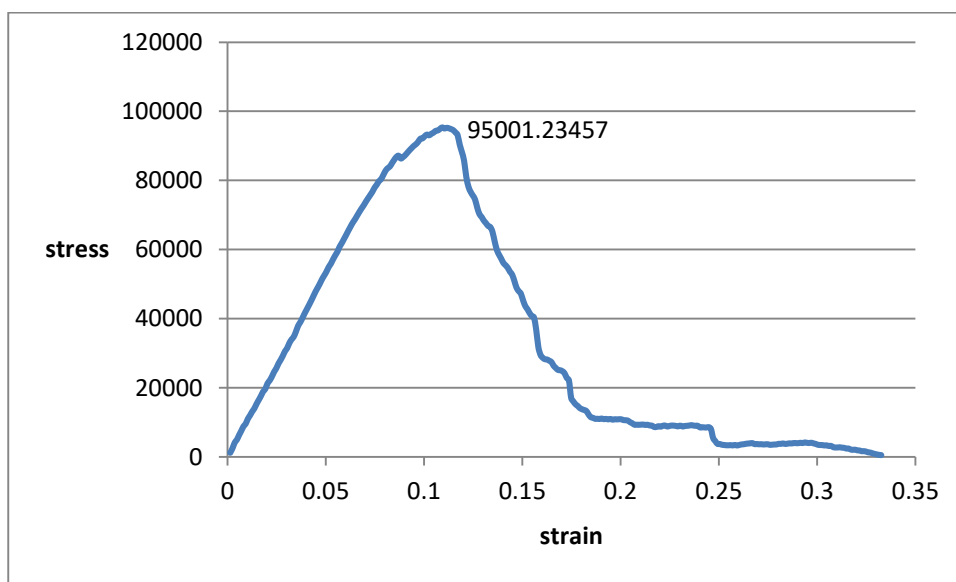
ภาพ ก – 25 กราฟแสดงค่าทดสอบแรงดึง (Maximum Strength) ของเจื่อนไข[่]
(Condition) 80:1:1 ช้ำ 1 ชี้นที่ 1 แบบใหม่



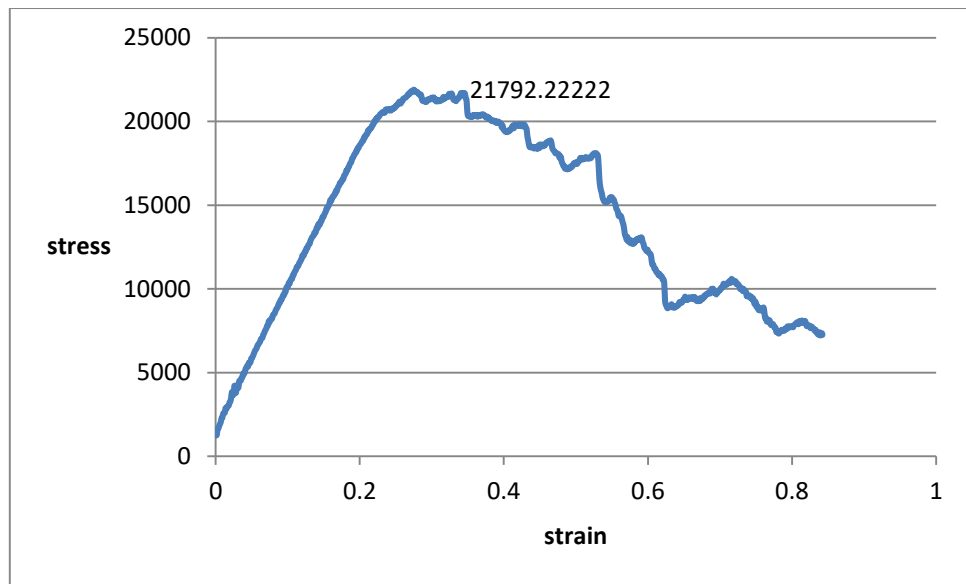
ภาพ ก – 26 กราฟแสดงค่าทดสอบแรงดึง (Maximum Strength) ของเจื่อนไข[่]
(Condition) 80:1:1 ช้ำ 1 ชี้นที่ 2 แบบใหม่



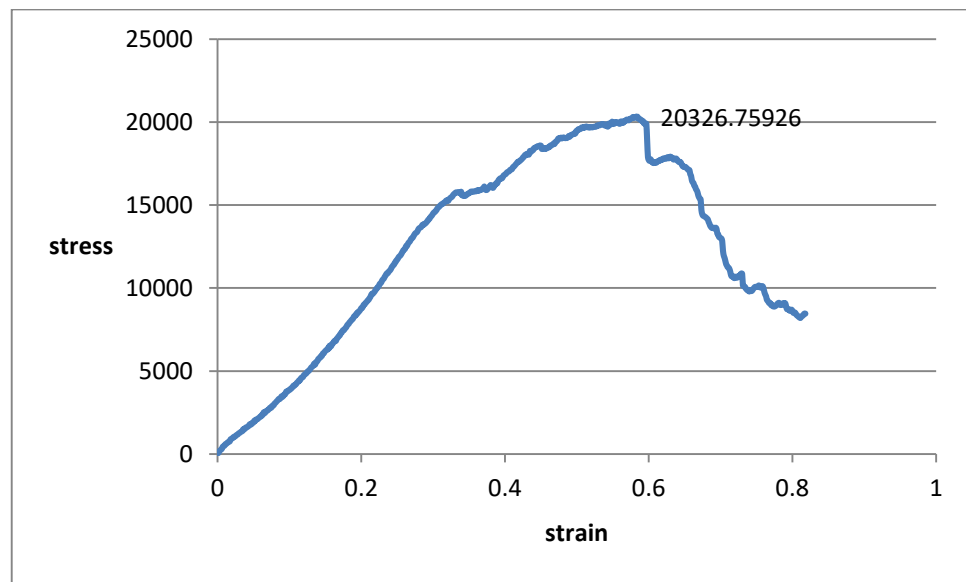
ภาพ ก – 27 กราฟแสดงค่าทดสอบแรงดึง (Maximum Strength) ของเจ้อนไข^๑
(Condition) 80:1:1 ช้ำ 2 ชี้นที่ 1 แบบใหม่



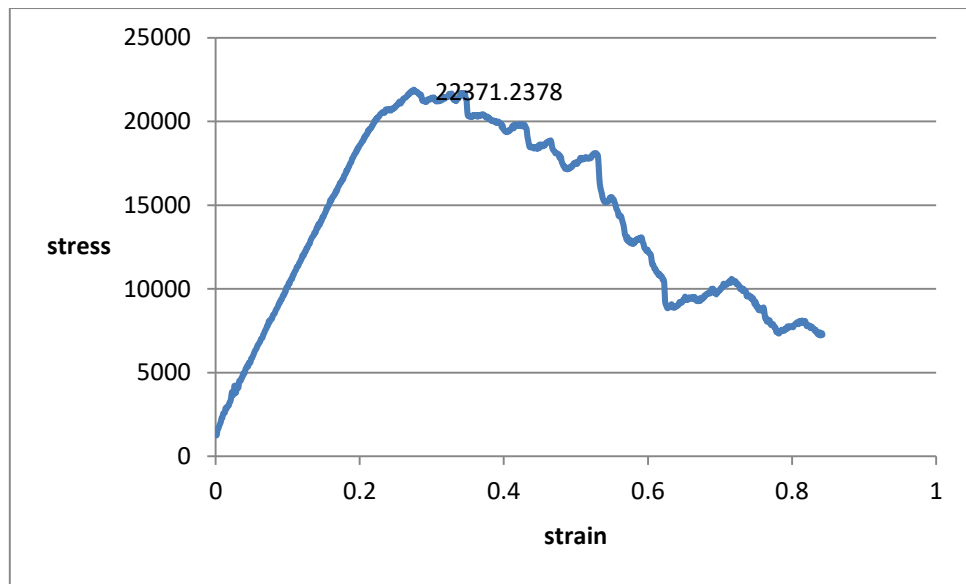
ภาพ ก – 28 กราฟแสดงค่าทดสอบแรงดึง (Maximum Strength) ของเจ้อนไข^๑
(Condition) 80:1:1 ช้ำ 2 ชี้นที่ 2 แบบใหม่



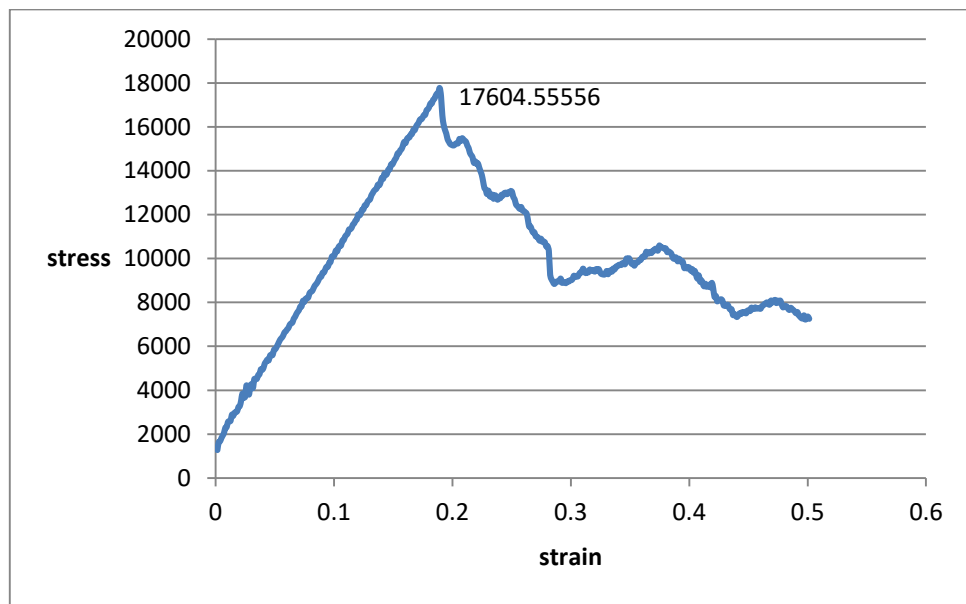
ภาพ ก – 29 กราฟแสดงค่าทดสอบแรงดึง (Maximum Strength) ของเจ้อนไช
(Condition) 80:1:0.5 ช้ำ 1 ชิ้นที่ 1 แบบใหม่



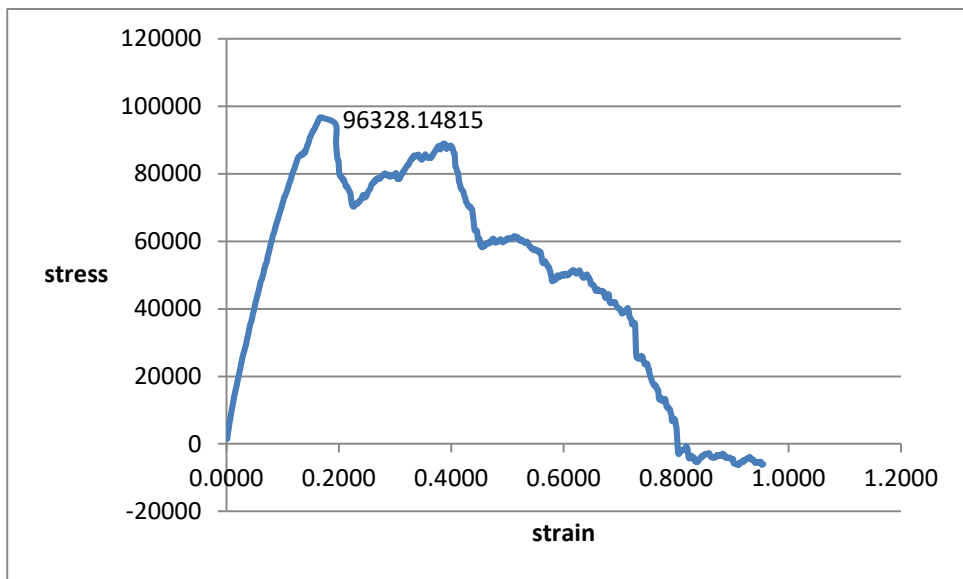
ภาพ ก – 30 กราฟแสดงค่าทดสอบแรงดึง (Maximum Strength) ของเจ้อนไช
(Condition) 80:1:0.5 ช้ำ 1 ชิ้นที่ 2 แบบใหม่



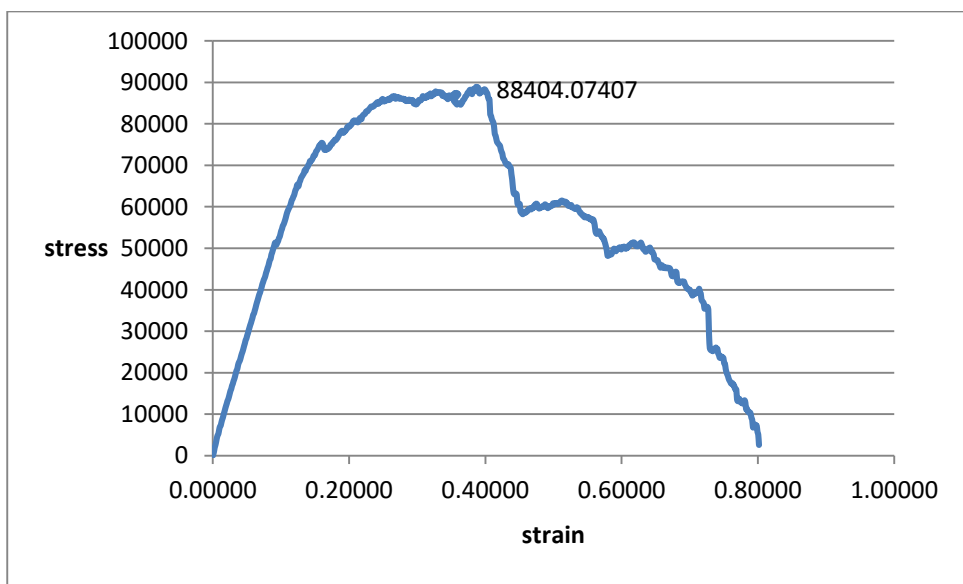
ภาพ ก – 31 กราฟแสดงค่าทดสอบแรงดึง (Maximum Strength) ของเจ้อนไช
(Condition) 80:1:0.5 ช้ำ 2 ชิ้นที่ 1 แบบใหม่



ภาพ ก – 32 กราฟแสดงค่าทดสอบแรงดึง (Maximum Strength) ของเจ้อนไช
(Condition) 80:1:0.5 ช้ำ 2 ชิ้นที่ 2 แบบใหม่



ภาพ ก – 33 กราฟแสดงค่าทดสอบแรงดึง (Maximum Strength) ของเจื่อนไข^๕
(Condition) 70:1:1 ชิ้นที่ 1 แบบเดิม



ภาพ ก – 34 กราฟแสดงค่าทดสอบแรงดึง (Maximum Strength) ของเจื่อนไข^๕
(Condition) 70:1:1 ชิ้นที่ 2 แบบเดิม

ประวัติผู้เขียน

ชื่อ นาย ณัฐชนนท์ ก้อนจันทร์

รหัสนักศึกษา 580612136

วัน เดือน ปี เกิด 9 เมษายน 2540

ที่อยู่ปัจจุบัน 12/4 ถ.เทวัญ อ.เมือง ต.ช้างเผือก จ.เชียงใหม่ 50300

ประวัติการศึกษา :



ระดับมัธยมปลายจาก โรงเรียนมงฟอร์ตวิทยาลัยแผนกมัธยม จังหวัดเชียงใหม่

ปัจจุบัน ศึกษาในระดับอุดมศึกษา ชั้นที่ปี 5 คณะวิศวกรรมศาสตร์ สาขาวิชา

วิศวกรรมอุตสาหการ มหาวิทยาลัยเชียงใหม่

สถานที่ฝึกงาน บริษัท เคอิน (ไทยแลนด์) จำกัด

ชื่อ นาย ภวัต ติยะพัฒนกุล

รหัสนักศึกษา 580612158

วัน เดือน ปี เกิด 8 มกราคม 2540

ที่อยู่ปัจจุบัน 180 หมู่ 5 ถ.พิษณุโลก – เด่นชัย ต.ป่าเช่า อ.เมือง จ.อุตรดิตถ์

53000

ประวัติการศึกษา :



ระดับมัธยมปลายจาก โรงเรียนมงฟอร์ตวิทยาลัยแผนกมัธยม จังหวัดเชียงใหม่

ปัจจุบัน ศึกษาในระดับอุดมศึกษา ชั้นที่ปี 5 คณะวิศวกรรมศาสตร์ สาขาวิชา

วิศวกรรมอุตสาหการ มหาวิทยาลัยเชียงใหม่

สถานที่ฝึกงาน บริษัท เคอิน (ไทยแลนด์) จำกัด

